



UNIVERSITAS
GADJAH MADA

Peningkatan Leger Jalan Dari Model 2D Menjadi Model 3d Untuk Kegiatan Preservasi Jalan
LUTHVIASARI ASTUDIRO, Prof. Ir. Trias Aditya K.M., S.T., M.Sc., Ph.D., IPU.

Universitas Gadjah Mada, 2023 | Diunduh dari <http://etd.repository.ugm.ac.id/>

**PENINGKATAN LEGER JALAN DARI MODEL 2D
MENJADI MODEL 3D UNTUK KEGIATAN PRESERVASI
JALAN**

TESIS



**LUTHVIASARI ASTUDIRO
20/467411/PTK/13472**

**PROGRAM STUDI MAGISTER TEKNIK GEOMATIKA
DEPARTEMEN TEKNIK GEODESI
FAKULTAS TEKNIK
UNIVERSITAS GADJAH MADA
YOGYAKARTA
2023**



Peningkatan Leger Jalan Dari Model 2D Menjadi Model 3d Untuk Kegiatan Preservasi Jalan
LUTHVIASARI ASTUDIRO, Prof. Ir. Trias Aditya K.M., S.T., M.Sc., Ph.D., IPU.

Universitas Gadjah Mada, 2023 | Diunduh dari <http://etd.repository.ugm.ac.id/>

UNIVERSITAS
GADJAH MADA

UPGRADING 2D MODEL ROAD LEDGER TO 3D MODEL FOR ROAD PRESERVATION

THESIS



LUTHVIASARI ASTUDIRO
20/467411/PTK/13472

MASTER STUDY PROGRAM OF GEOMATIC ENGINEERING
DEPARTMENT OF GEODETIC ENGINEERING
FACULTY OF ENGINEERING
UNIVERSITAS GADJAH MADA
YOGYAKARTA
2023



Peningkatan Leger Jalan Dari Model 2D Menjadi Model 3d Untuk Kegiatan Preservasi Jalan
LUTHVIASARI ASTUDIRO, Prof. Ir. Trias Aditya K.M., S.T., M.Sc., Ph.D., IPU.

Universitas Gadjah Mada, 2023 | Diunduh dari <http://etd.repository.ugm.ac.id/>

UNIVERSITAS
GADJAH MADA

PENINGKATAN LEGER JALAN DARI MODEL 2D MENJADI MODEL 3D UNTUK KEGIATAN PRESERVASI JALAN

TESIS

Untuk memenuhi salah satu persyaratan dalam mencapai derajat Magister Teknik
Program Studi Teknik Geomatika



LUTHVIASARI ASTUDIRO
20/467411/PTK/13472

PROGRAM STUDI MAGISTER TEKNIK GEOMATIKA
DEPARTEMEN TEKNIK GEODESI
FAKULTAS TEKNIK
UNIVERSITAS GADJAH MADA
YOGYAKARTA
2023



UNIVERSITAS
GADJAH MADA

Peningkatan Leger Jalan Dari Model 2D Menjadi Model 3d Untuk Kegiatan Preservasi Jalan
LUTHVIASARI ASTUDIRO, Prof. Ir. Trias Aditya K.M., S.T., M.Sc., Ph.D., IPU.

Universitas Gadjah Mada, 2023 | Diunduh dari <http://etd.repository.ugm.ac.id/>

UPGRADING 2D MODEL ROAD LEDGER TO 3D MODEL FOR ROAD PRESERVATION

THESIS

Submitted as a partial fulfillment of the requirements for obtaining the degree of
Magister of Engineering in the Study Program of Geodetic Engineering



LUTHVIASARI ASTUDIRO
20/467411/PTK/13472

MASTER STUDY PROGRAM OF GEOMATIC ENGINEERING
DEPARTMENT OF GEODETIC ENGINEERING
FACULTY OF ENGINEERING
UNIVERSITAS GADJAH MADA
YOGYAKARTA
2023



UNIVERSITAS
GADJAH MADA

Peningkatan Leger Jalan Dari Model 2D Menjadi Model 3d Untuk Kegiatan Preservasi Jalan
LUTHVIASARI ASTUDIRO, Prof. Ir. Trias Aditya K.M., S.T., M.Sc., Ph.D., IPU.
Universitas Gadjah Mada, 2023 | Diunduh dari <http://etd.repository.ugm.ac.id/>

TESIS

PENINGKATAN LEGER JALAN DARI MODEL 2D MENJADI MODEL 3D UNTUK KEGIATAN PRESERVASI JALAN

LUTHVIASARI ASTUDIRO

20/467411/PTK/13472

telah disetujui Pembimbing

Pembimbing

Prof. Ir. Trias Aditya K.M., S.T., M.Sc., Ph.D., IPU.

NIP. 19750422 200212 1 002



UNIVERSITAS
GADJAH MADA

Peningkatan Leger Jalan Dari Model 2D Menjadi Model 3d Untuk Kegiatan Preservasi Jalan

LUTHVIASARI ASTUDIRO, Prof. Ir. Trias Aditya K.M., S.T., M.Sc., Ph.D., IPU.

Universitas Gadjah Mada, 2023 | Diunduh dari <http://etd.repository.ugm.ac.id/>

TESIS

PENINGKATAN LEGER JALAN DARI MODEL 2D MENJADI MODEL 3D UNTUK KEGIATAN PRESERVASI JALAN

LUTHVIASARI ASTUDIRO

20/467411/PTK/13472

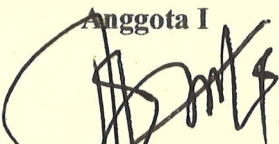
telah dipertahankan di depan Tim Penguji
pada tanggal 18 Juli 2023

Susunan Tim Penguji:

Ketua


Dr. Eng. Ir. Pujiyana Budi Santosa,
S.T., M.App.Sc., IPM
NIP. 197209251998031001

Anggota I


Dr. Bambang Kun Cahyono, S.T., M.Sc.
NIP. 198103222005011005

Anggota II


Prof. Ir. Trias Aditya Kurniawan M, S.T.,
M.Sc., Ph.D., IPU.
NIP. 197504222002121002

Tesis ini telah diterima sebagai salah satu persyaratan
untuk memperoleh derajat Magister
Tanggal 18 Juli 2023

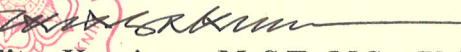
Ketua Program Studi Magister Teknik Geomatika


I Made Andi Arsana, S.T., M.E., Ph.D
NIP. 197805122002121001

Mengetahui,

Ketua Departemen Teknik Geodesi




Prof. Ir. Trias Aditya Kurniawan M, S.T., M.Sc., Ph.D., IPU.
NIP. 197504222002121002



PERNYATAAN BEBAS PLAGIASI

Saya yang bertanda tangan di bawah ini:

Nama : Luthviasari Astudiro
NIM : 20/467411/PTK/13472
Tahun terdaftar : 2020
Program Studi : Magister Teknik Geomatika
Fakultas : Teknik

Menyatakan bahwa dalam dokumen ilmiah Tesis ini tidak terdapat bagian dari karya ilmiah lain yang telah diajukan untuk memperoleh gelar akademik di suatu lembaga Pendidikan Tinggi, dan juga tidak terdapat karya atau pendapat yang pernah ditulis atau diterbitkan oleh orang/lembaga lain, kecuali yang secara tertulis disitasi dalam dokumen ini dan disebutkan sumbernya secara lengkap dalam daftar pustaka.

Dengan demikian saya menyatakan bahwa dokumen ilmiah ini bebas dari unsur plagiasi dan apabila dokumen ilmiah Tesis ini di kemudian hari terbukti merupakan plagiasi dari hasil karya penulis lain dan/atau dengan sengaja mengajukan karya atau pendapat yang merupakan hasil karya penulis lain, maka penulis bersedia menerima sanksi akademik dan/atau sanksi hukum yang berlaku.

Yogyakarta, Juli 2023



Luthviasari Astudiro
20/467411/PTK/13472



HALAMAN PERSEMPAHAN

Tesis ini aku persembahkan untuk kedua orang tuaku, keluarga kecilku, keluarga besarku, adik-adikku, dan generasi setelahku.

Karena sejatinya *urip iku urup.*



KATA PENGANTAR

Puji syukur penulis panjatkan kepada Allah Subhanahu Wa Ta'ala atas segala karunia_nya sehingga penulis dapat menyelesaikan karya ilmiah dengan judul "Peningkatan Leger Jalan Dari Model 2D Menjadi Model 3D Untuk Kegiatan Preservasi Jalan". Tujuan dari penyusunan tesis ini adalah untuk memenuhi salah satu persyaratan memperoleh gelar Magister pada program studi Magister Teknik Geomatika, Departemen Teknik Geodesi, Fakultas Teknik, Universitas Gadjah Mada Yogyakarta. Selama persiapan, penyusunan hingga penyelesaian tesis ini penulis mendapatkan banyak dorongan, bimbingan, saran dan masukan dari berbagai pihak. Semoga Allah Subhanahu Wa Ta'ala membalas dan melimpahkan segala kebaikan yang telah diberikan kepada penulis. Pada kesempatan ini penulis ingin mengucapkan terima kasih kepada :

1. Pak Suami, Mamah, Bapak, serta seluruh keluarga besar baik di Jogja, Cilacap juga Lampung atas segala doa, kasih sayang, perhatian dan dukungan yang telah diberikan;
2. Bapak Prof. Ir. Trias Aditya K.M., S.T., M.Sc., Ph.D., IPU. sebagai pembimbing tesis ini sekaligus Kepala Departemen Teknik Geodesi UGM untuk ilmu yang diberikan serta kesabarannya dalam menghadapi segala persoalan penulis untuk menyelesaikan tesis ini;
3. Tim Penguji Bapak Dr. Eng. Ir. Purnama Budi Santosa, S.T., M.App.Sc., IPM dan Bapak Dr. Bambang Kun Cahyono, S.T., M.Sc., yang telah menyediakan waktu untuk memberikan kritik dan saran terhadap penelitian ini;
4. Bapak I Made Andi Arsana, S.T., M.E., Ph.D selaku ketua program studi Magister Teknik Geomatika dan Ibu Ir. Nurrohmat Widjajanti, M.T., Ph.D., IPU., ASEAN.Eng sebagai ketua program studi Magister Teknik Geomatika periode sebelumnya untuk arahannya sehingga penulis dapat menyelesaikan penulisan tesis ini. Tidak lupa penulis juga menyampaikan terima kasih kepada Bapak Afiat Edy Darmawan atas bantuannya dalam memenuhi administrasi perkuliahan;



5. Bapak ibu dosen Magister Teknik Geomatika yang telah berbagi ilmu, sehingga penulis mendapatkan tambahan ilmu dan pengalaman baru selama proses perkuliahan;
6. Lembaga Pengelola Dana Pendidikan (LPDP) yang telah memeberikan penulis kesempatan untuk melanjutkan pendidikan pada tingkat magister;
7. Sekretaris BPSDM Kementerian PUPR, Sekretaris Dirjen Bina Marga serta Direktur Bina Teknik atas izin belajar yang telah diberikan sehingga penulis mendapat kesempatan untuk mengembangkan ilmu yang penulis miliki;
8. Teman-teman leger jalan dan Hirfi Studio atas dukungan, tukar pikiran dan kebersamaan yang selama ini terjalin;
9. Semua pihak yang telah membantu yang tidak dapat penulis sebutkan satu persatu. Penulis menyadari penulisan tesis ini masih jauh dari sempurna mengingat keterbatasan kemampuan, pengalaman dan pengetahuan penulis. Oleh karenanya penulis meminta maaf atas segala kekurangan pada penelitian ini. Penulis mengharapkan kritik dan saran yang membangun bagi penyempurnaan tesis ini. Akhir kata penulis berharap tesis ini dapat berguna bagi pembaca.

Yogyakarta, Juli 2023

Penulis



DAFTAR ISI

| | |
|---|-------|
| PERNYATAAN BEBAS PLAGIASI | vii |
| HALAMAN PERSEMBAHAN | viii |
| KATA PENGANTAR | ix |
| DAFTAR ISI..... | xi |
| DAFTAR GAMBAR | xiii |
| DAFTAR TABEL..... | xv |
| DAFTAR LAMPIRAN..... | xvi |
| INTISARI | xvii |
| ABSTRACT..... | xviii |
| BAB I PENDAHULUAN..... | 1 |
| I.1. Latar Belakang | 1 |
| I.2. Rumusan Masalah | 3 |
| I.3. Tujuan Penelitian..... | 3 |
| I.4. Pertanyaan Penelitian | 3 |
| I.5. Manfaat Penelitian..... | 4 |
| I.6. Ruang Lingkup Penelitian..... | 4 |
| I.7. Tinjauan Pustaka | 4 |
| BAB II LANDASAN TEORI | 7 |
| II.1. Leger Jalan | 7 |
| II.2. Pemodelan dan Visualisasi 3D | 9 |
| II.2.1. CityGML | 10 |
| II.2.2. IFC (Industry Foundation Classes)..... | 13 |
| II.3. <i>Building Information Modelling (BIM)</i> | 15 |
| II.4. GeoBIM..... | 18 |
| II.5. Uji Kualitas Pemodelan..... | 20 |
| II.1.1 <i>Root Mean Square Error (RMSE)</i> | 20 |
| II.1.2 Simpangan Baku..... | 21 |
| II.1.3 Pengujian Hipotesis | 21 |
| BAB III PELAKSANAAN PENELITIAN | 23 |
| III.1. Persiapan | 23 |
| III.1.1. Lokasi Kegiatan | 23 |
| III.1.2. Peralatan | 24 |
| III.1.3. Bahan | 24 |
| III.2. Pelaksanaan | 25 |
| III.1.1 Identifikasi data leger jalan..... | 27 |



| | |
|---|----|
| III.1.2 Pembuatan Model 3D Dari Data Pengukuran Leger | 29 |
| III.1.3 Uji Kualitas Model 3D | 37 |
| III.1.4 Konversi dan analisis model IFC ke CityGML | 38 |
| BAB IV HASIL DAN PEMBAHASAN | 40 |
| IV.1 Hasil Identifikasi Data Leger Jalan | 40 |
| IV.2 Hasil Pemodelan 3D..... | 44 |
| IV.2.1 Hasil Pemodelan 3D Tiang Pancang | 46 |
| IV.2.2 Hasil Pemodelan 3D <i>Girder</i> dan Lapisan Aspal | 48 |
| IV.2.3 Hasil Pemodelan 3D Pengaman Jalan dan Perlengkapan Jalan | 50 |
| IV.2.4 <i>Georeferensing</i> Hasil Pemodelan 3D Leger Jalan..... | 52 |
| IV.3 Hasil Uji Kualitas Model 3D..... | 53 |
| IV.4 Hasil Konversi Model 3D dari IFC ke CityGML | 57 |
| BAB V KESIMPULAN DAN SARAN | 62 |
| V.1 Kesimpulan..... | 62 |
| V.2 Saran..... | 63 |
| DAFTAR PUSTAKA | 64 |
| LAMPIRAN..... | 68 |
| LAMPIRAN A..... | 69 |
| LAMPIRAN B | 77 |
| LAMPIRAN C | 82 |
| LAMPIRAN E | 93 |



DAFTAR GAMBAR

| | |
|--|----|
| Gambar II.1. Prosedur pembuatan leger jalan | 8 |
| Gambar II.2. Representasi objek spasial | 10 |
| Gambar II.3 LOD pada CityGML | 11 |
| Gambar II.4. UML model bangunan pada CityGML | 11 |
| Gambar II.5. Model bangunan pada CityGML..... | 12 |
| Gambar II.6. UML model bangunan pada IFC | 14 |
| Gambar II.7. Model bangunan pada IFC | 14 |
| Gambar II.8 Siklus BIM | 16 |
| Gambar II.9 Dimensi BIM..... | 17 |
| Gambar II.10 Tumpang tindih perkembangan GIS dan BIM | 18 |
| Gambar III.1 Lokasi tol layang AP Pettarani..... | 23 |
| Gambar III.2 Diagram alir | 26 |
| Gambar III.3 Tampilan situasi dan titik pengukuran pada AutoCAD | 27 |
| Gambar III.4 Data non spasial pada dokumen leger | 28 |
| Gambar III.5 Penampang memanjang pada konstruksi jalan tol layang AP Pettarani | 30 |
| Gambar III.6. Penampang melintang pada konstruksi jalan tol layang AP Pettarani | 30 |
| Gambar III.7 Pengaturan <i>import file CAD</i> | 30 |
| Gambar III.8 Contoh lapisan aspal | 35 |
| Gambar III.9 Jenis-jenis pengaman jalan..... | 35 |
| Gambar III.10. Pengisian nilai elevasi rambu..... | 36 |
| Gambar IV.1 Perbandingan hasil pemodelan 3D dari dokumen leger jalan dan TLS..... | 45 |
| Gambar IV.2 Hasil pemodelan tiang pancang | 47 |
| Gambar IV.3 Hasil pemodelan 3D <i>girder</i> | 48 |
| Gambar IV.4 Bentuk model 3D perlengkapan jalan lainnya..... | 51 |
| Gambar IV.5 Perbedaan koordinat model 3D sebelum dan setelah <i>georeferencing</i> | 52 |
| Gambar IV.6 Elevasi model 3D patok LJ1 | 53 |
| Gambar IV.7 Selisih volume tiang pancang model | 54 |
| Gambar IV.8 Selisih nilai koordinat model 3D hasil leger dan data pengukuran leger | 55 |
| Gambar IV.9 Perbedaan elevasi dasar pemodelan 3D dan model 3D TLS | 56 |
| Gambar IV.10 <i>Mapping</i> konversi model 3D Revit, IFC dan CityGML..... | 57 |
| Gambar IV.11 Pengaturan <i>export</i> IFC ke CityGML pada FZKViewer..... | 58 |
| Gambar IV.12 Tampilan <i>properties</i> pada CityGML | 60 |



Peningkatan Leger Jalan Dari Model 2D Menjadi Model 3d Untuk Kegiatan Preservasi Jalan

LUTHVIASARI ASTUDIRO, Prof. Ir. Trias Aditya K.M., S.T., M.Sc., Ph.D., IPU.

Universitas Gadjah Mada, 2023 | Diunduh dari <http://etd.repository.ugm.ac.id/>

UNIVERSITAS
GADJAH MADA

Gambar IV.13 Perbandingan volume model 3D pada Revit, IFC dan CityGML.....61



DAFTAR TABEL

| | |
|---|----|
| Tabel II.1 Kebutuhan Akurasi Bangunan pada CityGML | 13 |
| Tabel II.2 Jenis dan Deskripsi <i>Level of Development</i> (Guillen dkk., 2016) | 15 |
| Tabel II.3. Perbedaan GIS 3D dan BIM (Julin dkk., 2018) | 18 |
| Tabel II.4. Tabel Perbandingan Metode Integrasi BIM dan GIS (Liu dkk., 2017) | 20 |
| Tabel III.1 Contoh tabel parameter pada Revit..... | 29 |
| Tabel III.2 Bagian-bagian <i>pier</i> dan pengukuran dimensinya..... | 32 |
| Tabel III.3 Bagian-bagian <i>pile slab</i> dan pengukuran dimensinya | 33 |
| Tabel III.4 Dimensi <i>Girder</i> | 34 |
| Tabel IV.1 Koordinat pengukuran leger | 41 |
| Tabel IV.2 Klasifikasi model 3D hasil pengukuran TLS | 42 |
| Tabel IV.3 Klasifikasi model 3D dari data leger jalan | 44 |
| Tabel IV.4. Jumlah Hasil Pemodelan 3D Tiang Pancang..... | 47 |
| Tabel IV.5 Jumlah Hasil Pemodelan 3D <i>Girder</i> | 49 |
| Tabel IV.6 Jumlah dan volume hasil pemodelan lapisan aspal | 49 |
| Tabel IV.7 Parameter hasil pemodelan 3D pengaman jalan..... | 50 |
| Tabel IV.8 Jumlah model 3D perlengkapan jalan yang terbentuk..... | 51 |
| Tabel IV.9 Perbedaan titik referensi TLS dan Leger Jalan..... | 57 |
| Tabel IV.10 Perbandingan hasil konversi elemen jalan IFC dan CityGML..... | 59 |



DAFTAR LAMPIRAN

| | |
|---|----|
| Lampiran 1 Dimensi Pilar Model 3D Jalan Utama Tol Layang AP Pettarani..... | 70 |
| Lampiran 2. Dimensi Pilar Model 3D <i>Ramp On</i> Boulevard..... | 73 |
| Lampiran 3. Dimensi Pilar Model 3D <i>Ramp Off</i> Boulevard | 74 |
| Lampiran 4. Dimensi Pilar Model 3D <i>Ramp On</i> Allaudin | 75 |
| Lampiran 5. Dimensi Pilar Model 3D <i>Ramp Off</i> Allaudin | 76 |
| Lampiran 6. Volume Pilar Model 3D Pengukuran TLS | 78 |
| Lampiran 7. Model 3D Jalan Tol Ujung Pandang Seksi 3 (Tol Layang AP Pettarani)..... | 83 |
| Lampiran 8. Tabel Parameter Model 3D Tiang Pancang | 80 |
| Lampiran 9. Tabel Parameter Model 3D <i>Girder</i> | 85 |
| Lampiran 10. Tabel Parameter Model 3D Lapisan Aspal | 89 |
| Lampiran 11 Perbandingan Volume dan Perhitungan RMSE | 94 |
| Lampiran 12 Perbandingan Volume Aspal | 96 |
| Lampiran 13 Perbandingan Koordinat Hasil Modeling 3D dan Data Leger Jalan | 98 |



INTISARI

Pembangunan infrastruktur nasional khususnya jalan merupakan salah satu prioritas Pemerintah Indonesia dalam beberapa tahun terakhir. Program pembangunan jalan akan diikuti dengan kegiatan selanjutnya untuk mempertahankan kondisi optimal jalan yang disebut preservasi jalan. Salah satu kegiatan dalam preservasi jalan adalah inventori aset jalan. Beberapa data inventori aset jalan yang dibutuhkan dalam kegiatan inventarisasi aset jalan terdapat pada dokumen leger jalan. Dokumen leger jalan merupakan dokumen yang memuat riwayat perkembangan suatu ruas jalan. Pada dokumen leger jalan terdapat data identitas jalan, lokasi jalan, jenis dan material jalan serta kondisi jalan. *Upgrading* dokumen leger jalan dari 2D menjadi 3D memiliki potensi yang besar dalam menunjang kegiatan preservasi jalan khususnya inventori aset jalan. Penerapan teknologi seperti BIM dan GeoBIM juga dapat diterapkan dalam kegiatan preservasi apabila data-data penunjang *di-upgrade* sesuai dengan format BIM ataupun GeoBIM. Penelitian ini bertujuan untuk melakukan *upgrading* dokumen leger jalan dari 2D ke 3D dan analisis format data 3D-nya untuk menunjang kegiatan preservasi jalan khususnya inventarisasi aset jalan.

Penelitian ini secara garis besar terbagi dalam tiga tahapan yaitu persiapan, pembuatan model 3D dan analisis hasil model 3D yang terbentuk. Persiapan merupakan tahapan untuk menyiapkan dokumen leger yang akan *di-upgrade*. Pada tahapan ini juga dilakukan indentifikasi data-data pada dokumen leger yang sekiranya dapat digunakan sebagai inventori data aset jalan. Model 3D jalan dibangun dari data-data dimensi yang ada pada dokumen leger jalan. Bagian jalan yang dimodelkan secara 3D adalah tiang pancang, *girder*, lapisan aspal serta dinding pengaman jalan. Model 3D yang terbentuk kemudian dibandingkan volumenya dengan model 3D hasil pengukuran TLS dimana volume hasil pengukuran TLS dianggap sebagai nilai yang benar. Koordinat model 3D juga diuji dengan koordinat hasil pengukuran leger jalan menggunakan GNSS. Model 3D yang dibentuk dalam *software* Revit 2022 ini kemudian dieksport format data 3D-nya menjadi IFC. IFC merupakan format data standar yang digunakan dalam implementasi BIM. Kemudian dari format IFC data 3D ini transformasi kembali format datanya menjadi CityGML dimana format data ini merupakan format standar data 3D GIS. Hasil eksport dari model 3D yang terbentuk kemudian dievaluasi dan dianalisis untuk dilihat kesesuaianya dengan hasil model 3D yang telah terbentuk di awal.

Hasil penelitian ini menunjukkan bahwa *upgrading* leger jalan dari 2D menjadi 3D dapat dilakukan dengan menggunakan dokumen leger jalan hanya untuk jalan yang menempel di atas tanah tanpa ada konstruksi lain seperti jembatan ataupun terowongan. Sedangkan untuk jalan yang lebih kompleks seperti jalan layang, jembatan maupun terowongan dibutuhkan data-data yang lebih lengkap dan pengukuran yang lebih terperinci. Rata-rata perbedaan volume tiang pancang antara model 3D dari dokumen leger dan model 3D hasil pengukuran TLS adalah sebesar $0,002 \text{ m}^3$. Hasil RMSE koordinat pada pemodelan 3D menggunakan dokumen leger adalah seb=nilai $0,157 \text{ m}$. Penelitian ini juga menunjukkan bahwa format data CityGML lebih menyerupai bentuk model 3D awal dibandingkan dengan format data IFC. Hal ini dipengaruhi oleh tingkat kompleksitas geometri bangunan yang terbentuk. Semakin kompleks bentuk geometri suatu elemen, maka tingkat kesuksesan transformasi format data akan semakin kecil.

Kata Kunci : Leger Jalan, Model 3D, BIM, 3D GIS, GeoBIM



ABSTRACT

One of the Indonesian Government's priorities in the recent year is the development of national infrastructure especially highway infrastructure. The road construction will be followed by further activities to maintain the optimal condition of the road which is called road preservation. Road asset inventory is one of road preservation job desk. Road ledger document provide some data needed in inventory road assets. Road ledger is a document contain of development road history. The substance of this document is road identity, location of the road, type, material, and also road condition. Upgrading 2D road model in road ledger to 3D model will make road preservation more effective and efficient, especially in road asset inventory. Technology such as BIM and GeoBIM can be applied in road preservation if the data is upgraded into BIM or GeoBIM format. This study aims to upgrade road ledger document from 2D model to 3D model and analyze 3D data format for supporting road preservation, especially in road asset inventory

This research is generally divided into three main steps: preparation, 3D modeling, and analysis of the 3D model. The preparation is the stage to upgrade road ledger from 2D to 3D. Data in road ledger was identified to provide road asset inventory. The road 3D model was built using alignment data in road ledger document. The road 3D model consists of piers, girders, asphalts, and barriers. The volume of a 3D model was then compared with a 3D model created from TLS where the volume was considered as a true value. The coordinates of the 3D model were also tested with coordinates from road ledger measurements using GNSS. The 3D model was created using Revit 2022 and then exported into IFC format. IFC is the standard data format used in BIM. After that 3D model in IFC format was converted into CityGML which is a data format used in 3D GIS. The IFC model and CityGML model were then evaluated and analyzed to see if they are in accordance with the former 3D model.

The results of this study indicate that 3D model road ledger upgraded from 2D model using data from the road ledger document can only be done for landed road. Meanwhile, complex roads such as flyovers, bridges and tunnels need more complete and details measurements. The average of volume differences between the 3D model from road ledger and TLS is 0,002 m³. The value of coordinates RMSE is 0,157 m. This study shows that CityGML 3D model is more similar to the former 3D model than the IFC one. The IFC model is influenced by the complexity of the geometry building element. The more complex the geometry of an element the success rate of data format conversion will be lower.

Keywords : Leger Jalan, Model 3D, BIM, 3D GIS, GeoBIM



BAB I

PENDAHULUAN

I.1. Latar Belakang

Salah satu prioritas Pemerintah Indonesia dalam beberapa tahun terakhir ini adalah pembangunan infrastruktur nasional khususnya jalan. Setelah pembangunan jalan selesai dilakukan diperlukan kegiatan untuk menjamin operasional dan pemeliharaan jalan. Kegiatan ini selanjutnya disebut dengan preservasi jalan. Menurut Peraturan Menteri PUPR Nomor 5 Tahun 2023 preservasi jalan adalah kegiatan penanganan jalan untuk mempertahankan kondisi jalan agar tetap berfungsi secara optimal melayani lalu lintas hingga mencapai umur rencana (Kementerian Pekerjaan Umum dan Perumahan Rakyat, 2023). Salah satu kegiatan preservasi jalan adalah pengumpulan data inventori dan kondisi jaringan jalan. Data inventori mencakup jenis, lokasi, jumlah, dimensi, material, tahun pembuatan dan umur layanan dari aset (Kementerian Pekerjaan Umum dan Perumahan Rakyat Direktorat Jenderal Bina Marga, 2021). Kegiatan pengumpulan data inventori merupakan salah satu bagian dari manajemen aset yang mendukung kegiatan preservasi jalan.

Efisiensi pengumpulan data inventori jalan dapat dilakukan dengan memanfaatkan data dalam dokumen leger jalan. Menurut Peraturan Pemerintah Republik Indonesia Nomor 34 Tahun 2006 Tentang Jalan, leger jalan adalah dokumen yang memuat data mengenai perkembangan suatu ruas jalan (Pemerintah Republik Indonesia, 2006). Peraturan Menteri Pekerjaan Umum Nomor 78 Tahun 2005 menyebutkan bahwa dokumen leger jalan sekurang-kurangnya memuat data identitas jalan, data teknis jalan dan jembatan, peta lokasi jalan, data ruang milik jalan (rumija) serta data lain seperti tanggal perwujudan, nilai aset jalan dan bangunan utilitas yang terdapat pada rumija dan ruang pengawasan jalan (ruwasja) (Kementerian Pekerjaan Umum, 2005). Data leger jalan disimpan dalam format dokumen leger serta disimpan dalam bentuk peta digital 2 dimensi. Pada jalan yang terdapat jembatan khusus diperlukan satu pengukuran tambahan berupa pengukuran *terrestrial laser scanner* (TLS) untuk mengetahui kondisi jembatan khusus tersebut.

Pemanfaatan teknologi dan penguatan basis data dapat menambah efisiensi dan percepatan bukan hanya dalam pembangunan infrastruktur nasional tetapi juga operasional dan pemeliharaannya. Salah satunya adalah penerapan *Building Information Modelling* (BIM) yang merupakan representasi digital dari bentuk fisik dan fungsional suatu objek. Penerapan BIM



mula banyak digunakan dalam pekerjaan proyek konstruksi di Indonesia salah satunya untuk pembangunan jalan. Surat Edaran Direktur Jenderal Bina Marga Nomor 11/SE/Db/2021 menyebutkan “BIM diterapkan dalam proses perencanaan teknis, konstruksi, dan pemeliharaan jalan dan jembatan yang meliputi pembangunan jalan, jalan bebas hambatan dan jalan tol, terowongan serta jembatan khusus” (Direktorat Jenderal Bina Marga Kementerian PUPR, 2021). Disampaikan juga dalam artikel berita Bina Marga 23 Juni 2023 bahwa Ditjen Bina Marga tengah melakukan eksplorasi penggunaan BIM dalam pengendalian proyek dengan memanfaatkan 4D dan 5D BIM, serta integrasi BIM untuk pengalaman virtual memalui simulasi berkendara (Admin, 2023)

BIM merupakan teknologi terkini dalam industri arsitek, *engineer* dan konstruksi (AEC) yang saat ini banyak diadopsi dalam pembangunan bangunan fisik (Estman dkk., 2011). Model 3D yang tersimpan dalam BIM dapat dihasilkan dari pembuatan desain model dengan perangkat lunak tertentu ataupun dengan pengukuran di lapangan melalui UAV fotogramteri, Lidar serta TLS. Model bangunan yang dihasilkan pada BIM tidak hanya memiliki geometri tetapi juga data lainnya seperti jumlah, biaya, jadwal serta daftar bahan yang membantu dalam pengambilan keputusan selama siklus pembangunan konstruksi (Ahn & Cha, 2014). BIM yang diintegrasikan dengan *Virtual Reality* (VR) diklaim dapat meningkatkan kualitas visualisasi model 3D, penurunan biaya konstruksi, hingga peningkatan keselamatan kerja konstrusi (Afzal & Shafiq, 2021; Johansson & Roupé, 2019; Kieferle & Woessner, 2015; Lin dkk., 2020).

Meskipun sudah banyak penelitian yang mengaitkan potensi BIM terhadap efisiensi setiap tahapan konstruksi bangunan (Guzman & Ulloa, 2020; Kocakaya dkk., 2019; Nugrahini & Permana, 2020), tetapi belum banyak pembahasan mengenai potensi GeoBIM pada preservasi jalan. Dokumen leger jalan mengandung data konstruksi serta geoinformasi suatu ruas jalan. Dokumen leger jalan disimpan dalam bentuk dokumen cetak sedangkan dokumen digital disimpan sebagai kumpulan file leger. Data pada leger jalan memiliki potensi untuk dapat dimodelkan dan diintegrasikan dengan GeoBIM sehingga dapat menjadi sumber data pada siklus konstruksi (*life cycle*) tahapan preservasi jalan.

Terminologi GeoBIM mengacu pada integrasi 3D GIS dan BIM (Noardo dkk., 2019). Intergrasi antara 3D GIS dan BIM dilakukan untuk memanfaatkan kelebihan 3D GIS pada BIM maupun sebaliknya (de Laat & van Berlo, 2011). Jika digunakan bersama 3D GIS dan BIM mampu menyediakan gambaran proyek pembangunan yang detail dan menyeluruh (Fosu dkk., 2015). Oleh karenanya GeoBIM dapat menjadi salah satu solusi yang efektif dan efisien pada setiap kegiatan siklus konstruksi jalan.



I.2. Rumusan Masalah

Pemanfaatan teknologi terkini seperti BIM maupun GeoBIM dapat menambah efisiensi dan efektivitas kegiatan preservasi jalan. Saat ini perencanaan kegiatan preservasi jalan dilakukan dengan survey kondisi langsung di lapangan yang tentunya membutuhkan waktu dan biaya. Di sisi lain dokumen leger jalan menyediakan informasi inventori aset jalan yang dibutuhkan untuk perencanaan kegiatan preservasi jalan. Dokumen leger jalan yang tersedia saat ini disimpan dalam bentuk dokumen cetak dua dimensi, sedangkan data-data digital hanya disimpan dalam bentuk kumpulan file leger. Kegiatan preservasi yang bejalan selama ini belum terintegrasi dengan kegiatan pembuatan leger jalan ataupun memanfaatkan pada dokumen leger jalan. Selama ini belum terdapat kajian untuk mengubah format data leger jalan sehingga dapat diintegrasikan dengan BIM maupun GeoBIM yang dapat dimanfaatkan sebagai data inventori aset jalan yang mendukung kegiatan preservasi jalan.

I.3. Tujuan Penelitian

Tujuan umum dari penelitian ini adalah mengubah format leger jalan yang dapat mendukung format BIM ataupun integrasinya dengan 3D GIS untuk kegiatan preservasi jalan. Selanjutnya tujuan khusus yang ingin dicapai adalah sebagai berikut :

1. Melakukan *upgrading* leger jalan dari 2D menjadi 3D untuk menunjang kegiatan preservasi;
2. Menampilkan visualisasi pemodelan 3D jalan dan jembatan yang mendukung format GeoBIM;
3. Melakukan evaluasi geometri hasil *upgrading* data leger jalan dibandingkan model 3D hasil pengukuran TLS;

I.4. Pertanyaan Penelitian

Pertanyaan-pertanyaan yang ditimbulkan dari latar belakang penelitian ini antara lain adalah:

1. Kebutuhan data apa saja yang disediakan dokumen leger untuk *upgrading* leger jalan dari model 2D jalan menjadi model 3D sehingga dapat menunjang kegiatan preservasi jalan?
2. Bagaimana proses pemodelan 3D dari data leger jalan hingga menjadi model 3D yang mendukung format GeoBIM?



3. Bagaimana kesesuaian hasil model 3D dari data leger jalan dibandingkan dengan model 3D hasil pengukuran TLS?

I.5. Manfaat Penelitian

Penelitian ini diharapkan mampu mendukung salah satu kegiatan dalam preservasi jalan yaitu inventarisasi jalan. Kegiatan ini memanfaatkan data 2D jalan yang sudah ada menjadi model 3D jalan yang lebih merepresentasikan kondisi jalan eksisting. Format data model 3D yang terbentuk diharapkan dapat terintegrasi dengan BIM dan 3D GIS sehingga dapat mendukung efektivitas dan efisiensi kegiatan yang terkait dengan preservasi jalan khususnya pengelolaan aset jalan dan jembatan.

I.6. Ruang Lingkup Penelitian

Penelitian ini khusus membahas pembuatan model 3D menggunakan data leger jalan serta format data 3D yang dihasilkan. Data leger jalan yang digunakan dalam penelitian ini adalah data leger jalan pada jalan tol Ujung Pandang Seksi 3 (tol layang A.P Pettarani Makassar) tahun 2020. Hasil pemodelan 3D dari data leger jalan ini kemudian dibandingkan dengan pemodelan 3D dari TLS pada ruas jalan yang sama yang diambil pada tahun yang sama.

I.7. Tinjauan Pustaka

BIM telah banyak dimanfaatkan dalam setiap tahapan konstruksi, mulai dari prakonstruksi, konstruksi maupun pada tahapan operasional dan pemeliharaan. Berdasarkan penelitian yang dilakukan Raflis dkk., (2019) pada perusahaan kontraktor dan konsultan di DKI Jakarta, penggunaan BIM memberikan manfaat komunikasi dalam kolaborasi *stakeholder*. Penggunaan BIM dapat meningkatkan efektivitas perencanaan serta meningkatkan kualitas dan performa bangunan (Nugrahini & Permana, 2020; Rayendra, 2014). Selain itu BIM juga dapat digunakan untuk menghitung efisiensi biaya dan waktu (Azhar, 2011; Kocakaya dkk., 2019). Penggunaan BIM pada tahapan operasional juga telah dilakukan diantaranya oleh Guzman & Ulloa (2020) dan Valdepeñas dkk., (2020) dengan kesimpulan bahwa penggunaan BIM dapat dilakukan untuk peningkatan efisiensi dan produktifitas SDM.

Xu dkk., (2014) mengungkapkan bahwa potensi BIM untuk keseluruhan siklus proyek konstruksi belum sepenuhnya diperhitungkan. Namun pada penelitiannya dapat disimpulkan



pentingnya penggunaan BIM pada tiap fase proyek. BIM tidak hanya digunakan sebagai database tunggal, tetapi juga alat manajemen informasi, dimana dapat membantu mewujudkan desain kolaboratif dengan memberikan informasi konstruksi serta menyimpan informasi sehingga dapat digunakan untuk konstruksi lebih lanjut.

BIM menggunakan model 3D sebagai representasi objeknya. Akuisisi data untuk pemodelan 3D dapat dilakukan dengan UAV fotogramteri (Qin dkk., 2012; Remondino dkk., 2012), LiDAR (Lesparre & Gorte, 2012; Tse dkk., 2008) maupun TLS (Hendriatiningsih dkk., 2015; Rahmawati dkk., 2021). Selain itu pemodelan 3D dapat dilakukan dengan menggunakan data 2D berupa *as built drawing* ditambah dengan data ketinggian menggunakan data pada *cross section* (Aditya dkk., 2021). Pemodelan 3D ini dilakukan dengan menggunakan format IFC 2x3 yang kemudian divisualisasikan dengan tujuan menampilkan bentuk fisik dan legal dari bangunan 3D. Dalam pemodelan 3D ketelitian model dapat dianalisis dengan membandingkan model 3D hasil georeferensi dengan koordinat hasil pengukuran di lapangan sesuai dengan syarat akurasi LOD-nya (Cahyono & Ulinnuha, 2016).

Penggunaan BIM tidak hanya digunakan dalam proyek konstruksi bangunan. Pada proyek pembangunan jalan, BIM dapat digunakan untuk meningkatkan efektivitas pada setiap siklus konstruksi jalan sehingga dapat mengurangi resiko kecelakaan kerja (Jian, 2020). Pembangunan jalan sangat terkait dengan kondisi geografis dan geologinya, sehingga dalam perencanaanya dibutuhkan integrasi antara BIM dan GIS (Zhao dkk., 2019).

Menurut Guillen dkk., (2016) hingga saat ini kajian pemanfaatan BIM telah banyak dilakukan, tetapi pemanfaatan BIM dalam tahap operasional dan pemeliharaan belum banyak dan masih perlu diusulkan dan diuji untuk pengembangan kasus penggunaan BIM dalam sistem informasi manajemen asset. Penelitian terkait BIM umumnya dilakukan untuk kepentingan perencanaan proyek terutama konstruksi gedung.

Integrasi antara BIM dan GIS dilakukan dengan konversi standar data BIM dan GIS (de Laat & van Berlo, 2011; Hijazi dkk., 2009; Isikdag & Zlatanova, 2009). Konversi format data BIM (IFC) ke GIS (CityGML) dapat dilakukan menggunakan beberapa *software* konversi. Putra, (2022) dalam penelitiannya telah membandingkan 3 perangkat lunak untuk mengonversi format data IFC ke format data CityGML. Dalam penelitiannya, dilakukan pengecekan koordinat dan volume sebagai perbandingan antara format data IFC dan CityGML.

Penelitian kali ini terfokus pada *upgrading* dokumen leger jalan dari 2D menjadi 3D serta integrasi yang mungkin dapat dilakukan terhadap model 3D yang berbasis BIM dengan



model 3D yang berbasis GIS. Pembuatan model 3D jalan bersumber pada data 2D yaitu data leger jalan. Validasi model 3D yang terbentuk dilakukan terhadap model 3D hasil pengukuran TLS pada lokasi dan waktu yang bersamaan.



BAB II

LANDASAN TEORI

II.1. Leger Jalan

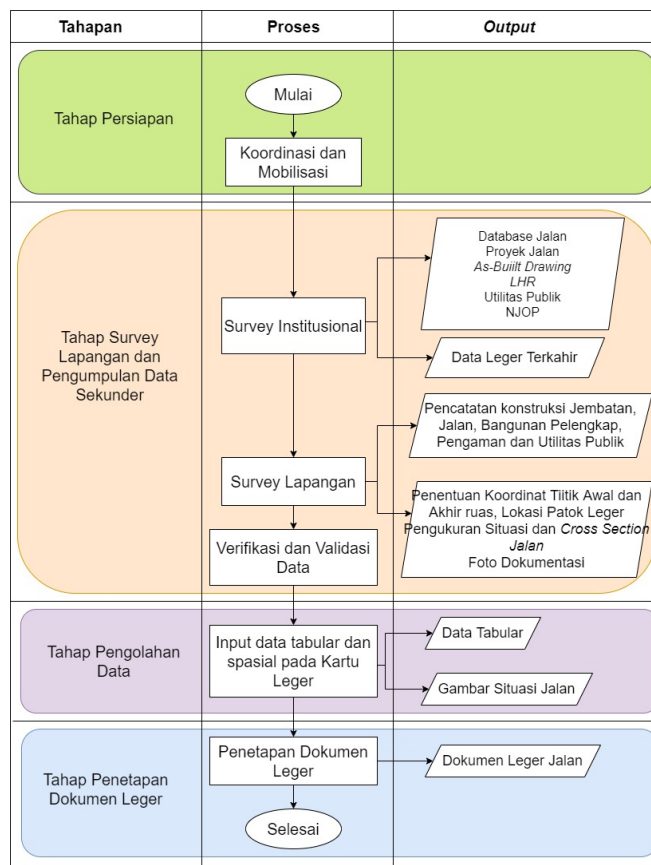
Peraturan Pemerintah Republik Indonesia Nomor 34 Tahun 2006 mewajibkan setiap penyelenggara jalan untuk mengadakan leger jalan yang diwujudkan dalam bentuk kartu maupun digital (Pemerintah Republik Indonesia, 2006). Salah satu kegunaan dokumen leger jalan yang disebutkan pada Peraturan Menteri Pekerjaan Umum Nomor 78/PRT/M/2005 Tentang Leger Jalan adalah untuk penyusunan rencana dan program penyelenggaraan jalan. Permen PU No 78/2005 juga menyebutkan bahwa leger jalan harus senantiasa dalam keadaan mutakhir. Pemutakhiran leger jalan dilakukan setidaknya 5 tahun sekali (Departemen Pekerjaan Umum Direktorat Bina Marga, 2008b).

Dokumen leger jalan memuat satu ruas jalan yang terdiri dari ringkasan data, kartu jalan dan kartu jembatan serta digambarkan pada kertas A3 (Departemen Pekerjaan Umum Direktorat Bina Marga, 2008a). Kartu jalan berisi data teknis, situasi potongan jalan dan penampang melintang serta memanjang jalan. Kartu jembatan berisi data teknis, potongan memanjang dan melintang jembatan, serta kenampakan jembatan dari atas. Prosedur pembuatan dokumen leger jalan mengacu pada Buku-2 Pedoman Teknis Leger Jalan. Prosedur ini terdiri dari 4 tahapan yaitu tahap persiapan, tahap survey lapangan dan pengumpulan data sekunder, tahap pengolahan data dan tahap penetapan dokumen leger. Prosedur lengkap pembuatan leger jalan dapat dilihat pada Gambar II.1. Kegiatan yang dilakukan pada tahap persiapan adalah koordinasi dan mobilisasi. Tahap survey lapangan dan pengumpulan data sekunder terdapat 3 kegiatan yaitu survey institusional, survey lapangan serta verifikasi serta validasi data. Data yang diperolah pada survey institusional adalah data identitas jalan, data proyek pada ruas jalan yang akan dibuat dokumen legernya, *as built drawing*, lintas harian rata-rata, data nilai aset jalan, serta dokumen leger terakhir jika jalan tersebut telah dilegerkan sebelumnya. Dalam dokumen leger terakhir didapatkan informasi berupa koordinat titik awal dan akhir ruas, lokasi patok leger, gambar situasi dan potongan melintang jalan serta foto dokumentasi jalan. Apabila dokumen leger tidak tersedia, maka informasi tersebut dapat diperoleh dari survey lapangan. Selain itu, data yang didapatkan pada survey lapangan adalah konstruksi jembatan, konstruksi jalan, bangunan pelengkap jalan, bangunan pengaman jalan serta utilitas publik. Kegiatan terakhir pada tahap survey lapangan dan pengumpulan data



sekunder adalah verifikasi dan validasi data yang telah diambil baik dari survey institusional maupun survey lapangan.

Pada tahapan pengolahan data kegiatan yang dilakukan adalah menginput data baik data tabular maupun gambar situasi dan profil memanjang serta melintang jalan dan jembatan pada kartu leger jalan. Tahapan akhir dari pembuatan leger jalan adalah penetapan leger jalan oleh penyelenggara jalan.



Gambar II.1. Prosedur pembuatan leger jalan
(Departemen Pekerjaan Umum Direktorat Bina Marga, 2008b)

Pengisian kartu leger jalan mengacu pada Buku – 3 Pedoman Pengisian Form Kartu Leger Jalan. Seperti tertera pada prosedur pembuatan leger jalan pada Gambar II.1 tahapan pengolahan data, data pada dokumen leger jalan terdiri dari data tabular dan gambar situasi jalan. Informasi yang ditampilkan dalam bentuk tabular antara lain adalah informasi mengenai identitas jalan, data jalan dan jembatan, data bangunan dan pelengkap jalan. Informasi tersebut mengandung data mengenai jumlah, dimensi, jenis material yang digunakan dan kondisi bangunan. Selain itu data spasial yang ditampilkan dalam bentuk tabular adalah koordinat titik awal dan akhir ruas serta deskripsi lokasi. Data koordinat (X, Y dan Z) yang tertera pada kolom

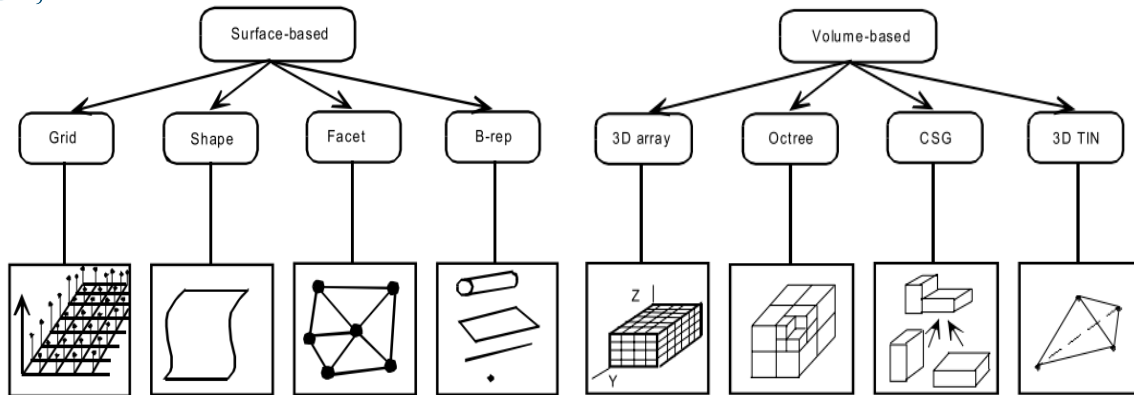


identitas jalan diambil dari hasil pengukuran di lapangan. Data perlengkapan jalan diambil di setiap bagian jalan baik di kiri, kanan maupun median jalan.

Gambar situasi jalan berisi peta situasi dan gambar penampang jalan dan jembatan. Peta situasi diambarkan satu ruas utuh, sedangkan detail potongan ruas digambarkan tiap segmen. Informasi koordinat awal dan akhir ruas serta kenampakan situasi jalan hingga batas ruwasja digambarkan sesuai dengan ketentuan yang ada pada Buku Pedoman – 3. Pada gambar tersebut terdapat informasi mengenai koordinat awal dan akhir ruas, serta kenampakan situasi jalan secara umum. Tidak ada skala baku untuk penggambaran ruas secara umum. Skala peta diberikan pada penggambaran potongan. Penggambaran potongan ruas dalam kota maksimal 375 m dengan skala 1 : 1000 sedangkan ruas luar kota maksimal sepanjang 750 m dengan skala 1 : 2000 (Departemen Pekerjaan Umum Direktorat Bina Marga, 2008c). Pada detail situasi sepanjang ruang pengawasan jalan (ruwasja) lebih terlihat jelas, seperti bangunan sepanjang ruwasja, bangunan pelengkap jalan serta lampu jalan. Potongan memanjang dan melintang digambarkan dengan skala 1 : 500 yang menggambarkan gradien jalan serta dimensi jalan.

II.2. Pemodelan dan Visualisasi 3D

Objek di permukaan bumi, baik objek alam maupun buatan dapat direpresentasikan Abdul-Rahman & Pilouk, (2008) menyebutkan Li (1994) membagi representasi objek spasial sebagai *surface-based* dan *volume-based*. Representasi objek spasial disebut *survace-based* apabila objek spasial tersebut direpresentasikan sesuai permukaan primitifnya, dan disebut representasi objek spasial *volume-based* apabila interior objek spasial tersebut dideskripsikan sebagai objek yang solid. Representasi *surface-based* antara lain adalah *grid*, *shape model*, *facet model* dan *boundary representation* (B-rep), dan representasi *volume-based* antara lain adalah 3D *array*, *octree*, *constructive solid geometry* (CSG) dan 3D TIN (TEN). Secara ringkas penggambaran representasi objek di permukaan bumi dapat dilihat pada Gambar II.2.



Gambar II.2. Representasi objek spasial
(Rahman & Pilouk, 2008)

Aplikasi pemodelan 3 dimensi banyak dimanfaatkan dalam pemodelan kota. Noardo dkk., (2019) menyebutkan terdapat 2 sumber data yang digunakan dalam aplikasi perkotaan, yaitu model kota 3D (*3D city model*) dan BIM. Model kota 3D umumnya digunakan untuk merepresentasikan objek-objek perkotaan dengan tujuan untuk menganalisis, mengatur dan menata kota serta navigasi. Sedangkan BIM lebih digunakan untuk desain bangunan dan infrastruktur yang menunjang manajemen proyek dan asset. Standar format data yang digunakan untuk kepentingan pemodelan kota 3D lebih mengarah ke format data CityGML sedangkan BIM menggunakan format data IFC (*Industry Foundation Classes*) (Noardo dkk., 2019).

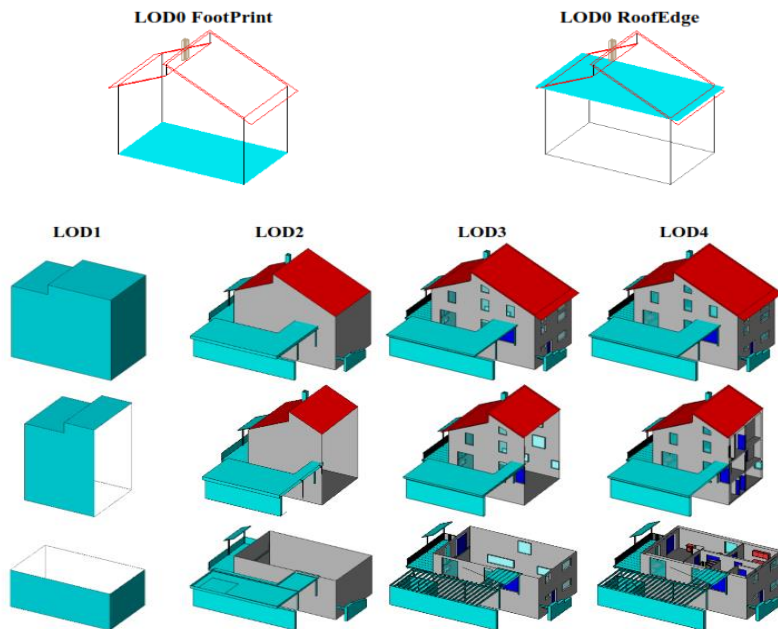
II.2.1. CityGML

CityGML dikembangkan oleh *Special Interest Group 3D* (SIG 3D) di Jerman pada tahun 2002, yang kemudian diterima sebagai standar OGC pada tahun 2008 (Gröger & Plümer, 2012). CityGML merupakan skema GIS pertama yang mendukung informasi semantik. CityGML mendukung pemodelan berbasis komponen dimana komponen bangunan yang berbeda diberikan ID, nama dan deskripsi yang unik (Deng dkk., 2016). CityGML dikembangkan sebagai model data dengan skema XML.

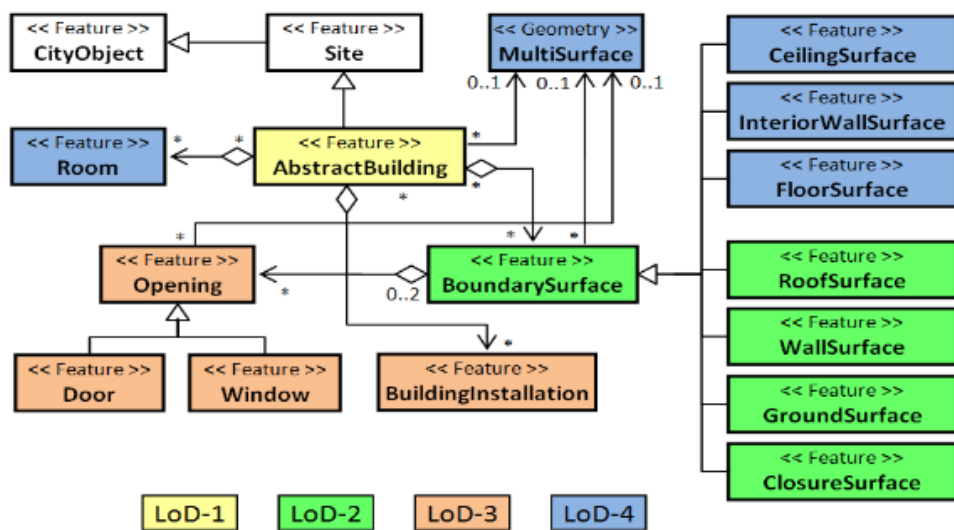
Gröger dkk., (2012) menyebutkan terdapat 5 tingkat kedekatan data 3D pada CityGML yang dikenal dengan LoD (*Level of Detail*), yaitu LoD 0 hingga LOD 4 seperti ditunjukkan pada Gambar II.3. Digambarkan pada Gambar II.3 LOD 0 merupakan bidang 2,5D baik berupa tapak bangunan ataupun atap bangunan pada permukaan 3 dimensi. LoD 1 digambarkan pada Gambar II.3 sebagai model bangunan blok dengan atap datar. Pada Gambar II.3 *feature* bangunan mulai terbentuk pada LoD 2 seperti permukaan atap, dinding dan lantai yang menjadi



batas dan membentuk suatu bangunan. Pada LoD 3 terdapat *feature opening* bangunan seperti jendela dan pintu serta instalasi bangunan lainnya. LoD 4 merupakan model bangunan paling kompleks dengan detail interior, langit-langit serta permukaan lantai yang terdapat di dalam bangunan tersebut.



Gambar II.3 LOD pada CityGML
(Gröger dkk., 2012)

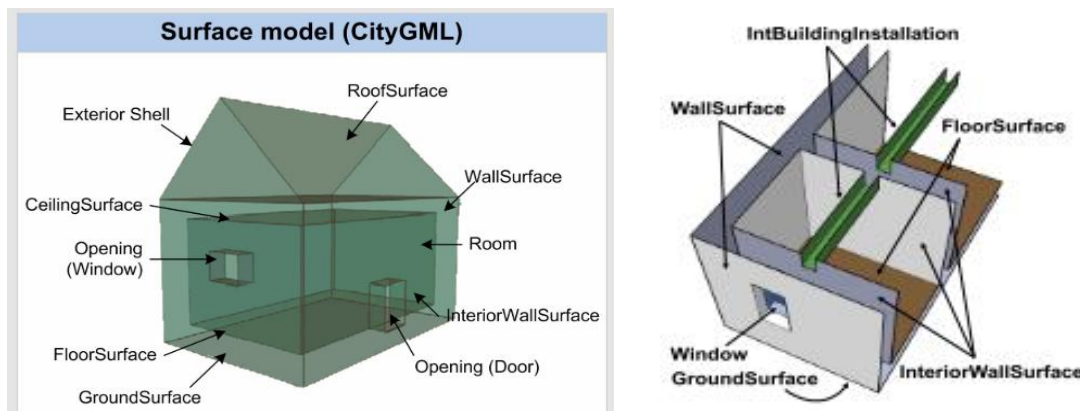


Gambar II.4. UML model bangunan pada CityGML
(El-Mekawy dkk., 2012)



UML model bangunan pada CityGML digambarkan pada Gambar II.4 dimana setiap warnanya menunjukkan *feature* pada setiap tingkatan LoD. Dijelaskan pada Gambar II.4 bahwa LOD 1 memiliki *feature AbstractBuilding*. Kemudian pada LOD 2 mulai terbentuk *feature RoofSurface*, *WallSurface*, *GroundSurvace* dan *ClosureSurface* yang kemudian menjadi suatu *feature BoundarySurface*. Pada LOD 3 *feature opening* seperti *Door* dan *Window* terbentuk dan menempel pada *BoundarySurface*. Kemudian pada LOD4 *feature BoundarySurface* juga dilengkapi dengan *feature CeilingSurface*, *InteriorWallSurface* dan *FloorSurface*.

Bentuk model 3D lengkap dari CityGML digambarkan pada Gambar II.5. Representasi objek 3D pada CityGML menggunakan *BRep* (Deng dkk., 2016) dimana bentuk bangunan merupakan gabungan dari permukaan dinding dan lantai. *BRep* (*Boundary Representation*) merupakan representasi objek dengan mengguakan kombinasi titik, garis batas, permukaan maupun volume (Rahman & Pilouk, 2008). Gambar II.5 menunjukan pada CityGML bangunan terdiri dari gabungan permukaan-permukaan objek 3 dimensi.



Gambar II.5. Model bangunan pada CityGML
(Nagel, 2007; Nagel dkk., 2009)

Ketelitian pemodelan 3D dapat dilihat dari beberapa aspek. Fan (2009) merujuk Albert dkk (2003) merangkum kebutuhan akurasi pada berbagai LoD CityGML dalam Tabel II.1.

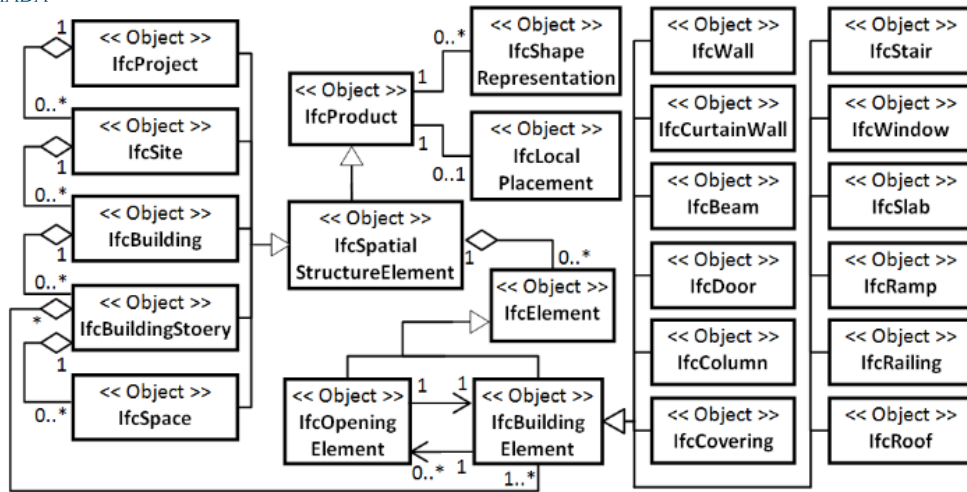


Tabel II.1 Kebutuhan Akurasi Bangunan pada CityGML

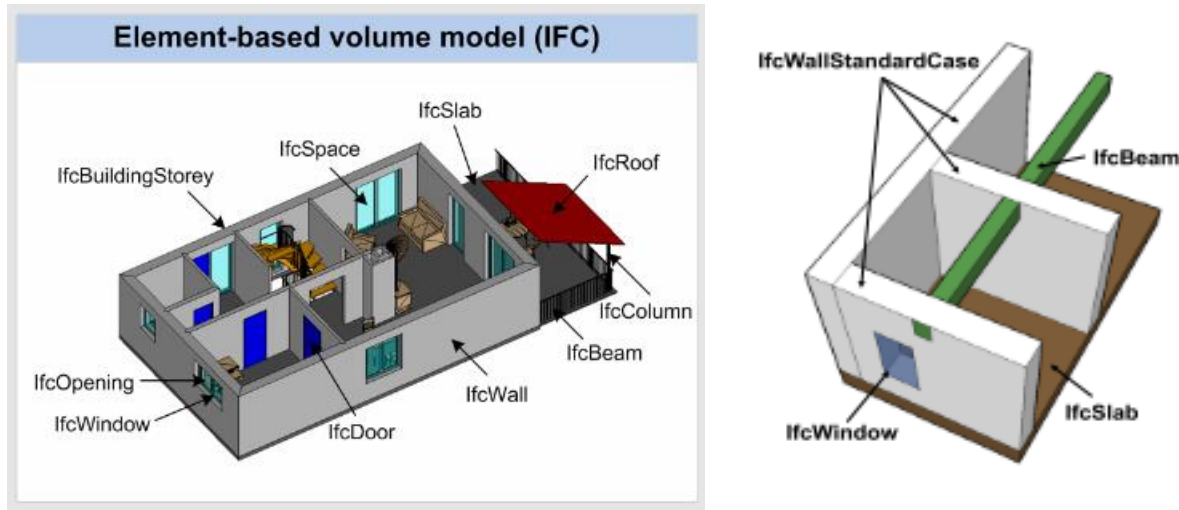
| Aspek | LoD1 | LoD2 | LoD3 | LoD4 |
|-------------------------------|--|--|--|--|
| Deskripsi skala model | Kota | Distrik | Model arsitektur, <i>landmark</i> | Model arsitektur |
| Akurasi | Rendah | Menengah | Tinggi | Sangat tinggi |
| Akurasi posisi dan ketinggian | 5 m | 2 m | 0.5m | 0.2 m |
| Generalisasi | Generalisasi berupa objek blok; > 6 x 6 m | Generalisasi berupa objek blok; > 4 x 4 m | Objek sesuai bentuk nyata; > 2 x 2m | Menampilkan elemen-elemen konstruksi serta jendela dan pintu |
| Instalasi bangunan | - | - | Menampilkan efek eksterior | Sesuai bentuk asli |
| Struktur atap | Datar | Sesuai tipe atap | Sesuai bentuk asli | Sesuai bentuk asli |

II.2.2. IFC (Industry Foundation Classes)

Deng dkk. (2016) menyebutkan IFC merupakan *open standar objek-oriented* yang dikembangkan buildingSMART pada tahun 1994, yang kemudian resmi didaftarkan sebagai ISO/PAS 16739. IFC merupakan standar pada data BIM yang dapat digunakan untuk pertukaran data pada proyek konstruksi maupun manajemen fasilitas (Guillen dkk., 2016). Pada IFC objek dengan bentuk yang kompleks dapat direpresentasikan menggunakan CSG (*Constructive Solid Geometry*) (Deng dkk., 2016). UML model bangunan pada IFC dan bentuk modeling bangunan pada IFC digambarkan pada Gambar II.6 dan Gambar II.7. Tidak seperti CityGML, elemen pembentuk bangunan pada IFC tidak bergantung pada tingkat kedekatan model. Setiap model pada IFC terdiri dari objek-objek solid seperti dinding, lantai, atap, kolom, pintu, jendela dan lainnya.



Gambar II.6. UML model bangunan pada IFC
(El-Mekawy dkk., 2012)



Gambar II.7. Model bangunan pada IFC
(Nagel, 2007; Nagel dkk., 2009)

Tingkat kedekatan suatu objek pada IFC dikenal dengan istilah *Level of Development* (LOD) yang diadopsi dalam AIA E202 (Guillen dkk., 2016). *Level of Development* (LOD) dan deskripsinya ditampilkan pada Tabel II.2



Tabel II.2 Jenis dan Deskripsi *Level of Development* (Guillen dkk., 2016)

| <i>Level of Development</i> | Deskripsi |
|---|--|
| LOD 100 : Model Desain Semantik | Pemodelan keseluruhan bangunan pada suatu area tertentu. Tinggi volume, lokasi dan orientasi dimodelkan dalam 3D atau di tampilkan dalam data yang lain. |
| LOD 200 : Model Desain Pengembangan | Generalisasi model dengan perkiraan jumlah, ukuran, bentuk, lokasi dan orientasi. Informasi non-geometrik dapat juga disematkan pada model. |
| LOD 300 : Model Dokumentasi Konstruksi | Pemodelan dengan bagian-bagian spesifik, dimana jumlah, ukuran, bentuk, lokasi dan orientasi akurat. Informasi non-geometrik dapat disematkan pada model. |
| LOD 400 : Model Konstruksi | Pemodelan dengan bagian-bagian spesifik dan lengkap, dimana jumlah, ukuran, bentuk, lokasi dan orientasi akurat, serta detail informasinya. Informasi non-geometrik dapat disematkan pada model. |
| LOD 500 : <i>Record Model</i> | Pemodelan bagian-bagian konstruksi yang akurat dan aktual, baik dalam ukuran, bentuk, lokasi, jumlah dan orientasinya. Informasi non-geometrik dapat disematkan pada model. |

II.3. Building Information Modelling (BIM)

Building Information Modelling (BIM) merupakan representasi bentuk fisik dan fungsional bangunan secara komprehensif dalam bentuk digital (Borrman dkk., 2018). Referensi lain menyatakan bahwa BIM merupakan serangkaian proses membantu dalam perencanaan desain, konstruksi hingga pemeliharaan gedung dan infrastruktur dalam bentuk 3D (Boukara & Naamane, 2015; Estman dkk., 2011). Pemodelan BIM mengkombinasikan objek 2D dan 3D beserta faktor eksternal seperti lokasi geografis serta kondisi sekitar objek untuk membangun suatu desain bangunan menjadi suatu virtual basis data bangunan yang menyediakan setiap informasi yang berkaitan dengan desain bangunan tersebut.

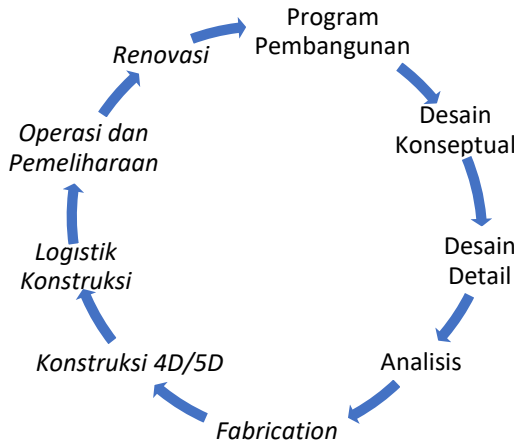
Atribut objek pada BIM merupakan parameter yang mendefiniskan informasi grafis maupun non grafis sehingga penggunanya dapat menggunakannya untuk merepresentasikan bentuk geometrik dan relasi antar elemen bangunannya. Beberapa sifat ataupun parameter objek pada BIM antara lain adalah (Estman dkk., 2011) :

1. Terdiri dari geometri dan data serta aturan yang terkait;



2. Objek secara otomatis akan mengikuti bentuk geometri dari model bangunannya, contoh pintu akan menyesuaikan dengan dinding dan bentuk tembok bagian atas akan menyesuaikan dengan atap;
3. Suatu objek dapat didefinisikan pada berbagai tingkatan agregasinya, contoh jika berat subkomponen suatu dinding berubah, maka berat dinding tersebut juga akan berubah;
4. Ketidaklayakan objek baik dalam ukuran ataupun kualitas dapat terdeteksi;
5. Objek pada BIM dapat menerima, meneruskan, mengeksport atribut seperti struktur material, dari aplikasi dan model lain.

BIM dapat digunakan dalam seluruh siklus konstruksi mulai dari perencanaan pembangunan hingga operasional dan pemeliharaan konstruksi. Siklus konstruksi pada BIM dirangkum dalam Gambar II.8.



Gambar II.8 Siklus BIM

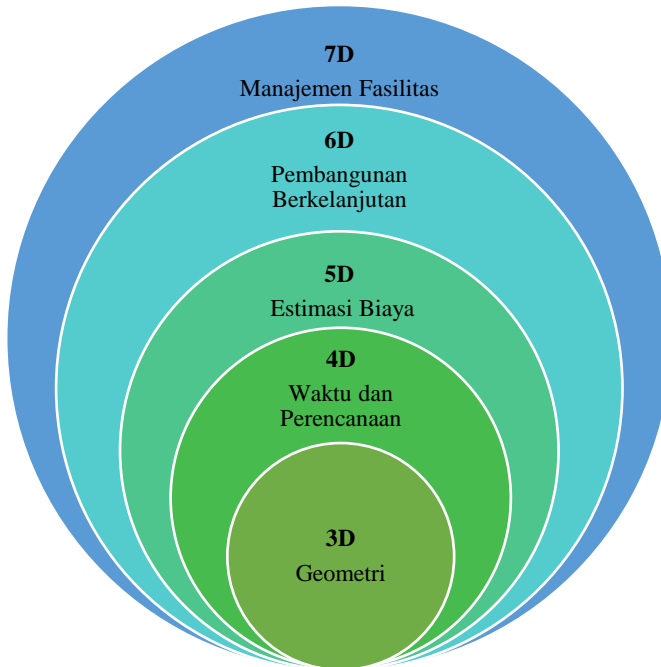
(Jourdan dkk., 2019)

BIM terbagi dari model 3D hingga 7D yang menggambarkan kemampuan ataupun fungsi tiap-tiap modelnya. Dimensi BIM digambarkan pada Gambar II.9 yaitu : (Guillen dkk., 2016):

1. Model 3D : BIM pada fase ini berupa desain 3D yang mengandung geometri;
2. Model 4D : penjadwalan proyek. BIM pada fase ini digunakan untuk perencanaan pengawasan proyek konstruksi;
3. Model 5D : Estimasi Biaya. Pada model ini BUM digunakan untuk memperkirakan biaya dan pengawasan biaya konstruksi;



4. Model 6D : Pembangunan yang berkelanjutan. BIM digunakan untuk mengawasi dampak konstruksi dan operasionalnya;
5. Model 7D : Manajemen fasilitas. BIM digunakan termasuk dalam perencanaan operasional dan pemeliharaan bangunan.



Gambar II.9 Dimensi BIM
(Akbarieh dkk., 2020)

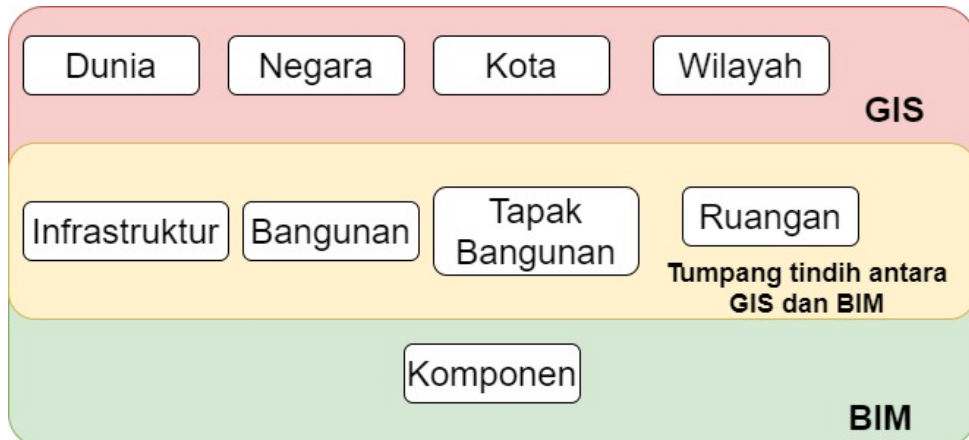
Namlı dkk., (2019) menyatakan keunggulan dari *Building Information Modelling* ini adalah antara lain adalah :

1. Peningkatan alur informasi dimana setiap tahapan pembangunan mulai dari desain, konstruksi hingga pemeliharaan dapat diakses oleh seluruh pihak yang terkait (arsitek, kontraktor, pengguna jasa dll)
2. Perkiraan biaya konstruksi yang lebih baik, BIM menyediakan informasi mengenai jenis dan jumlah material yang digunakan;
3. Mengurangi biaya kontruksi dengan perencanaan yang lebih terarah;
4. Menyediakan history dari proses desain, konstruksi hingga saat penggunaannya.



II.4. GeoBIM

GeoBIM pada dasarnya adalah integrasi antara data BIM dan GIS. Data dalam format GIS dan BIM memiliki kelebihan dan kekurangannya masing-masing. Data GIS lebih familier jika ditampilkan dalam format CityGML sedangkan data BIM biasanya mengacu pada IFC (*Industrial Foundation Club*). Terdapat beberapa perbedaan antara BIM dan GIS, diantaranya adalah perbedaan pengguna, skala spasial, koordinat sistem, representasi semantic dan geometrik, penyimpanan informasi dan metode akses (Liu dkk., 2017). Walaupun kedua teknologi tersebut mengalami perkembangan yang berbeda, tetapi juga memiliki gap dalam beberapa hal. Gap tersebut dapat digambarkan pada Gambar II.10. Secara umum perbedaan GIS 3 Dimensi dan BIM dituangkan dalam Tabel II.3.



Gambar II.10 Tumpang tindih perkembangan GIS dan BIM
(Liu et al., 2017)

Tabel II.3. Perbedaan GIS 3D dan BIM (Julin dkk., 2018)

| Aspek | GIS 3D | BIM |
|-----------------------|---|---------------------------|
| Penggunaan model 3D | Dunia nyata | Data perencanaan |
| Kompleksitas | Sederhana baik geometri maupun semantik | Model lebih kompleks |
| Jangkauan | Kesuluruhan kota | Lokal, spesifik |
| Sistem koordinat | Global | Lokal |
| Penggunaan | Database | Siklus proses pembangunan |
| Otomatisasi pemodelan | Otomatis atau semi otomatis | Manual |



Deng dkk. (2016) menyebutkan setidaknya terdapat 4 tantangan dalam integrasi antara BIM dan GIS yaitu :

1. Transformasi sistem koordinat. Lokasi objek pada IFC tidak tereferensi pada sistem koordinat global sedangkan GIS sangat memperhatikan sistem koordinat pada saat proses pemetaan;
2. Transformasi bentuk geometris dari model 3D BIM pada umumnya yaitu CSG (*Constructive Solid Geometry*) menjadi *BRep* yang merupakan representasi objek pada CityGML;
3. Penyamaan *Level of Detail* pada GIS dan BIM;
4. Kerawanan data hilang. BIM tidak dapat menyimpan data sistem koordinat, di sisi lain GIS tidak terfokus pada informasi bangunan seperti proses konstruksi, bahan bangunan dan sebagainya.

Liu dkk. (2017) juga menyebutkan integrasi antara BIM dan GIS dapat dibedakan menjadi 3 tingkatan, yaitu pada tingkat data, tingkat proses dan tingkat aplikasi. Integrasi pada tingkat data dapat dilakukan diantara adalah dengan pembuatan model dan standar data baru seperti adalah InfraGML, IndoorGML, UML serta Quasy ataupun dengan konversi data. Integrasi pada tingkatan data ini akan mengubah format data baik GIS maupun BIM sehingga format data yang baru diharapkan dapat kompatible pada satu sistem.

Berbeda dengan integrasi pada tingkat data, integrasi BIM dan GIS pada tingkat proses tidak mengubah struktur dan format data asli. Terdapat 2 jenis integrasi pada level ini, yaitu *semantic web technologies* dan *service based method*. Integrasi pada tingkat aplikasi biasanya berupa *plug-in* ataupun skema tertentu. Selain tidak mengubah sumber data ataupun objek data, integrasi pada level ini juga tidak ada pengembangan *service* ataupun *ontology*. Namun, implementasi integrasi tingkat aplikasi ini terbatas untuk kasus tertentu.

Dari beberapa metode integrasi tersebut terdapat kelebihan serta kekurangannya masing-masing. Liu dkk., (2017) membandingkan metode-metode tersebut bedasarkan efektivitas, ekstensibilitas, tingkatan kesulitan (*effort*) dan fleksibilitas yang terangkum pada Tabel II.4.



Tabel II.4. Tabel Perbandingan Metode Integrasi BIM dan GIS (Liu dkk., 2017)

| Metode Integrasi | Efektivitas | Ekstensibilitas | <i>Effort</i> | Fleksibilitas |
|---|-----------------------|-----------------------|-----------------------|-----------------------|
| Standar Data Baru | Bergantung pada kasus | Bergantung pada kasus | Bergantung pada kasus | Bergantung pada kasus |
| Konversi, translasi dan pengembangan standar data (manual) | Menengah | Tinggi | Tinggi | Menengah |
| Konversi, translasi dan pengembangan standar data (semi-otomatis) | Menengah | Menengah | Menengah | Menengah |
| <i>Semantic web technology</i> | Tinggi | Tinggi | Tinggi | Medium |
| <i>Services-based methods</i> | Tinggi | Rendah | Tinggi | Rendah |
| Aplikasi | Tergantung pada kasus | Rendah | Rendah | Rendah |

II.5. Uji Kualitas Pemodelan

Suatu sampel data ukuran perlu diuji kualitasnya terhadap nilai yang dianggap benar dengan melakukan uji kualitas geometri. Pengujian kualitas geometri bertujuan untuk mendapatkan selisih antara nilai hasil pengukuran dengan nilai yang dianggap benar sehingga didapatkan nilai ketelitian dari hasil pengukuran (Widjajanti, 2011). Uji kualitas yang dapat diterapkan pada kegiatan ini adalah *Root Mean Square Error* (RMSE), nilai simpangan baku serta uji hipotesis. Pada kegiatan ini data yang diuji adalah sampel volume tiang pancang hasil modeling dari ABD dan volume tiang pancang yang dianggap benar dari hasil modeling 3D menggunakan TLS.

II.1.1 *Root Mean Square Error* (RMSE)

RMSE didapatkan dari hitungan akar kuadrat rata-rata selisih data yang dianggap benar dengan data hasil pengukuran atau pengolahan. Nilai RMSE yang kecil menunjukkan tingkat akurasi yang makin baik dari pengukuran ataupun pengolahan data tersebut. RMSE dihitung dengan menggunakan rumus (II.1)

$$RMSE = \sqrt{\frac{\sum(X_i - X)^2}{n}} \dots \dots \dots \text{(II.1)}$$



Dalam hal ini :

RMSE : Root Mean Square Error

X_i : nilai hasil ukuran

X : nilai yang dianggap benar

n : banyak ukuran yang digunakan

II.1.2 Simpangan Baku

Nilai simpangan baku menunjukkan nilai estimasi kesalahan tiap data ukuran terhadap rata-rata keseluruhan datanya (Ghilani & Wolf, 2016). Variasi atau persebaran data sampel dapat ditentukan dengan menghitung nilai simpangan bakunya. Perhitungan nilai rata-rata dilakukan dengan rumus (II.2) dan nilai simpangan bakunya dihitung dengan rumus (II.3)

$$\Delta X_{rata-rata} = \frac{\Sigma \Delta X}{n} \dots \dots \dots \text{(II.2)}$$

$$S \Delta X = \sqrt{\frac{\Sigma (\Delta X_i - \Delta X_{rata-rata})^2}{n-1}} \dots \dots \dots \text{(II.3)}$$

Dalam hal ini :

ΔX : selisih nilai

$\Delta X_{rata-rata}$: rata-rata selisih nilai

$S \Delta X$: simpangan baku selisih nilai

II.1.3 Pengujian Hipotesis

Pengujian hipotesis dapat digunakan untuk menentukan konsistensi nilai hitungan dengan nilai asumsi (Widjajanti dkk., 2017). Dalam melakukan pengujian statistik digunakan tingkat kepercayaan dalam penerimaan hasil. Umumnya tingkat kepercayaan yang digunakan dalam penerimaan hasil adalah sebesar 95% atau dengan taraf signifikansi (α) 5%. Ada beberapa cara untuk menguji hipotesis. Apabila sampel berjumlah besar atau lebih dari 30, maka pengujian hipotesis dapat menggunakan nilai Z dengan rumus (II.4).

$$Z_o = \frac{\bar{X} - \mu_o}{\sigma} \dots \dots \dots \text{(II.4)}$$

Dalam hal ini :

Z_o : Nilai Z hitung



\bar{X} : Nilai rata-rata yang dianggap benar

μ_0 : Nilai rata-rata hasil hitungan atau modeling

σ : simpangan baku

Uji hipotesis dilakukan dengan menggunakan hipotesis nol (H_0) dan hipotesis alternatif (H_1). H_0 merupakan hipotesis yang menyatakan bahwa tidak ada perbedaan nilai yang signifikan antara hasil modeling 3D dan nilai yang yang dianggap benar. H_1 merupakan hipotesis yang merupakan lawan dari H_0 . Penentukan hasil hipotesis dilakukan dengan membandingkan nilai Z_o dengan Z pada tabel distribusi normal. H_0 diterima apabila nilai $-Z_{\alpha/2} < Z_o < Z_{\alpha/2}$.



BAB III

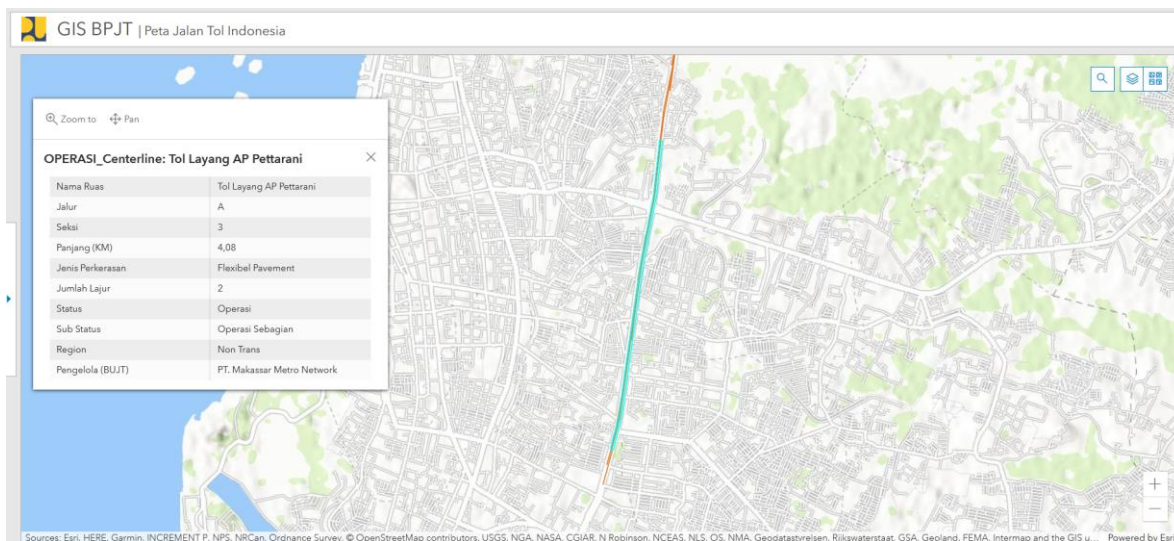
PELAKSANAAN PENELITIAN

III.1. Persiapan

Tahapan persiapan diperlukan untuk menunjang penelitian agar maksud dan tujuannya tercapai. Rangkaian tahapan persiapan antara lain adalah studi literatur dan persiapan alat dan bahan. Studi literatur diperoleh dari buku, jurnal ilmiah, hasil konferensi maupun literatur lain yang menunjang kegiatan penelitian ini. Pada kegiatan persiapan alat dan bahan dilakukan juga identifikasi data yang sesuai dengan kebutuhan data pada tahapan preservasi jalan. Tahap persiapan ini termasuk juga tahapan instalasi beberapa perangkat lunak yang dibutuhkan untuk pengolahan serta mengunduh data yang akan digunakan.

III.1.1. Lokasi Kegiatan

Kegiatan ini dilakukan pada ruas jalan tol layang AP Pettarani Makassar sepanjang 4KM jalan utama, 2 Ramp On dan 2 Ramp Off (Ramp On Boulevard, Ramp Off Boulevard, Ramp On Allaudin serta Ramp Off Allaudin). Lokasi Tol layang AP Pettarani ditunjukkan pada Gambar III.1



Gambar III.1 Lokasi tol layang AP Pettarani
(Sumber : <https://sigi.pu.go.id>)



III.1.2. Peralatan

Peralatan yang digunakan dalam pengolahan penelitian ini adalah :

1. Laptop dengan spesifikasi *processor* Intel®Core™ i7-1065G7 CPU @1.3GHZ, RAM 16GB sebagai perangkat dalam pembuatan model 3D serta pembuatan laporan penelitian,
2. *Software* pengolah :
 - a. Sistem operasi Windows 10 64-bit;
 - b. Revit 2022 untuk pembuatan model 3D dari data pengukuran leger jalan;
 - c. Autocad 2022 untuk visualisasi gambar leger;
 - d. FZKViewer x64 V 6.5 digunakan sebagai perangkat lunak untuk menampilkan data model 3D yang dapat terintegrasi dengan BIM;
 - e. Office 365 digunakan untuk penyuntingan data dan pembuatan laporan.

III.1.3. Bahan

Penelitian ini hanya menggunakan data hasil pengukuran di lapangan tanpa melakukan pengukuran mandiri. Adapun data yang digunakan pada kegiatan ini adalah :

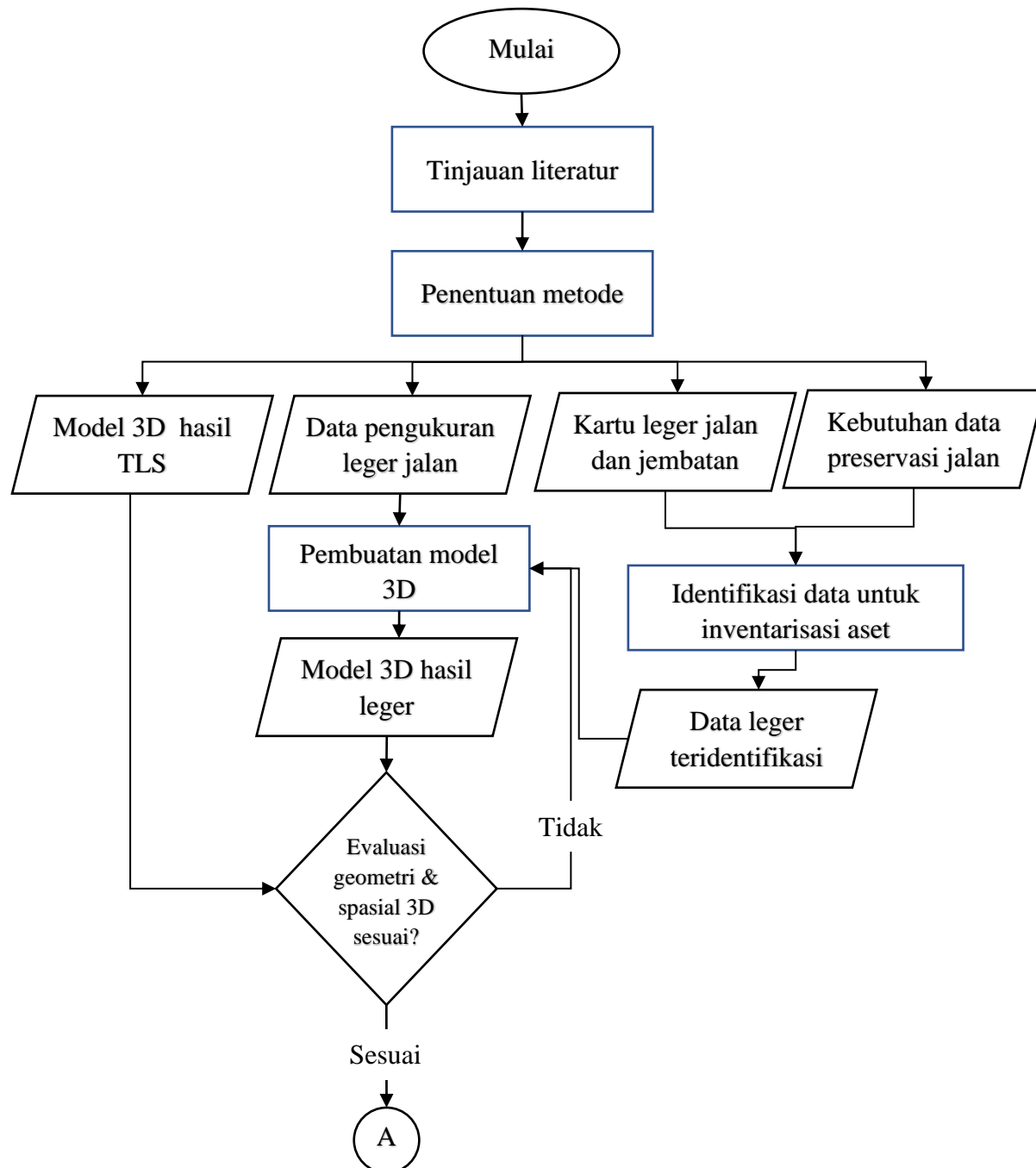
1. Hasil pengukuran leger jalan menggunakan perangkat *Global Navigation Satellite System* (GNSS) pada jalan tol Ujung Pandang Seksi 3 (jalan tol layang A.P Pettarani Makassar) tahun 2020. Hasil pengukuran ini ditampilkan dalam bentuk daftar nama titik dan koordinat.
2. Dokumen leger jalan tol Ujung Pandang Seksi 3 (jalan tol layang A.P Pettarani Makassar) tahun 2020. Dokumen ini terdiri dari gambar leger jalan tol layang AP Pettarani dalam bentuk CAD, PDF kartu leger jalan tol layang AP Pettarani dan PDF kartu leger jembatan AP Pettarani. Penggambaran leger jalan tol layang AP Pettarani ini menggunakan sistem proyeksi UTM Zona 50S;
3. Data modelling 3D hasil pengukuran TLS jalan tol Ujung Pandang Seksi 3 (jalan tol layang A.P Pettarani Makassar) tahun 2020 dengan kerapatan titik pemodelan 3 mm - 6 mm.

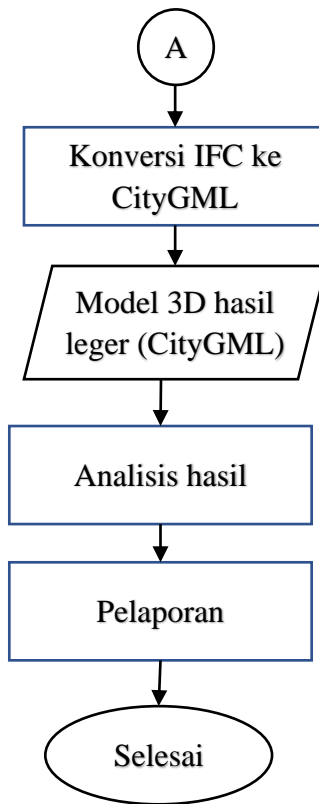
Penelitian ini menggunakan data leger jalan nasional tol dengan pertimbangan tingkat kompleksitas jalan nasional tol lebih tinggi dibandingkan dengan jalan nasional non-tol. Selain itu ketersediaan model 3D pembanding merupakan salah satu pertimbangan penggunaan data leger jalan tol Ujung Pandang Seksi 3 (jalan tol layang AP. Pettarani Makassar) pada penelitian ini.



III.2. Pelaksanaan

Tahapan pelaksanaan kegiatan ini terbagi menjadi 2 tahapan utama, yaitu sinkronisasi kebutuhan data preservasi jalan yang dapat dipenuhi oleh data leger jalan dan pembuatan model 3D berdasarkan data leger jalan. Data yang akan dilakukan uji kualitasnya adalah data konstruksi jalan yang ada pada gambar teknis leger jalan. Adapun tahapan pelaksanaan digambarkan pada diagram alir sesuai pada Gambar III.2.





Gambar III.2 Diagram alir

Pelaksanaan kegiatan ini meliputi 3 kegiatan besar, yaitu persiapan, pemodelan 3D jalan tol layang, dan konversi model 3D dari IFC ke CityGM. Identifikasi data leger jalan menghasilkan data-data yang digunakan untuk memodelkan jalan tol layang AP Pettarani secara 3D beserta parameter non-spasialnya. Data dimensi dan koordinat digunakan untuk membuat model 3D serta mereferensikan model 3D yang terbentuk dalam sistem koordinat UTM Zona 50S. Parameter non-spasial digunakan sebagai data atribut tambahan yang berguna dalam tahapan preservasi jalan. Setelah model 3D dan parameternya terbentuk maka dilakukan evaluasi model 3D yang terbentuk terhadap model 3D yang sudah ada yaitu hasil dari pengukuran TLS. Model 3D hasil pengukuran TLS dianggap sebagai bentuk model yang benar, sedangkan koordinat model 3D tetap mengacu pada data pada dokumen leger jalan.

Model 3D yang terbentuk dari data leger dapat digunakan sebagai *input* pada BIM sehingga format model 3D yang terbentuk perlu disesuaikan dengan format standar BIM yaitu IFC. Untuk dapat diintegrasikan dalam format data yang dikenali dalam 3D GIS, maka model 3D ini perlu dikonversi ke dalam format CityGML. Hasil konversi ini kemudian dianalisis untuk melihat perubahan data dari format IFC ke format CityGML.

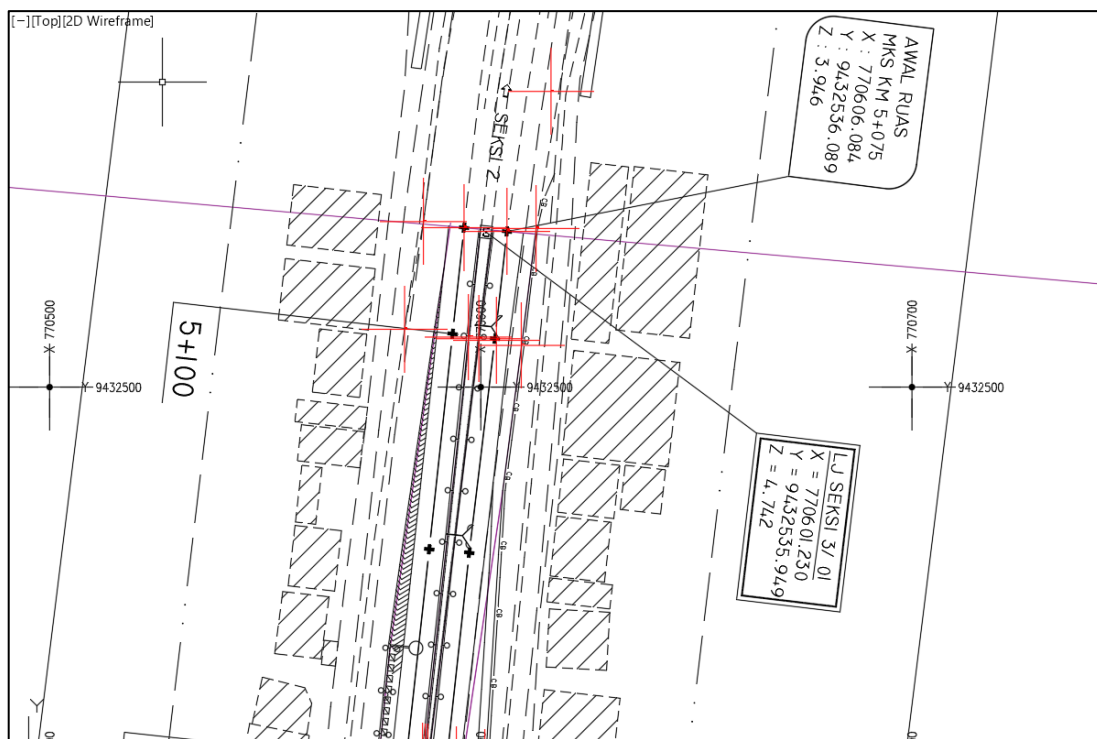


III.1.1 Identifikasi data leger jalan

Data leger jalan yang digunakan dalam penelitian ini adalah data leger jalan tol layang AP Pettarani yang diukur pada tahun 2020. Dalam dokumen leger jalan terdapat data spasial dan data non spasial. Data leger jalan yang dapat digunakan untuk kegiatan preservasi jalan, antara lain adalah data lokasi jalan, dimensi jalan serta kondisi jalan. Data lokasi jalan meliputi data koordinat jalan yang berupa data awal ruas dan akhir ruas jalan. Data dimensi jalan meliputi panjang jalan, lebar jalan serta elevasi jalan. Sedangkan untuk inventori aset jalan dibutuhkan pula data jumlah atribut jalan seperti lampu penerangan jalan.

III.6.1.1 Data Spasial

Data spasial pada leger jalan merupakan data koordinat tiap titik hasil pengukuran. Data tersebut ditampilkan dalam bentuk gambar situasi leger jalan dalam format *dwg. Koordinat titik-titik pengukuran dipilih untuk mewakili koordinat dan elevasi sepanjang trase ruas jalan tol layang AP Pettarani. Potongan situasi dan *plotting* titik koordinat ditunjukkan pada Gambar III.3.



Gambar III.3 Tampilan situasi dan titik pengukuran pada AutoCAD

III.6.1.2 Data non spasial

Data non spasial yang ada pada dokumen leger antara lain adalah data lapis pekerasan seperti lebar, tebal, jenis perkerasan serta kondisi bangunan jalan. Data non spasial lainnya



adalah jumlah lampu penerangan jalan serta panjang pagar pengaman. Data inventori jalan didapatkan dari lembar numerik leger jalan ditunjukan pada Gambar III.4. Pada bagian (a) Gambar III.4 menunjukan dimensi, jenis dan kondisi konstruksi jalan, sedangkan bagian (b) Gambar III.4 menunjukan jumlah dan panjang perlengkapan jalan. Selanjutnya data non spasial disimpan dalam tabel parameter pada revit untuk melengkapi model data 3D yang terbentuk. Contoh tabel parameter yang dapat diisi pada Revit ditunjukan pada Tabel III.1. Data dimensi jalan tol Ujung Pandang Seksi 3 (jalan tol layang A.P Pettarani Makassar) didapatkan dari dokumen leger jalan yang mengacu pada *As Built Drawing* jalan tol layang AP Pettarani.

| URAIAN KONSTRUKSI | ASAL TAHUN : 2020 | | | | | | | |
|--|-----------------------------------|-----------------------------------|-----------------------------------|-----------------------------------|---------------------------------------|---------|----------------------------|----------------------------|
| | JALUR KI | | | | JALUR KA | | | |
| | LAJUR 1 | LAJUR 2 | LAJUR 3 | LAJUR 4 | LAJUR 4 | LAJUR 3 | LAJUR 2 | LAJUR 1 |
| A. LAPIS PERMUKAAN : LEBAR (M) TEBAL (M) JENIS KONDISI INDEKS KONDISI/IRI | 3.59 0.05 AC-WC B | 3.50 0.05 AC-WC B | - - | - - | - - | - - | 3.79 0.05 AC-WC B | 3.64 0.05 AC-WC B |
| B. LAP. PONDASI ATAS : LEBAR (M) TEBAL (M) JENIS | 3.59 0.20 BTN | 3.50 0.20 BTN | - - | - - | - - | - - | 3.79 0.20 BTN | 3.64 0.20 BTN |
| C. LAP. PONDASI BAWAH : LEBAR (M) TEBAL (M) JENIS | - - | - - | - - | - - | - - | - - | - - | - - |
| D. MEDIAN : LEBAR (M) TINGGI (M) JENIS KONDISI | | | | | 1.00 1.30 CONCRETE BARRIER B | | | |
| E. BAHU JALAN : LEBAR (M) TEBAL (M) JENIS POSISI KONDISI | 2.00 0.05 AC-WC DTR B | 0.50 0.05 AC-WC DTR B | 0.50 0.05 AC-WC DTR B | 2.00 0.05 AC-WC DTR B | | | | |

(a). Data Teknik 2

| URAIAN PERLENGKAPAN JALAN | ASAL / TAHUN 2020 | | |
|--|---------------------|------------------------|----------------|
| | KI | MD | KA |
| A. PAGAR PENGAMAN - GUARDRAIL (BH/M) - WIRE ROPE (BH/M) - CONCRETE BARRIER (BH/M) | - - 2/414.219 | 1/471.678 2/375.062 | - 1/327.226 |
| B. PAGAR BATAS OPERASIONAL (BH/M) | 2/457.742 | - | 1/234.094 |
| C. DINDING PENGAMAN (BH/M) | - | - | - |
| D. PATOK PEMANDU (BH) | - | - | - |
| E. PATOK KILOMETER (BH) | - | - | - |
| F. PATOK HEKTOMETER (BH) | - | 2 | - |
| G. PATOK LEGER JALAN (BH) | - | 1 | - |
| H. PATOK RUMIJA (BH) | - | - | - |
| I. MARKA JALAN (BH/M) | 3/I203.538 | - | 3/I264.831 |
| J. RAMBU LALU LINTAS (BH) | 3 | - | 4 |
| K. RAMBU PETUNJUK ARAH (BH) | 1 | - | - |
| L. LAMPU LALU LINTAS (BH) | 1 | - | 1 |
| M. LAMPU PENERANGAN (BH) | - | 18 | - |
| N. JEMBATAN PENYEBRANGAN ORANG (BH/M) | - | - | - |
| O. CERMIN JALAN (BH) | - | - | - |
| P. CCTV (BH) | - | - | - |
| Q. VARIABLE MESSAGE SIGN (BH) | - | - | - |
| R. REFLEKTOR GUARDRAIL (BH) | 15 | 70 | 44 |
| S. INFO TOL (BH) | - | - | - |
| T. ANTI SILAU (BH) | - | - | - |
| U. MANIK JALAN / MATA KUCING (BH) | - | - | - |
| V. INLET (BH) | 32 | - | 87 |

(b) Data teknik 4

Gambar III.4 Data non spasial pada dokumen leger

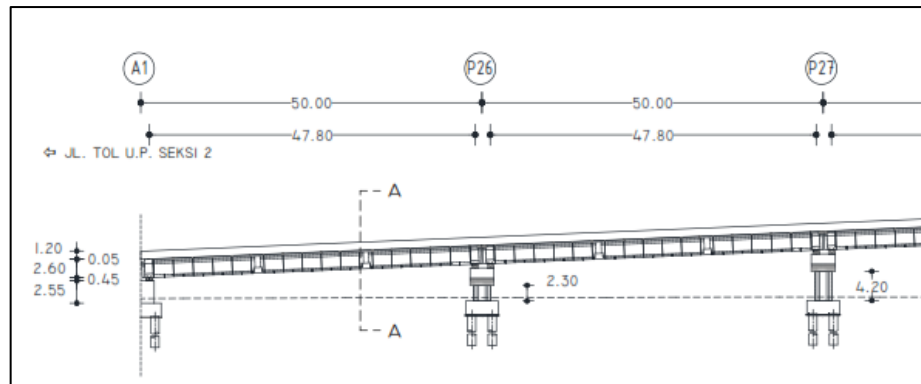


Tabel III.1 Contoh tabel parameter pada Revit

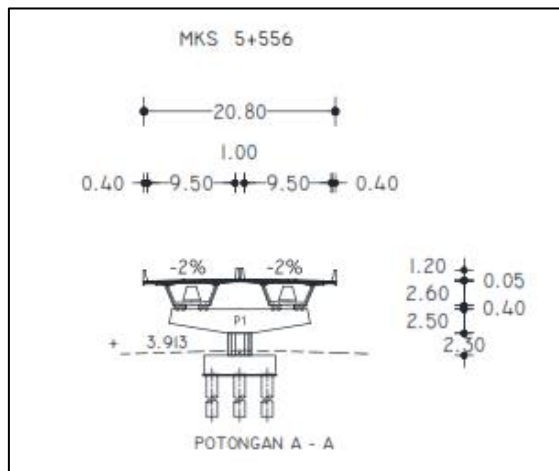
| Structural Column Schedule | | | | |
|----------------------------|-------------|-----------------------|----------|---------|
| Family | Description | Volume | Material | Kondisi |
| Aspal P30P31 | Aspal | 51.5m ³ | Aspal | Baik |
| Aspal P31P32 | Aspal | 51.5m ³ | Aspal | Baik |
| Aspal P32P33 | Aspal | 41.2m ³ | Aspal | Baik |
| Aspal P33P34 | Aspal | 51.5m ³ | Aspal | Baik |
| Aspal P34P35 | Aspal | 51.5m ³ | Aspal | Baik |
| Box P28P29 | Box Girder | 962.02m ³ | Beton | Baik |
| Box P29P30 | Box Girder | 1071.41m ³ | Beton | Baik |
| Box P30P31 | Box Girder | 963.98m ³ | Beton | Baik |
| Box P31P32 | Box Girder | 958.19m ³ | Beton | Baik |
| Box P32P33 | Box Girder | 766.55m ³ | Beton | Baik |
| P26 | Pier | 120.84m ³ | Beton | Baik |
| P27 | Pier | 132.3m ³ | Beton | Baik |
| P28 | Pier | 144.7m ³ | Beton | Baik |
| P29 | Pier | 156.46m ³ | Beton | Baik |
| P30 | Pier | 169.58m ³ | Beton | Baik |

III.1.2 Pembuatan Model 3D Dari Data Pengukuran Leger

Pembuatan model 3D menggunakan perangkat lunak Revit 2022. Pembuatan model 3D jalan tol Ujung Pandang Seksi 3 (jalan tol layang A.P Pettarani Makassar) meliputi pembuatan model 3D struktur jalan beton dan lapisan aspal serta struktur tiang penyangga. Dimensi tiang penyangga didapatkan dari buku leger jembatan yang berdasar pada *as built drawing*. Sedangkan untuk panjang setiap bentang menyesuaikan lokasi antar tiang penyangga. Penampang melintang dan memanjang pada jalan tol Ujung Pandang Seksi 3 (jalan tol layang A.P Pettarani Makassar) ditunjukan pada Gambar III.5 dan Gambar III.6. Pada penampang memanjang melintang, panjang setiap bentang kontruksi beton ditunjukan dengan garis horizontal kedua dari atas. Garis horizontal paling atas pada Gambar III.5 menunjukan panjang perkerasan aspal setiap bentangnya. Segmen garis vertikal yang ditunjukan pada Gambar III.5 dan Gambar III.6 menunjukan dimensi tinggi dari konstruksi tiang pancang, kepala tiang pancang, bantalan tiang pancang, ketebalan konstruksi beton, ketebalan lapisan aspal serta tinggi beton pengaman samping (*guardrail*).

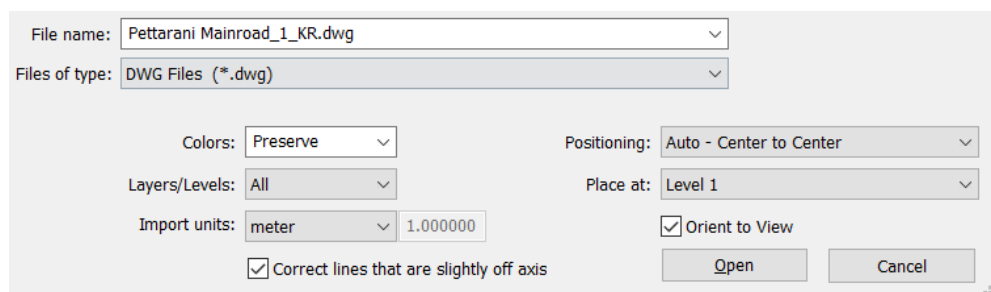


Gambar III.5 Penampang memanjang pada konstruksi jalan tol layang AP Pettarani



Gambar III.6. Penampang melintang pada konstruksi jalan tol layang AP Pettarani

Pembuatan model 3D diawali dengan memasukan gambar situasi dalam bentuk CAD pada perangkat lunak Revit sebagai dasar trase jalan. Pengaturan satuan ukuran yang digunakan serta posisi origin pada perangkat lunak Revit diatur dengan *placement* situasi ada pada level 1. Pengaturan posisi serta satuan yang digunakan dalam pembuatan model 3D ditampilkan pada Gambar III.7.

Gambar III.7 Pengaturan *import file CAD*

Setelah dilakukan *import CAD* langkah selanjutnya adalah menentukan lokasi tiang pancang sesuai dengan STA yang tertera pada dokumen leger. Hal ini dilakukan karena data



koordinat dasar tiang pancang tidak tersedia. Data koordinat yang tersedia adalah titik-titik koordinat di atas jalan tol layang AP Pettarani. Elevasi dasar bangunan dihitung dengan cara mengurangi elevasi pada permukaan jalan tol layang dengan tinggi bangunan yang terdiri dari tebal lapisan aspal, tebal *girder* dan tinggi tiang pancang.

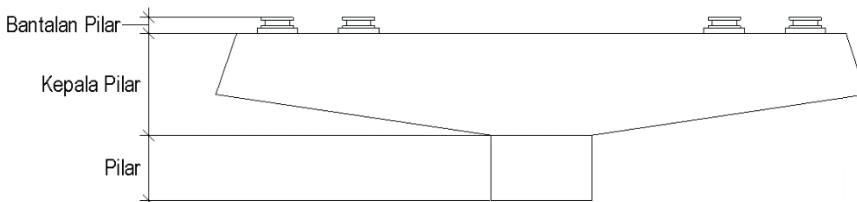
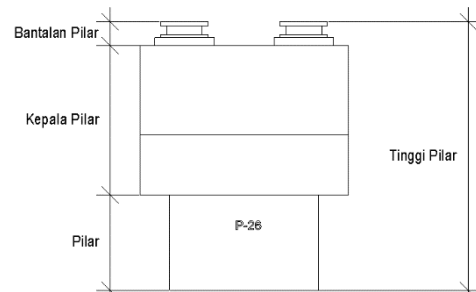
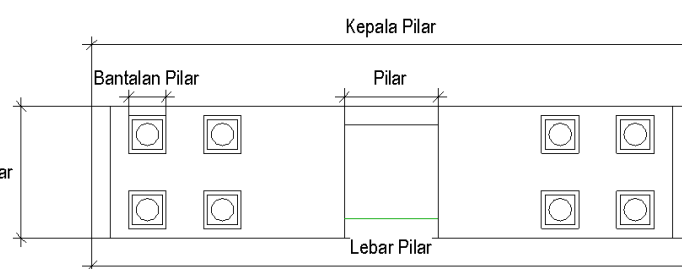
Model 3D jalan tol layang AP Pettarani (Tol Ujung Pandang Seksi 3) dibangun berdasarkan data-data dimensi jalan seperti ditunjukkan pada Gambar III.5 dan Gambar III.6. Pemodelan 3D jalan tol layang AP Pettarani dibangun pada 3 kategori *families* yaitu *structural column*, *column* dan *furniture* yang kemudian *di-plot* pada *project* dalam perangkat lunak Revit. Tiang pancang, *girder* dan lapisan aspal dimasukan dalam *families structural column* agar dapat dihitung volume bangunannya. Pengaman jalan seperti tembok pengaman, *guardrail* dan *concretae barrier* dimasukan dalam kategori *column* karena kebutuhan data sekundernya adalah perhitungan jumlah pengaman jalan. Atribut jalan lainnya seperti lampu dan rambu dimasukan ke dalam kategori *furniture*.

Terdapat dua jenis tiang pancang dalam pemodelan 3D tiang pancang pada jalan tol AP Pettarani, yaitu bentuk *pier* dengan 1 tiang dan *pile slab*. *Pier* terdiri dari sebuah tiang yang menyangga kepala tiang dan bantalan tiang di atasnya. Elevasi dasar tiang disesuaikan dengan data pada kartu leger jalan dan jembatan. Tinggi tiang, tebal kepala tiang serta tebal bantalan juga mengacu pada kartu leger jalan dan jembatan yang mana memiliki nilai yang berbeda-beda untuk setiap tiangnya. Oleh karenanya pemodelan tiang pancang ini tidak dapat disimpan dalam satu nama *family* yang sama. Sama seperti pemodelan 3D *pier*, pemodelan 3D untuk *pile slab* juga tidak disimpan dalam satu nama *family*. Nama *family* disesuaikan dengan urutan *pile slab*. *Pile slab* terdiri dari tiang penyangga dan kepala tiang tanpa bantalan.

Bagian-bagian *pier* dan pengukuran dimensi tiang pancang ditampilkan pada Tabel III.2. Luasan tapak bawah *pier* berkisar antara 2 m x 2 m hingga 3,5 m x 3,5 m dengan tinggi yang bervariasi. Variasi bentuk kepala tiang dan bantalan tiang mengacu pada model 3D hasil pengukuran TLS. Terdapat 2 variasi tebal kepala pilar yaitu 2,5m untuk pilar jalan utama dan 1,5m untuk kepala pilar *ramp*.

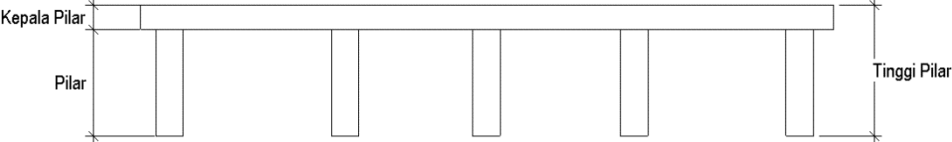
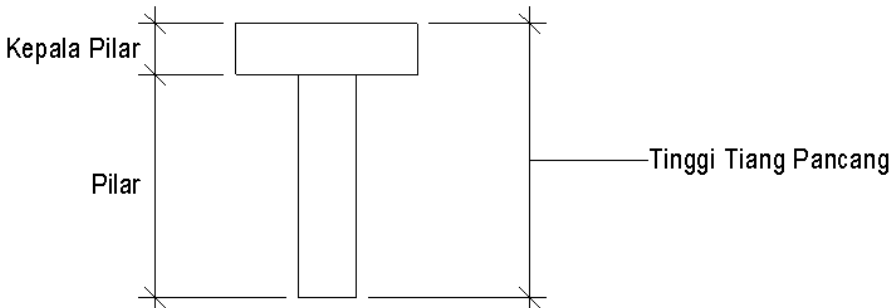
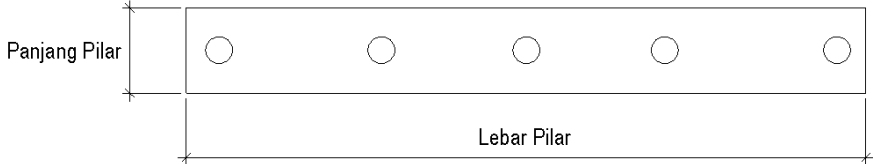


Tabel III.2 Bagian-bagian *pier* dan pengukuran dimensinya

| Pengukuran Dimensi <i>Pier</i> | Keterangan |
|--|----------------|
|  | Tampak Depan |
|  | Tampak Samping |
|  | Tampak Atas |

Bagian-bagian *pile slab* dan pengukuran dimensinya ditampilkan pada Tabel III.3. *Pile slab* memiliki 5 pilar penyangga pada jalan utama dan 2 pilar penyangga pada *ramp*. Tebal kepala pilar pada *pile slab* sekitar 0,7m. Tinggi *pile slab* mengacu pada kartu leger jalan dan jembatan.

Tabel III.3 Bagian-bagian *pile slab* dan pengukuran dimensinya

| Pengukuran Dimensi <i>Pile slab</i> | Keterangan |
|--|----------------|
|  | Tampak Depan |
|  | Tampak Samping |
|  | Tampak Atas |

Pemodelan *girder* juga disimpan dengan nama *family* yang berbeda. Pada jalan tol layang AP Pettarani terdapat 3 jenis *girder* yang dimodelkan yaitu *box girder*, *PC-U girder* dan *plat girder*. Pengukuran dimensi *girder* ditampilkan pada Tabel III.4. *Box girder* memiliki ketebalan *box* yaitu 2,6 m sedangkan *PC-U girder* memiliki ketebalan 1,5 m.

Girder memiliki dimensi lebar 10,2 m masing-masing pada kanan dan kiri jalan utama serta 7,8 m pada *ramp*. Panjang *box girder* dan *plat girder* menyesuaikan jarak dan ketinggian antar tiang pancang. *Plat girder* memiliki ketebalan 0,35 m. Pada model 3D *girder* dibuat kemiringan sebesar 2% dari lebar *girder* ke arah kanan dan/atau ke kiri.



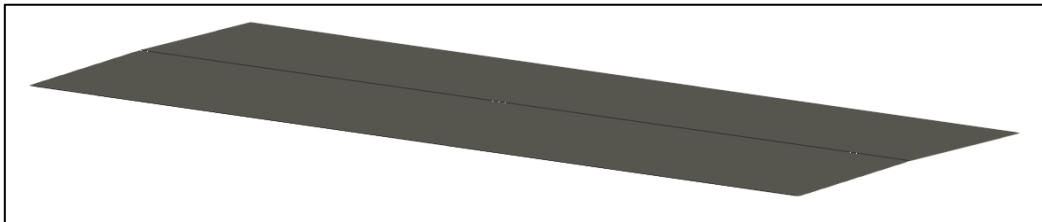
Tabel III.4 Dimensi Girder

| Kenampakan Girder | Keterangan |
|--|----------------|
| <p>Kemiringan Girder Panjang Girder Tebal Girder</p> | Tampak Depan |
| <p>Lebar Box Girder 2% Tebal PC-U Girder Lebar PC-U Girder 2% Tebal PC-U Girder Tebal Plat Girder Lebar Girder</p> | Tampak Samping |
| <p>Panjang Girder Lebar Girder</p> | Tampak Atas |

Lapisan aspal dimodelkan dengan ketebalan yang sama yaitu 0.05m. Lapisan aspal berada di atas *girder* sehingga nilai elevasi Panjang dan ketinggian aspal bervariasi sesuai dengan panjang dan tinggi *girder* di bawahnya. Kemiringan aspal kanan dan kiri dibuat sesuai dengan data pada dokumen leger yaitu sekitar 2%. Lebar lapisan aspal sama dengan lebar

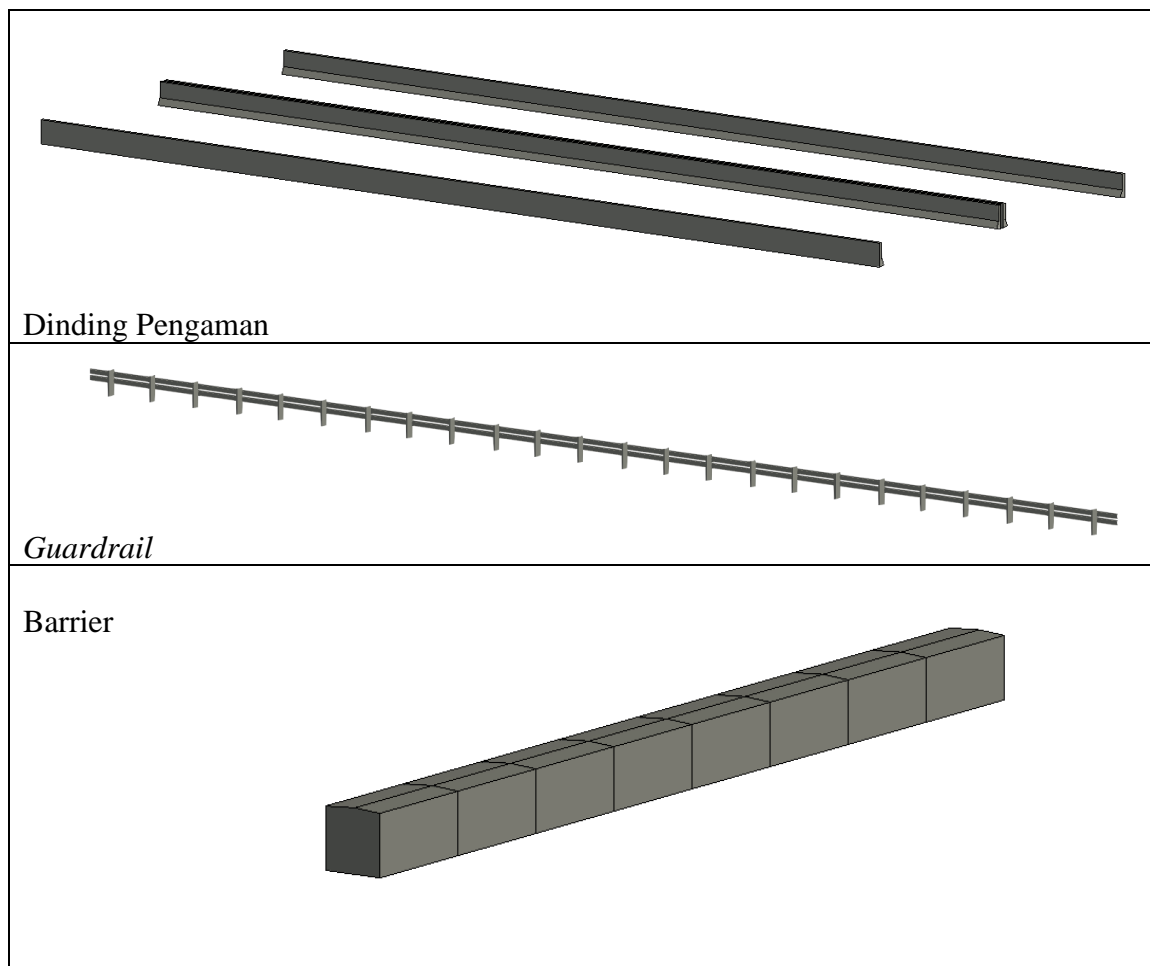


girder yaitu 10,2 m kanan dan kiri pada jalan utama serta pada *ramp* bervariasi antara 7,8 m hingga 8,4 m.



Gambar III.8 Contoh lapisan aspal

Pemodelan 3D pengaman jalan dikelompokan dalam *families column* karena hanya dibutuhkan perhitungan jumlahnya saja. Pengaman jalan pada pemodelan ini terdiri dari 3 jenis yaitu dinding pengaman, *barrier* dan *guardrail*. Tampilan dinding pengaman, *barrier* dan *guardrail* tersaji pada Gambar III.9.



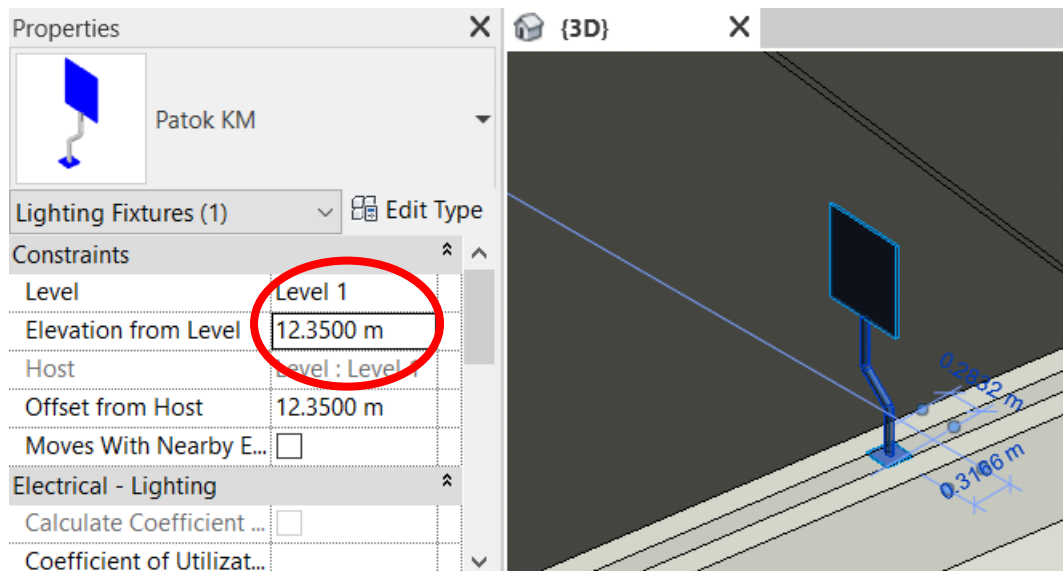
Gambar III.9 Jenis-jenis pengaman jalan



Dinding pengaman dimodelkan dengan bentuk yang sama dengan ketinggian dinding 1,2m. Elevasi model 3D dinding pengaman ditempatkan mengikuti lapisan aspal di bawahnya. Dinding pengaman diletakan pada kanan dan kiri jalan serta pada median jalan.

Guardrail dimodelkan dengan 2 tiang horizontal yang dihubungkan dengan tiang vertikal setiap 1,5 m dengan ketinggian 1 m. *Guardrail* ini tempatkan pada median awal ruas sebagai pemisah jalur kiri dan jalur kanan. Elevasi *guardrail* mengikuti elevasi lapisan aspal di bawahnya.

Atribut jalan yang dimodelkan pada kegiatan ini adalah lampu jalan dan rambu. Lampu jalan dikelompokan ke dalam *families lighting fixtures* dan rambu dikelompokan ke dalam *furniture*. Berbeda dengan yang lainnya lampu dan rambu ini disimpan dalam satu *families* yang sama untuk nantinya ditampilkan berulang pada modeling jalan 3D. Pembuatan *family* lampu dan rambu dilakukan pada elevasi awal 0. Elevasi rambu dan lampu pada *project* disesuaikan dengan ketinggian jalan dimana lampu atau rambu tersebut diletakan. Pada Gambar III.10 elevasi rambu diisikan pada *constraints elevation from level* dengan nilai 12,35m sesuai dengan puncak ketinggian dinding pengaman di titik itu. Rambu dan lampu dipasang pada median jalan tepatnya diantara dinding pemisah jalur kiri dan jalur kanan.



Gambar III.10. Pengisian nilai elevasi rambu

Setelah semua model 3D terbentuk dan trase jalan terbentuk kemudian dilakukan input koordinat pada salah satu titik pada model 3D sebagai referensi koordinat awal. Titik yang digunakan menjadi referensi koordinat adalah titik LJ 1 pada bagian kanan atas yang terdapat



di awal ruas. Setelah titik koordinat referensi dimasukan, perangkat lunak Revit secara otomatis akan membawa model yang telah terbentuk pada *project* ke dalam satu referensi tersebut.

III.1.3 Uji Kualitas Model 3D

Model 3D yang dibangun dari data leger jalan diuji kualitas modelnya dengan tujuan model 3D memiliki nilai ukuran dan koordinat yang sesuai dengan objek di lapangan. Pengujian kualitas dimensi model dilakukan dengan membandingkan ukuran volume tiang pancang hasil modeling 3D dari dokumen leger dengan tiang pancang pada model 3D dari pengukuran TLS yang dianggap memiliki dimensi yang benar. Sedangkan akurasi posisi dilakukan dengan membandingkan koordinat titik-titik pengukuran leger dengan koordinat modeling 3D.

III.6.3.1 Kualitas Geometri Model 3D

Pengujian kualitas geometri dilakukan terhadap 73 pilar pada jalan utama. Pengujian ini dilakukan terhadap data model 3D hasil pengukuran TLS. Data volume didapatkan dari *structural column schedule* yang terdapat pada perangkat lunak Revit. Perangkat lunak Revit dapat secara otomatis menghitung volume families dari model 3D yang dibentuk apabila bangunan tersebut dikelompokan dalam famili *structural column*. Volume yang sudah ditampilkan pada *structural column schedule* kemudian diimpor ke dalam format *.csv untuk kemudian dilakukan hitungan nilai RMSE dan simpangan baku.

Nilai RMSE adalah rata-rata selisih nilai data yang dianggap benar dengan nilai hasil pemodelan. Data volume yang dianggap benar dalam kegiatan ini adalah data pemodelan 3D hasil penukuran TLS. Nilai RMSE dihitung dengan menggunakan rumus (II.1). Nilai simpangan baku merupakan nilai perkiraan kesalahan data ukuran terhadap rata-rata data. Nilai simpangan baku digunakan untuk menentukan variasi atau persebaran data sampel. Bilai simpangan baku dihitung dengan rumus (II.2).

Selain RMSE dan simpangan baku dilakukan juga uji hipotesis terhadap tingkat kepercayaan data menggunakan uji Z dengan tingkat kepercayaan 95%. Pengujian ini dilakukan untuk melihat apakah model 3D yang dihasilkan memiliki perbedaan yang signifikan terhadap volume model 3D dari TLS dan koordinat dari hasil leger. Pengujian ini menggunakan dilakukan dengan menggunakan rumus (II.4) dimana nilai Z tabel pada tingkat kepercayaan 95% adalah senilai 1.96



III.6.3.2 Akurasi posisi Model 3D

Pengujian akurasi posisi model dilakukan terhadap titik-titik koordinat pengukuran leger menggunakan GNSS yang dianggap sebagai koordinat yang benar. Titik uji terdiri dari titik IJ 1 dan L2 sebagai *benchmark* dari pengukuran leger, titik awal dan akhir ruas serta titik-titik STA KM sejumlah 42 titik.

Pengujian akurasi posisi model 3D dilakukan juga dengan menghitung nilai RMSE koordinat X, Y dan Z pada model 3D dari dokumen leger dan pada koordinat 3D hasil pengukuran leger jalan. Nilai RMSE koordinat dihitung juga dengan menggunakan rumus (II.1). Nilai variasi data sampel koordinat model 3D dihitung juga dengan menggunakan rumus (II.2).

Pengujian terhadap penerimaan data koordinat hasil pemodelan juga dilakukan dengan menggunakan rumus (II.4). Uji Z yang digunakan sama dengan uji Z pada kualitas geometrik dimana dilakukan terhadap masing-masing parameter yaitu X, Y dan Z. Tingkat kepercayaan yang digunakan dalam uji Z ini adalah senilai 95% dimana H_0 diterima apabila nilai $-Z_{\alpha/2} < Z_0 < Z_{\alpha/2}$.

III.1.4 Konversi dan analisis model IFC ke CityGML

Konversi model 3D dari IFC ke City GML dilakukan sebagai bentuk integrasi BIM dan 3D GIS. Konversi yang dilakukan pada penelitian ini lebih terfokus kepada geometrik bangunan jalan semantiknya. Format data IFC yang digunakan adalah IFC 2 x 3 dan LOD pada CityGML yang digunakan adalah LOD 4.

Sebelum melakukan konversi model 3D IFC ke City GML, terlebih dahulu perlu dilakukan *export* terhadap *project* Revit dengan format *.rvt ke dalam format IFC. *Export project* Revit ke dalam format IFC dilakukan pada perangkat lunak Revit. Selanjutnya dengan menggunakan perangkat lunak FZKViewer model 3D dengan format IFC konversi ke dalam bentuk CityGML. Penggunaan perangkat lunak FZKViewer sebagai perangkat lunak untuk mengonversi mengacu pada hasil penelitian sebelumnya yang dilakukan Putra (2022) yang menyatakan bahwa CityGML hasil konversi dari FZK memiliki atribut yang lebih lengkap daripada CityGML hasil konversi perangkat lunak lainnya yang dibandingkan dalam penelitian tersebut.



Untuk menampilkan model 3D dalam format IFC perangkat lunak FZKViewer akan meminta identifikasi rereferensi spasial yang digunakan. Model 3D jalan tol layang AP Pettarani berada di Sulawesi Selatan sehingga menggunakan referensi spasial EPSG 32750 atau UTM Zona 50S. Penggunaan referensi spasial ini sudah sama dengan referensi koordinat yang diinputkan sebagai titik referensi model 3D.

Analisis hasil konversi IFC ke CityGML digunakan untuk mengetahui seberapa jauh perubahan yang terjadi apabila model 3D yang berbasis pada standard data BIM diubah menjadi standard data GIS. Analisis yang digunakan adalah membandingkan volume *pier* yang dihitung oleh perangkat lunak Revit dengan volume model 3D dalam format CityGML yang dihitung oleh perangkat lunak FZKViewer. Selain perbandingan perhitungan volume, analisis hasil konversi juga dilakukan untuk elemen yang dibawa dari format data IFC dan ditampilkan dalam format CityGML.



BAB IV

HASIL DAN PEMBAHASAN

IV.1 Hasil Identifikasi Data Leger Jalan

Dokumen leger jalan terdiri dari dokumen fisik dan dokumen digital berupa *softcopy* dari dokumen fisik dalam format PDF serta *softcopy* penggambaran leger jalan dalam format CAD dan *shapefile*. Selain penggambaran leger dalam 2D, dokumen leger jalan tol layang AP Pettarani juga dilengkapi dengan pemodelan 3D dalam format *.rvt. Model 3D pada dokumen leger jalan tol layang AP Pettarni merupakan hasil pengukuran menggunakan TLS.

Pada penelitian ini data yang digunakan sebagai *input* data pembuatan model 3D jalan adalah kartu leger jalan dan jembatan dalam format PDF dan gambar 2D leger jalan dalam format CAD. Sedangkan pemodelan 3D hasil pengukuran TLS digunakan sebagai pembanding model 3D yang dibentuk dari data kartu leger jalan dan jembatan.

Data leger jalan yang dapat digunakan untuk mendukung inventarisasi aset jalan adalah adalah data lokasi yang ditunjukan dengan koordinat beserta sistem koordinatnya. Jalan tol layang AP Pettarani berlokasi di Makassar, Sulawesi Selatan. Sistem proyeksi yang digunakan pada penggambaran 2D leger jalan adalah UTM zona 50S. Titik referensi yang digunakan dalam penggambaran 2D leger jalan adalah patok leger yang memiliki fungsi yang sama dengan *bench mark*. Pada jalan tol layang AP Pettarani terdapat 2 titik leger jalan, yaitu LJ1 dan LJ2. Titik LJ1 digunakan untuk mengikat model 3D dari data leger jalan ke sistem referensi UTM Zona 50S.

Untuk memvalidasi koordinat hasil pemodelan 3D diperlukan koordinat hasil pengukuran leger jalan pada titik yang lain. Titik-titik koordinat yang dijadikan pembanding koordinat model 3D hasil leger jalan adalah titik awal ruas, titik akhir ruas, titik LJ2 serta titik-titik STA per-100 m dari data pengukuran leger jalan. Adapun tabel titik-titik koordinat hasil pengukuran leger jalan yang digunakan sebagai referensi dan pembanding hasil modeling 3D tersaji dalam Tabel IV.1.



Tabel IV.1 Koordinat pengukuran leger

| Nama STA | X | Y | Z |
|-----------|------------|-------------|--------|
| LJ 1 | 770601.23 | 9432535.949 | 4.742 |
| Awal Ruas | 770606.084 | 9432536.089 | 3.946 |
| KM 5+100 | 770603.621 | 9432510.847 | 3.914 |
| KM 5+200 | 770586.515 | 9432412.06 | 4.063 |
| KM 5+300 | 770576.284 | 9432312.421 | 3.923 |
| KM 5+400 | 770565.811 | 9432213.357 | 5.542 |
| KM 5+500 | 770560.582 | 9432113.445 | 9.323 |
| KM 5+600 | 770544.493 | 9432014.467 | 13.469 |
| KM 5+700 | 770533.094 | 9431915.155 | 17.472 |
| KM 5+800 | 770520.069 | 9431817.969 | 21.98 |
| KM 5+900 | 770500.586 | 9431718.132 | 23.41 |
| KM 6+000 | 770487.578 | 9431620.574 | 23.651 |
| KM 6+100 | 770467.682 | 9431520.686 | 21.132 |
| KM 6+200 | 770448.587 | 9431423.527 | 19.315 |
| KM 6+300 | 770428.507 | 9431324.48 | 15.231 |
| KM 6+400 | 770409.446 | 9431227.154 | 14.729 |
| KM 6+500 | 770389.21 | 9431128.416 | 13.567 |
| KM 6+600 | 770371.664 | 9431030.808 | 14.964 |
| KM 6+700 | 770358.988 | 9430930.951 | 14.503 |
| KM 6+800 | 770337.302 | 9430833.063 | 14.449 |
| KM 6+900 | 770325.421 | 9430733.5 | 15.078 |
| KM 7+000 | 770304.383 | 9430636.637 | 16.171 |
| KM 7+100 | 770286.96 | 9430537.301 | 15.372 |
| KM 7+200 | 770270.22 | 9430434.276 | 16.644 |
| KM 7+300 | 770256.383 | 9430339.589 | 15.936 |
| KM 7+400 | 770242.38 | 9430237.013 | 17.363 |
| KM 7+500 | 770270.875 | 9430337.188 | 16.554 |
| KM 7+600 | 770228.415 | 9430141.268 | 16.758 |
| KM 7+700 | 770214.613 | 9430042.223 | 16.567 |
| KM 7+800 | 770187.313 | 9429840.235 | 17.392 |
| KM 7+900 | 769949.367 | 9428567.591 | 15.863 |
| KM 8+000 | 770200.568 | 9429943.285 | 15.625 |
| KM 8+100 | 770170.056 | 9429644.671 | 15.269 |
| KM 8+200 | 770155.667 | 9429545.426 | 15.992 |
| KM 8+300 | 770135.273 | 9429445.347 | 14.813 |
| KM 8+400 | 770176.378 | 9429744.828 | 15.005 |



| Nama STA | X | Y | Z |
|------------|------------|-------------|--------|
| KM 8+500 | 770097.617 | 9429149.514 | 15.369 |
| KM 8+600 | 770080.237 | 9429050.973 | 15.665 |
| KM 8+700 | 770053.567 | 9428954.051 | 15.909 |
| KM 8+800 | 770027.426 | 9428854.106 | 17.301 |
| KM 8+900 | 769998.254 | 9428761.827 | 16.199 |
| KM 9+000 | 769967.082 | 9428663.65 | 17.068 |
| KM 9+100 | 770120.385 | 9429348.653 | 15.453 |
| Akhir Ruas | 769942.561 | 9428565.934 | 15.406 |
| LJ 2 | 769865.599 | 9428258.082 | 4.774 |

Data lainnya yang diperoleh dari kartu jalan dan jembatan dalam dokumen leger yang mendukung inventarisasi aset jalan adalah data dimensi. Dimensi yang didapatkan dari kartu jalan dan jembatan jalan tol layang AP Pettarani adalah ketinggian tiang pancang, ketebalan kepala tiang, tebal bantalan, tebal aspal serta ketinggian dinding pengaman. Ukuran tapak tiang pancang tidak terdapat pada kartu leger jalan dan jembatan. Hal serupa juga dilakukan untuk ukuran panjang dan lebar kepala tiang. Dalam pemodelan 3D ukuran-ukuran yang tidak terdapat di kartu leger menggunakan perkiraan ukuran dengan mencontoh salah satu ukuran pada model 3D TLS. Hasil ekstraksi dimensi tiang pancang jalan tol layang AP Pettarani dari dokumen leger jalan ditunjukkan pada LAMPIRAN A.

Model 3D hasil pengukuran TLS disimpan dalam format *project* pada *software* Revit. Model 3D hasil pengukuran TLS disajikan dalam beberapa kategori *family* yaitu *Structural Column*, *Plumbing Fixtures*, *Furniture*, dan *Lighting Fixtures*. Rincian klasifikasi model 3D hasil pengukuran TLS tersaji pada Tabel IV.2.

Tabel IV.2 Klasifikasi model 3D hasil pengukuran TLS

| Model 3D | Kategori <i>family</i> | <i>OmniClass Title</i> | <i>OmniClass Number</i> |
|-----------------|---------------------------|------------------------|-------------------------|
| Asphalt | <i>Structural Columns</i> | <i>Columns</i> | 23.25.30.11.14.11 |
| Barrier | <i>Structural Columns</i> | <i>Columns</i> | 23.25.30.11.14.11 |
| Bench Mark | <i>Structural Columns</i> | <i>Columns</i> | 23.25.30.11.14.11 |
| Expansion Joint | <i>Structural Columns</i> | <i>Columns</i> | 23.25.30.11.14.11 |
| Girder | <i>Structural Columns</i> | <i>Columns</i> | 23.25.30.11.14.11 |
| JPO | <i>Structural Columns</i> | <i>Columns</i> | 23.25.30.11.14.11 |
| Land Road | <i>Structural Columns</i> | <i>Columns</i> | 23.25.30.11.14.11 |
| Parapet | <i>Structural Columns</i> | <i>Columns</i> | 23.25.30.11.14.11 |



Lanjutan Tabel IV.2

| Model 3D | Kategori family | OmniClass Title | OmniClass Number |
|--------------|--------------------|---|-------------------|
| Pier | Structural Columns | Columns | 23.25.30.11.14.11 |
| Drain | Plumbig Fixtures | Sanitary, Laundry, and Cleaning Equipment | 23.45.00.00 |
| Drain System | Plumbig Fixtures | Sanitary, Laundry, and Cleaning Equipment | 23.45.00.00 |
| Grill Drain | Plumbig Fixtures | Sanitary, Laundry, and Cleaning Equipment | 23.45.00.00 |
| Reflector | Furniture | General Furniture and Specialties | 23.40.20.00 |
| Building | Furniture | General Furniture and Specialties | 23.40.20.00 |
| Guardrail | Furniture | General Furniture and Specialties | 23.40.20.00 |
| Marka | Furniture | General Furniture and Specialties | 23.40.20.00 |
| Median | Furniture | General Furniture and Specialties | 23.40.20.00 |
| Vase | Furniture | General Furniture and Specialties | 23.40.20.00 |
| CCTV | Lighting Fixtures | Lighting | 23.80.70.00 |
| Lampu | Lighting Fixtures | Lighting | 23.80.70.00 |
| Rambu | Lighting Fixtures | Lighting | 23.80.70.00 |

Tabel IV.2 menunjukkan bahwa pada pemodelan 3D menggunakan TLS belum sepenuhnya mengadopsi sistem klasifikasi untuk industri konstruksi yang disediakan *software* Revit. Sistem klasifikasi yang dimiliki Revit disebut *OmniClass*. *OmniClass* merupakan sistem klasifikasi yang digunakan untuk keperluan industri konstruksi. *OmniClass* ini terdiri dari 15 tabel hierarki yang masing-masing merepresentasikan informasi konstruksi yang berbeda. Sebagai contoh model 3D *Guardrail* hasil TLS yang ditunjukan pada Tabel IV.2 dikelompokan pada *omniclass General Furniture and Specialties* dengan *OmniClass number* 23.40.20.00. Revit telah mengkategorikan *Guardrails* dengan *OmniClass Number* 23.15.10.11.21.11.17 dengan *Omniclass Title Guardrail*.

Selain klasifikasi model 3D, data yang dapat diekstraksi dari model 3D hasil pengukuran TLS adalah gambaran bentuk bagian-bagian jalan eksisting dan volume. Volume bagian jalan digunakan sebagai validasi kualitas dimensi model 3D yang dihasilkan dari data



leger jalan. Dimensi dari model 3D hasil pengukuran TLS dianggap benar dan paling sesuai dengan kondisi eksisting di lapangan. Hasil ekstraksi volume model 3D pengukuran TLS disajikan pada LAMPIRAN B.

Selain data lokasi dan data dimensi, data lain yang terdapat pada data leger jalan yang dapat digunakan sebagai data inventori aset jalan dan jembatan adalah jumlah, tahun pembuatan dan material dari aset. Data tersebut pada leger jalan dicantumkan pada data numerik di kartu leger jalan dan jembatan. Sedangkan pada model 3D hasil dari data leger, data-data tersebut dapat dicantumkan pada tabel parameter seperti pada Lampiran D

IV.2 Hasil Pemodelan 3D

Pemodelan 3D jalan tol layang AP Pettarani berdasarkan data leger jalan tidak dilakukan selengkap pemodelan 3D menggunakan TLS yang telah ditunjukkan pada Tabel IV.2. Pemodelan 3D jalan tol layang AP Pettarani meliputi pemodelan model 3D jalan utama, pemodelan model 3D *ramp on* Boulevard, pemodelan *ramp off* Boulevard, pemodelan model 3D *ramp on* Alauddin dan pemodelan model 3D *ramp off* Alauddin. Model 3D jalan tol layang AP Pettarani yang berhasil dilakukan secara garis besar terdiri dari model 3D tiang pancang jalan tol, *girder*, lapisan aspal, pengaman jalan serta pemodelan atribut jalan lainnya seperti marka jalan, rambu dan lampu jalan. Hasil pemodelan 3D jalan tol layang AP Pettarani menggunakan data leger disajikan dalam Tabel IV.3.

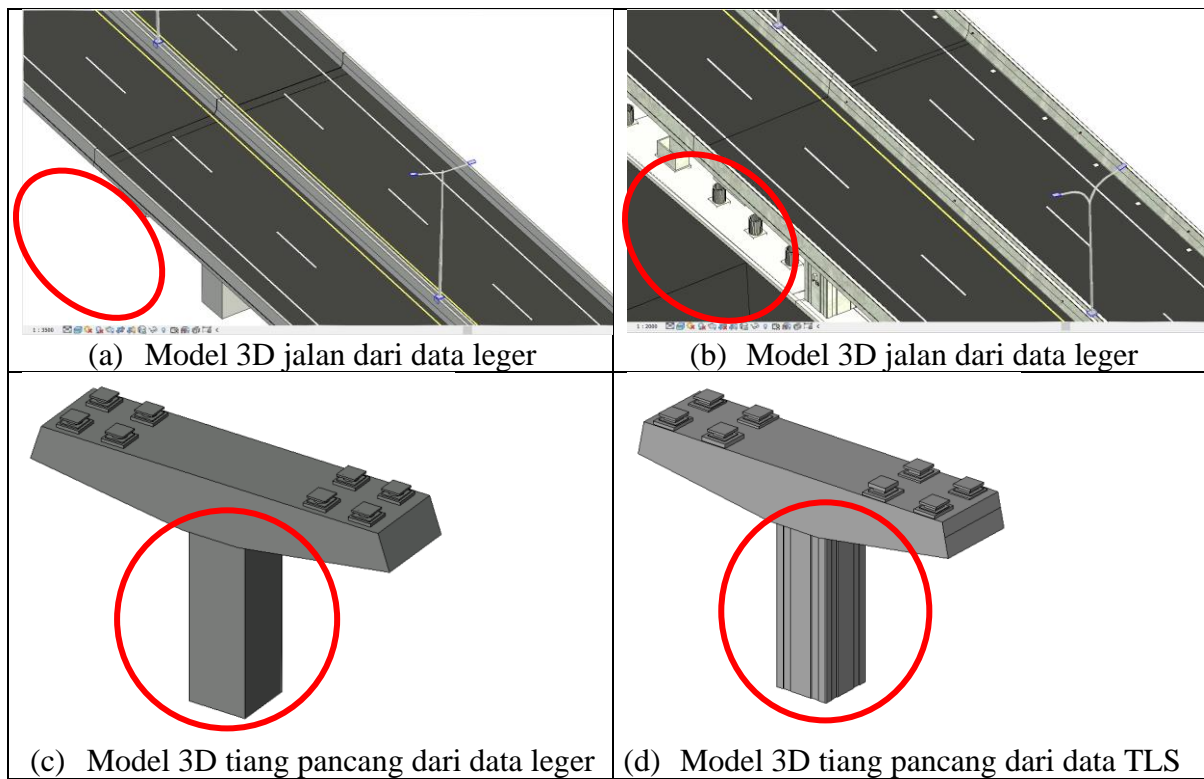
Tabel IV.3 Klasifikasi model 3D dari data leger jalan

| Model 3D | Kategori <i>family</i> | <i>OmniClass Title</i> | <i>OmniClass Number</i> |
|--|---------------------------|-----------------------------|-------------------------|
| Aspal | <i>Structural Columns</i> | <i>Roadways and Runways</i> | 23.15.10.11 |
| <i>Girder</i> (<i>Plat, Box Girder</i> dan <i>PC-U Girder</i>) | <i>Structural Columns</i> | <i>Roadways and Runways</i> | 23.15.10.11 |
| Tiang Pancang (<i>Pier, Pile Slab</i>) | <i>Structural Columns</i> | <i>Columns</i> | 23.25.30.11.14.11 |
| <i>Concrete Barrier</i> | <i>Columns</i> | <i>Columns</i> | 23.25.30.11.14.11 |
| <i>Guardrail</i> | <i>Columns</i> | <i>Guardrails</i> | 23.15.10.11.21.11.17 |
| <i>Median</i> | <i>Furniture</i> | <i>Columns</i> | 23.25.30.11.14.11 |
| <i>Bench Mark</i> (<i>LJ1, LJ2</i>) | <i>Furniture</i> | <i>Columns</i> | 23.25.30.11.14.11 |
| Lampu Jalan | <i>Lighting Fixtures</i> | <i>Lighting</i> | 23.80.70.00 |
| Rambu | <i>Signage</i> | <i>Roadway Signage</i> | 23.15.10.14.11 |
| Marka | <i>Signage</i> | <i>Roadway Signage</i> | 23.15.10.14.11 |



Pengelompokan *family* pada model 3D jalan tol layang AP Pettarani dari data leger sebagian besar mengacu pada klasifikasi *family* pada model 3D dari TLS. Selain itu pengelompokan *family* ini didasarkan pada keperluan ekstraksi parameter yang terkandung pada masing-masing model. Pada kategori *family Structural Columns* parameter yang dapat diekstraksi adalah jumlah model 3D dan volumenya. Data volume dibutuhkan sebagai validasi akurasi dimensi model 3D yang telah dibentuk. Kategori *family Columns* tidak dapat menampilkan parameter volume sehingga model 3D yang dikelompokan pada *family* ini adalah model 3D yang tidak memerlukan data volume, melainkan hanya jumlahnya saja yaitu model 3D dari *concrete barrier* atau tembok pengaman.

Perbandingan hasil pemodelan 3D jalan layang AP Pettarani dan pemodelan 3D jalan layang AP Pettarani dari TLS secara visual dapat dilihat pada Gambar IV.1. Gambar sebelah kiri merupakan hasil pemodelan 3D jalan layang AP Pettarani dari data leger jalan sedangkan gambar sebelah kanan merupakan hasil pemodelan 3D TLS. Secara visual dapat terlihat bahwa hasil pemodelan 3D TLS lebih kompleks dan memiliki lebih banyak atribut jalan yang sesuai dengan kondisi jalan eksisting. Kompleksitas tiap-tiap bagian bangunan jalan dapat terlihat pada hasil pemodelan pilar. Pemodelan 3D menggunakan data leger jalan memiliki bentuk *pier* yang sederhana, sedangkan bentuk *pier* dari pemodelan 3D TLS memiliki beberapa lekukan di bagian tiangnya.



Gambar IV.1 Perbandingan hasil pemodelan 3D dari dokumen leger jalan dan TLS



Beberapa atribut jalan yang tidak berhasil dimodelkan pada pemodelan 3D dari dokumen leger adalah pipa saluran pembuangan dan lubang pebuangan, rambu jalan, serta jalan eksisting yang berada di bagian bawah jalan tol layang AP Pettarani. Pemodelan 3D menggunakan data leger jalan terbatas hanya pada jalan tol layang AP Pettaraninya saja, sedangkan jalan di bawahnya tidak dimodelkan. Hasil pemodelan 3D keseluruhan jalan tol layang AP Pettarani dapat dilihat pada LAMPIRAN C, dan parameter model 3D yang dihasilkan dapat dilihat pada Lampiran D.

Setelah pemodelan 3D selesai dilakukan, volume untuk setiap model 3D yang terbentuk dapat dihitung. Data volume pada tabel parameter model merupakan hasil hitungan otomatis dari perangkat lunak Revit. Perhitungan volume ini penting sebagai data pada tahapan preservasi jalan sebagai dasar penentuan estimasi biaya pemeliharaan ataupun perencanaan peningkatan jalan. Sedangkan beberapa parameter lainnya seperti parameter kondisi dan material dapat diinputkan ke dalam model 3D yang telah terbentuk. Parameter yang ditampilkan pada model 3D yang terbentuk disesuaikan dengan kebutuhan data atribut model 3D tersebut.

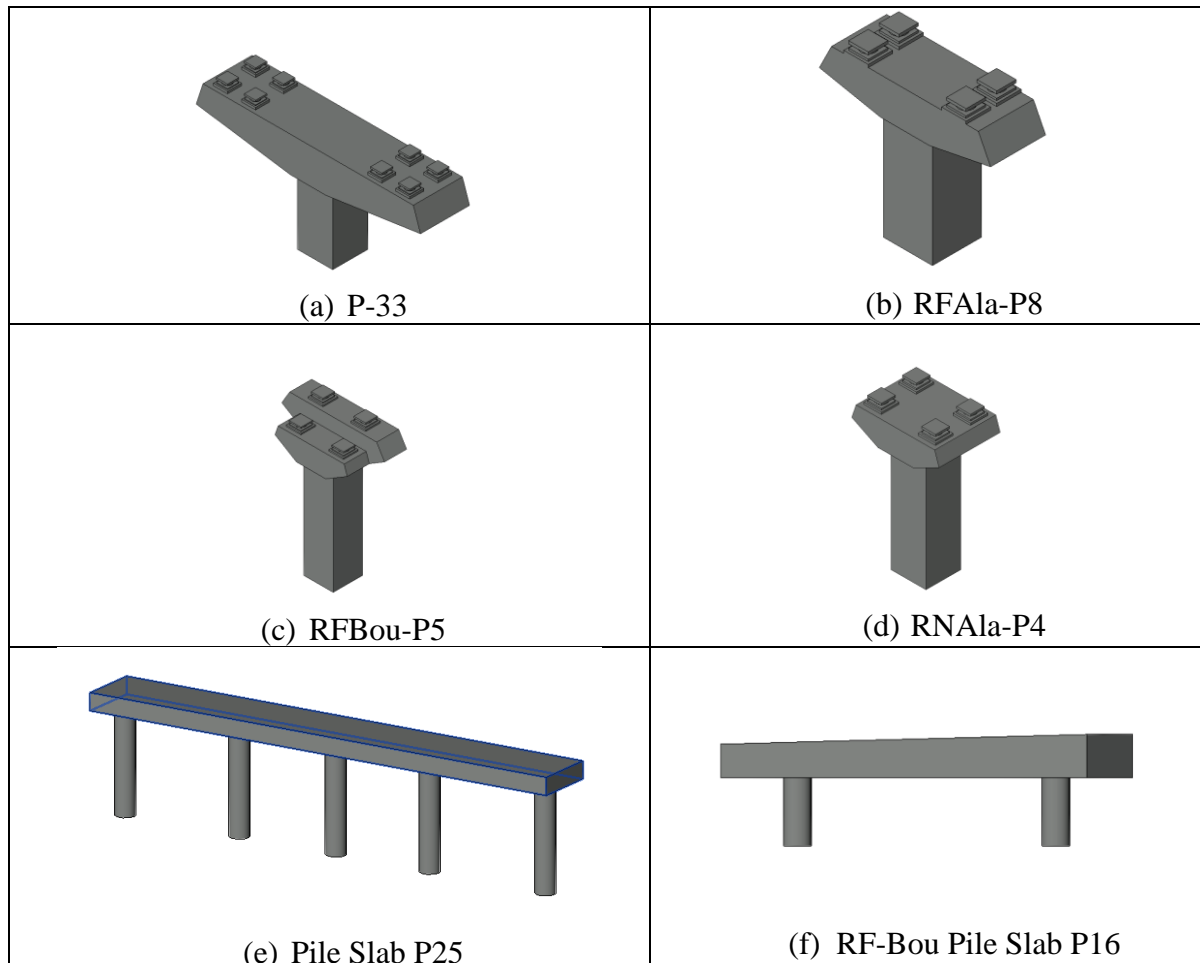
IV.2.1 Hasil Pemodelan 3D Tiang Pancang

Pemodelan 3D tiang pancang jalan tol layang AP Pettarani terdiri dari model 3D *pier* dan model 3D *pile slab*. Model 3D *pier* yang terbentuk memiliki variasi bentuk dan tinggi yang berbeda-beda. Perbedaan utama terletak pada bentuk dan dimensi kepala *pier*. Bentuk dan dimensi ini mengacu pada model 3D hasil pengukuran TLS. Sedangkan tebal kepala *pier* mengacu pada kartu jalan dan jembatan. Pemodelan 3D *pile slab* hanya memiliki 2 variasi, yaitu *pile slab* dengan 5 pilar penyangga dan *pile slab* dengan 2 pilar penyangga. *Pile slab* dengan 5 pilar penyangga ditempatkan pada jalan utama model 3D jalan tol layang AP Pettarani. *Pile slab* dengan 2 penyangga ditempatkan pada *ramp on* dan *ramp off* model 3D jalan tol layang AP Pettarani. Variasi bentuk tiang pancang tersaji dalam Gambar IV.2.

Elevasi dasar tiang pancang didapatkan dari titik-titik pengukuran di sekitar tiang pancang, yang kemudian dikurangi dengan tebal lapisan aspal yaitu 0,05 m dan tebal *girder*. Tinggi *pier* dan tebal bantalan mengacu pada kartu leger jalan dan jembatan. Model 3D kepala *pier* pada jalan utama dibuat dengan ketebalan sekitar 2,5 m pada jalan utama dan 1,5 m pada *ramp*. Contoh bentuk tiang pancang pada jalan utama ditunjukkan pada bagian (a) P-33 Gambar IV.2. Panjang kepala *pier* pada jalan utama adalah 3,5 m dengan lebar 16 m.



Pada ramp terdapat 3 variasi bentuk kepala pier. Variasi pertama adalah pier penopang *box girder* dengan ukuran panjang kepala pier 3,5 m dan lebar kepala pier 5 m seperti ditunjukkan pada bagian (d) RFAla-P4 Gambar IV.2. Variasi kedua adalah pier penopang PC-U *girder* yang ditunjukkan pada bagian RFAla-P8 Gambar IV.2. Kepala pier ini memiliki dimensi panjang 2,3 m dan lebar 7 m. Variasi ketiga adalah pier penopang peralihan *box girder* ke PC-U *girder*. Variasi ini ditunjukkan pada bagian (c) RFBou-P5 Gambar IV.2. Jumlah keseluruhan tiang pancang yang berhasil dimodelkan disajikan dalam Tabel IV.4



Gambar IV.2 Hasil pemodelan tiang pancang

Tabel IV.4. Jumlah Hasil Pemodelan 3D Tiang Pancang

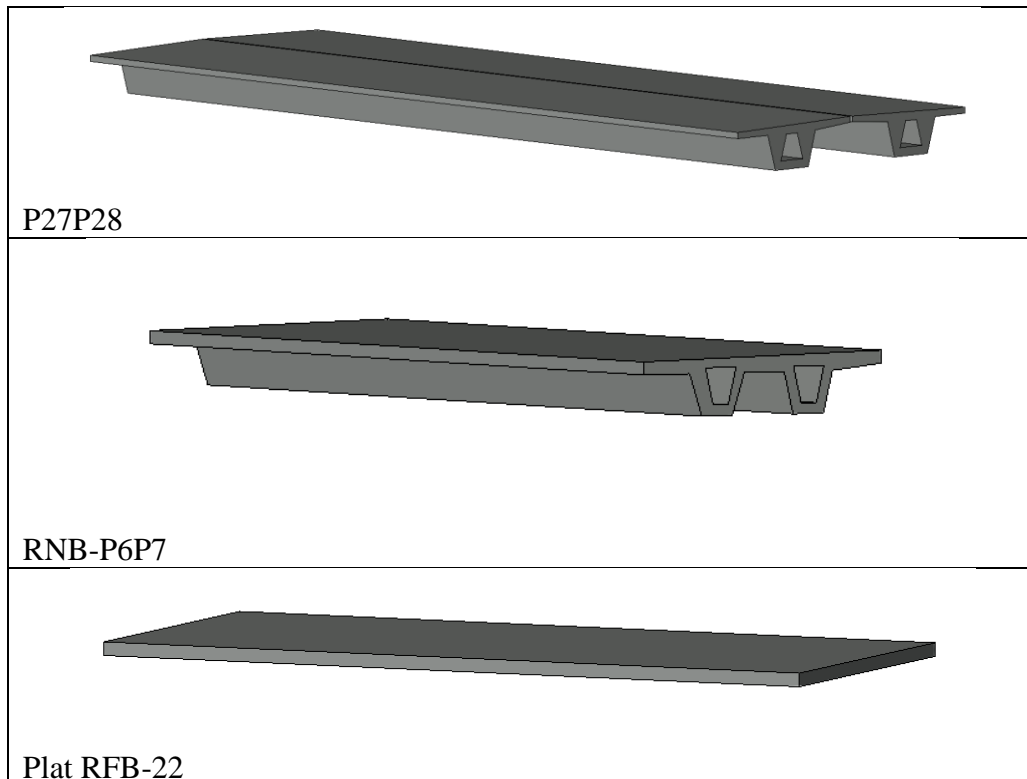
| Lokasi | Jenis Tiang Pancang | | Total |
|--------------------|---------------------|------------------|-------|
| | Jumlah Pier | Jumlah Pile slab | |
| Jalan Utama | 75 | 24 | 99 |
| Ramp Off Alauddin | 13 | 4 | 17 |
| Ramp Off Boulevard | 15 | 7 | 22 |
| Ramp On Alauddin | 15 | 7 | 22 |
| Ramp On Boulevard | 16 | 7 | 23 |
| Total | 134 | 49 | 183 |



Pemodelan elemen pilar dilakukan hanya dengan menggunakan elemen tinggi yang ada pada data leger jalan. Sedangkan bentuk tiang, dan bentuk kepala pilar hanya meniru model 3D dari TLS. Ukuran tapak tiang menyesuaikan ukuran volume pada TLS. Oleh karena itu penulis tidak merekomendasikan pembuatan model 3D jalan yang memiliki kompleksitas tinggi seperti jalan layang ataupun jembatan hanya dengan data dari leger jalan. Dibutuhkan data-data lain seperti *as built drawing* yang mencakup data dimensi elemen-elemen pembentuk jalan dan jembatan yang lebih rinci.

IV.2.2 Hasil Pemodelan 3D *Girder* dan Lapisan Aspal

Pemodelan 3D *girder* jalan tol layang AP Pettarani menghasilkan model 3D *box girder*, PC-U *girder* dan model 3D *plat girder*. Model 3D *girder* yang terbentuk memiliki variasi elevasi, panjang dan tebal yang berbeda-beda. Ketebalan model 3D *girder* mengacu pada kartu leger jalan dan jembatan. Elevasi dan panjang *girder* disesuaikan dengan elevasi pilar dibawahnya dan jarak antar pilarnya. Variasi model 3D *girder* yang terbentuk tersaji dalam Gambar IV.3.



Gambar IV.3 Hasil pemodelan 3D *girder*



Plat girder terdapat pada bagian peralihan jalan ke tol layang dan sebaliknya, baik pada jalan utama dan pada *ramp on* atau *ramp off*. *Box girder* dan *PC-U girder* terdapat pada pertengahan hingga akhir ruas jalan tol layang AP Pettarani. Pada *ramp*, *box girder* ditempatkan dengan elevasi yang hampir sama dengan jalan utama. *PC-U girder* ditempatkan di tengah-tengah *ramp*. *Plat girder* ditempatkan di atas *pile slab* pada *ramp*. Jumlah model 3D *girder* yang berhasil terbentuk pada kegiatan ini tersaji pada Tabel IV.5.

Tabel IV.5 Jumlah Hasil Pemodelan 3D Girder

| Lokasi | Jenis Girder | | | Total |
|--------------------|-------------------|--------------------|--------------------|------------|
| | Jumlah Box Girder | Jumlah PC-U Girder | Jumlah Plat Girder | |
| Jalan utama | 74 | 0 | 20 | 94 |
| Ramp Off Alauddin | 3 | 9 | 6 | 18 |
| Ramp Off Boulevard | 4 | 10 | 8 | 22 |
| Ramp On Alauddin | 4 | 10 | 8 | 22 |
| Ramp On Boulevard | 5 | 10 | 10 | 25 |
| Total | 90 | 39 | 52 | 181 |

Lapisan aspal dimodelkan dengan ketebalan 0,05 m di atas permukaan *girder*. Bentuk model 3D lapisan aspal mengikuti dimensi panjang dan lebar permukaan *girder*. Model 3D lapisan aspal pada awal ruas dimodelkan terpisah antara jalur kanan dan jalur kiri. Hal itu dikarenakan pada awal ruas jalan tol layang AP Pettarani terdapat median yang cukup lebar sebagai pemisah jalur. Beberapa bentang lapisan aspal pada *ramp* dimodelkan bersama dengan jalan utama. Hal tersebut terjadi pada *ramp* yang bersisian dengan jalan utama sampai adanya pemisah lajur utama dan *ramp*. Jumlah dan ringkasan volume pada lapisan aspal disajikan pada Tabel IV.6

Tabel IV.6 Jumlah dan volume hasil pemodelan lapisan aspal

| Keterangan | Jumlah Model 3D | Total Volume (m ³) |
|--------------------|-----------------|--------------------------------|
| Jalan Utama | 103 | 4442.67 |
| Ramp Off Alauddin | 17 | 157.12 |
| Ramp Off Boulevard | 20 | 148.7 |
| Ramp On Alauddin | 19 | 155.51 |
| Ramp On Boulevard | 21 | 138.47 |
| Total | 180 | 5042.47 |

Berbeda dengan pemodelan tiang pancang, data ketebalan, panjang serta lebar *girder* dan lapisan aspal sudah tercantum pada dokumen leger. Sehingga untuk jalan-jalan yang lebih



sederhana ataupun jalan yang *landed*, pemodelan 3D dapat dilakukan dengan menggunakan data dari dokumen leger dengan catatan data yang terkadung pada dokumen leger tersebut akurat. Penggunaan TLS sebagai alat ukur pengambilan data 3D dapat memudahkan pemodelan 3D jalan, tetapi data leger jalan yang lengkap dan akurat dirasa cukup untuk membuat model 3D jalan sederhana.

IV.2.3 Hasil Pemodelan 3D Pengaman Jalan dan Perlengkapan Jalan

Hasil pemodelan 3D pengaman jalan diletakkan sepanjang model 3D jalan tol layang AP Pettarani dari awal ruas hingga bagian akhir *ramp*. Jumlah pengaman jalan yang berhasil dimodelkan pada kegiatan ini tersaji dalam Tabel IV.7. Pada Tabel IV.7 ditampilkan parameter hasil pemodelan 3D pengaman jalan berupa *barrier*, *guardrail* dan tembok pengaman. Penamaan model 3D pengaman jalan tipe *guardrail* dan tembok pengaman mengikuti penamaan *girder* di bawahnya dikarenakan elevasi dan kemiringan pengaman jalan yang bervariasi mengikuti elevasi dan *trase* jalannya. Hal tersebut menyebabkan variasi nama *family* yang tersimpan pada tabel pengaman jalan di perangkat lunak Revit.

Tabel IV.7 Parameter hasil pemodelan 3D pengaman jalan

| Column Schedule | | | | |
|------------------|-----------------|--------|---------|----------|
| Nama | Deskripsi | Jumlah | Kondisi | Material |
| Barrier | Barier | 5 | Baik | Beton |
| Guardrail | Guardrail | 2 | Baik | Metal |
| <varies> | Tembok Pengaman | 135 | Baik | Beton |
| Grand total: 142 | | | | |

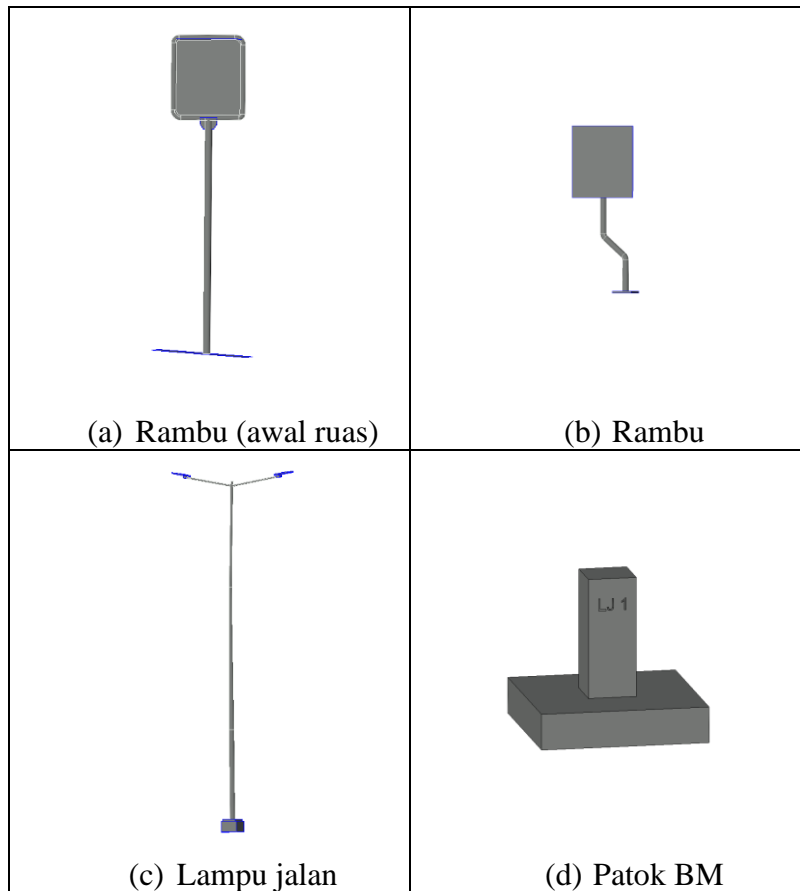
Perlengkapan jalan lainnya yang ditampilkan dalam pemodelan 3D jalan tol layang AP Pettarani adalah patok leger jalan sebagai patok *bench mark* (BM), lampu penerangan jalan dan rambu jalan. Jumlah model 3D atribut jalan lainnya yang terpasang pada model 3D jalan tol layang AP Pettarani ditampilkan pada Tabel IV.8. Seperti ditunjukan pada Tabel IV.8 patok BM dan median jalan dikelompokan dalam *family Furniture*, marka dan rambu dikelompokan dalam *family Signage* sedangkan lampu penerangan jalan dikelompokan dalam *family Lighting Fixture*.



Tabel IV.8 Jumlah model 3D perlengkapan jalan yang terbentuk

| Family | Nama | Deskripsi | Jumlah |
|------------------|----------|-----------|--------|
| Furniture | <varies> | BM | 2 |
| Furniture | Median | Median | 1 |
| Lighting Fixture | LPJ | Lampu | 112 |
| Signage | <varies> | Marka | 304 |
| Signage | <varies> | Rambu | 20 |

Pada model 3D jalan tol layang AP Pettarani terdapat 2 model 3D patok BM, yaitu patok LJ 1 yang terletak pada awal ruas dan patok LJ 2 yang terletak pada akhir ruas. Model 3D rambu jalan juga terdapat 2 variasi yaitu rambu penunjuk KM yang terdapat pada awal ruas dan menempel pada median jalan serta rambu penunjuk KM yang terletak pada jalan layang yang menempel pada tembok pengaman jalan. Model 3D rambu penunjuk KM dipasang setiap 200m sepanjang model 3D jalan tol layang AP Pettarani. Model 3D lampu jalan dipasang sesuai dengan koordinat lampu jalan yang ada pada kartu leger jalan dan jembatan. Bentuk model 3D lampu jalan, rambu dan patok BM disajikan pada Gambar IV.4.

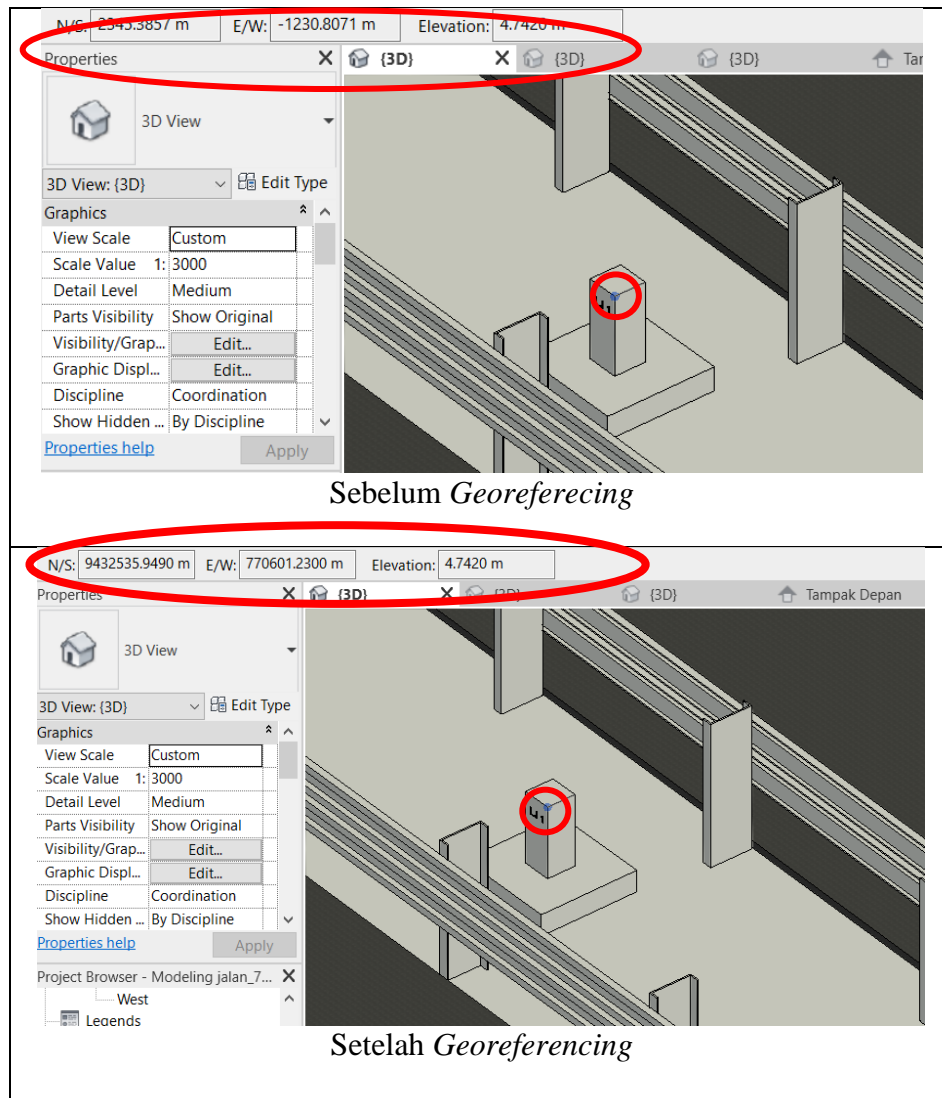


Gambar IV.4 Bentuk model 3D perlengkapan jalan lainnya



IV.2.4 Georeferencing Hasil Pemodelan 3D Leger Jalan

Pemberian koordinat pada model 3D jalan tol layang AP Pettarani dilakukan pada hanya 1 titik yaitu pada titik LJ 1. Perangkat lunak Revit kemudian akan membawa keseluruhan model pada koordinat baru yang hanya tereferensi pada titik LJ. Hal ini memungkinkan adanya pergeseran koordinat pada titik lain sepanjang model. Gambar IV.5 menampilkan hasil model 3D AP Pettarani sebelum dan setelah dilakukan *georeferencing*.

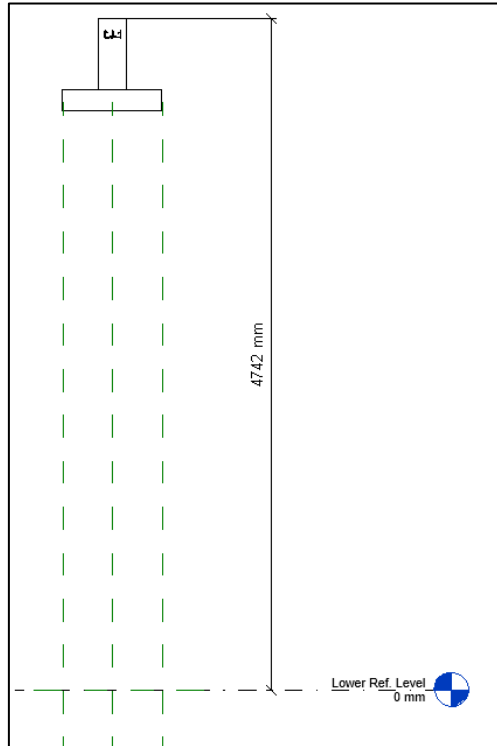


Gambar IV.5 Perbedaan koordinat model 3D sebelum dan setelah *georeferencing*

Gambar IV.5 menunjukkan perbedaan pada koordinat *easting* dan *northing*. Namun, elevasi model 3D menunjukkan nilai yang sama. Hal ini dikarenakan pada saat pembuatan *family* model 3D patok LJ1, nilai elevasi patok LJ tersebut telah diperhitungkan. Pemodelan 3D patok LJ1 pada elevasi tertentu ditunjukan pada Gambar IV.6. Nilai elevasi tersebut secara otomatis dibawa oleh model 3D dari *family* ke *project*. Keseluruhan model yang berada pada elevasi yang sama dengan patok LJ1 pada project akan menunjukan nilai elevasi model yang



sama dengan patok LJ1. Oleh sebab itu pembuatan family model 3D jalan tol layang AP Pettarani dilakukan pada elevasi yang sebenarnya.



Gambar IV.6 Elevasi model 3D patok LJ1

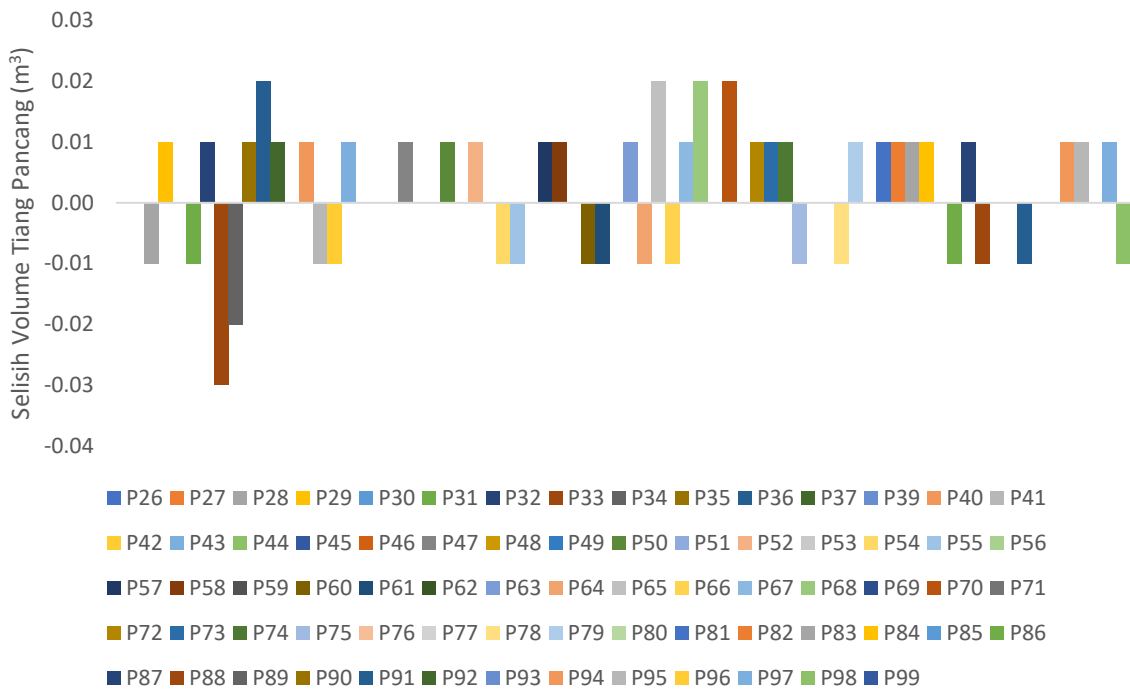
IV.3 Hasil Uji Kualitas Model 3D

Uji kualitas model 3D yang telah dibentuk dilakukan sebagai evaluasi hasil pemodelan pada aspek geometri dan spasial. Model 3D yang dimodelkan berdasarkan ukuran pada kartu jalan dan jembatan memiliki kemungkinan perbedaan dimensi terhadap data eksisting di lapangan. Tidak lengkapnya data dimensi elemen-elemen jalan pada dokumen leger juga menyebabkan perbedaan volume model 3D dari data leger jalan terhadap model 3D dari TLS. Pada aspek geometri, volume model 3D *pier* dibandingkan dengan volume *pier* hasil pengukuran TLS. Perhitungan volume elemen dilakukan pada perangkat lunak Revit.

Pier yang menjadi sampel dalam uji kualitas model 3D ini adalah *pier* pada jalan utama sebanyak 73 *pier*. Pada Gambar IV.7 dapat terlihat bahwa selisih volume *pier* antara model 3D dari leger jalan dan model 3D dari TLS berada pada rentang $-0,03 \text{ m}^3$ hingga $0,02 \text{ m}^3$. Setelah dilakukan perhitungan rata-rata perbedaan volume *pier* antara model 3D hasil leger jalan dan model 3D hasil TLS adalah $0,002 \text{ m}^3$ dengan RMSE $0,01 \text{ m}^3$.



Selisih Volume Model 3D Tiang Pancang Antara Model 3D Hasil Leger Jalan dan Model 3D Hasil TLS



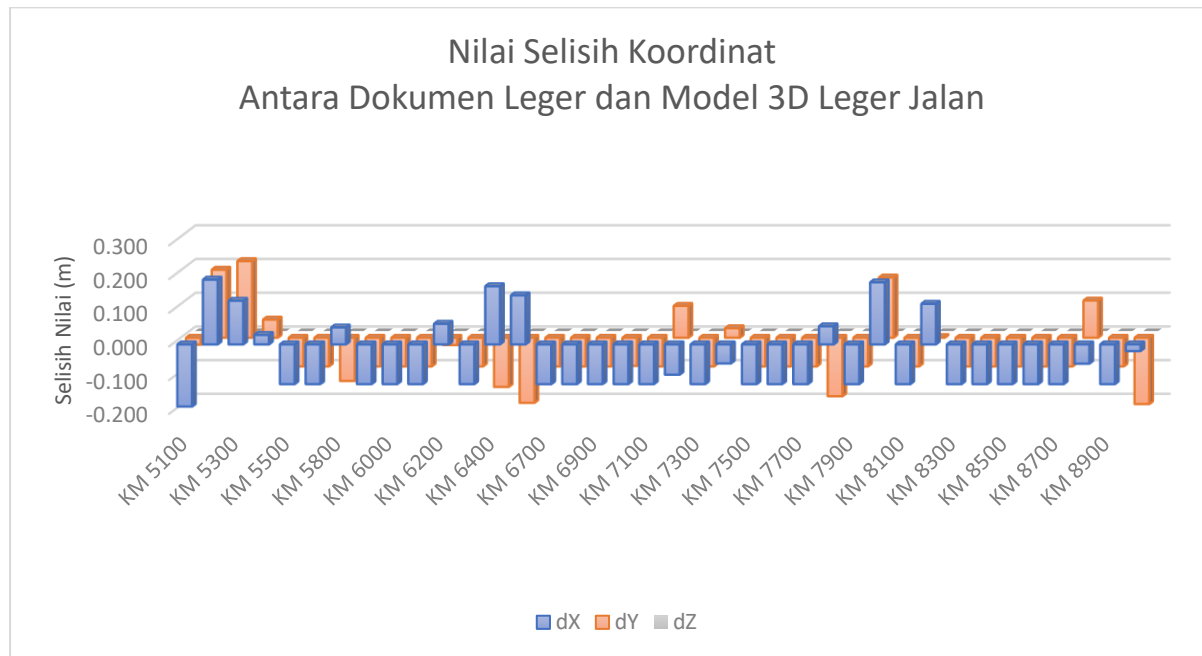
Gambar IV.7 Selisih volume tiang pancang model 3D hasil leger jalan dan model 3D hasil TLS

Selisih volume juga dihitung pada model 3D lapisan aspal. Hanya saja pada model 3D lapisan aspal jumlah volume dihitung secara keseluruhan bukan tiap bentang lapisan aspal. Lapisan aspal yang diambil sampel untuk dihitung volumenya juga hanya pada bagian jalan utama yang sudah melayang (*elevated*). Hal ini dikarenakan agar perbandingan perhitungan volume lapisan aspal antara model 3D dari leger jalan dan model 3D dari TLS memiliki bobot yang sama dan tidak tercampur dengan lapisan aspal pada ramp maupun pada jalan nasional yang berada di bawah jalan tol layang AP Pettarani. Hasil perhitungan volume model 3D lapisan aspal hasil leger jalan adalah $0,23 \text{ m}^3$ lebih besar dari pada volume model 3D aspal hasil TLS. Perbandingan volume model 3D hasil leger jalan dan model 3D TLS serta hitungan RMSE volume dapat dilihat pada Lampiran 11 dan Lampiran 12.

Uji kualitas model 3D juga dilakukan terhadap koordinat leger jalan. Titik-titik yang diuji merupakan titik-titik STA per 100 m, titik akhir ruas serta patok LJ 2. Total titik pengujian adalah sejumlah 42 titik. Patok LJ1 tidak diikutkan dalam pengujian karena titik tersebut merupakan titik yang menjadi titik referensi model 3D. Selisih nilai koordinat digambarkan pada Gambar IV.8. Dari perhitungan didapatkan rata-rata kesalahan pada koordinat X adalah -



0,049 m, koordinat Y senilai -0,052 m dan koordinat Z senilai 0,01 m. RMSE koordinat dari hasil hitungan adalah senilai 0,157 m dengan simpangan baku 0,141 m. Pergeseran horizontal (X,Y) dimungkinkan karena perbedaan lokasi pengambilan titik referensi. Pada data leger jalan koordinat LJ diambil dari tengah permukaan patok fisik bagian atas, sedangkan pada pemodelan 3D peletakan koordinat awal dilakukan pada bagian ujung kiri permukaan patok. Daftar koordinat dan hitungan RMSE disajikan dalam Lampiran 13.



Gambar IV.8 Selisih nilai koordinat antara Model 3D hasil leger jalan dan data pengukuran leger

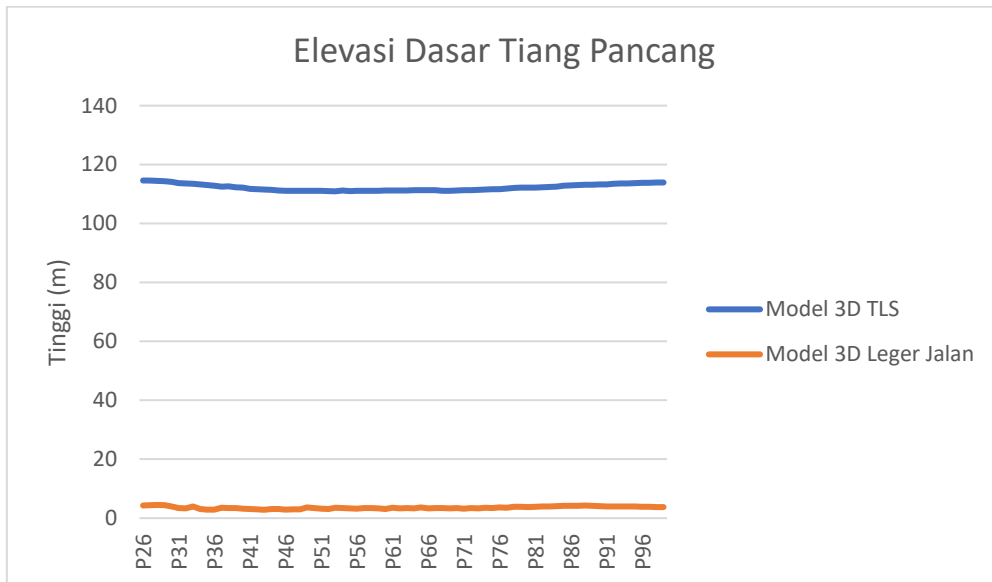
Pada pengujian hipotesis digunakan tingkat kepercayaan 95% dimana nilai dari Z yang dierima berkosar antara -1,96 hingga 1,96. Dengan menggunakan rumus (II.4) didapatkan nilai Z sebesar -0,182 untuk volume tiang pancang hasil model 3D. Sedangkan untuk nilai koordinat hasil 3D dari leger didapatkan nilai Z senilai -0,530 untuk parameter X, -0,558 untuk parameter Y dan 0,166 untuk parameter Z. Dari nilai Z yang ditunjukkan didapatkan bahwa model 3D yang dihasilkan dari data leger jalan tidak memiliki perbedaan baik terhadap volume model 3D dari TLS dan terhadap koordinat leger jalannya.

Pengujian koordinat tidak dilakukan terhadap koordinat model 3D TLS dikarenakan adanya perbedaan koordinat yang cukup signifikan. Perbedaan elevasi antara model 3D hasil data leger jalan dan model 3D hasil TLS ditunjukkan pada Gambar IV.9. Elevasi TLS diduga menggunakan tinggi orthometrik yaitu tinggi di atas geoid. Namun, penulis belum berhasil mendapatkan informasi dari tim pengukuran dan penggambaran leger jalan titik tinggi yang



digunakan sebagai referensi pengukuran tinggi orthometrik tersebut. Elevasi model 3D hasil data leger jalan mengacu pada metode pengukurannya yaitu menggunakan GNSS. Perbedaan referensi pengukuran tinggi antara pengukuran menggunakan TLS dan leger jalan inilah yang menyebabkan perbedaan tinggi elevasi dasar tiang pancang yang besar.

Pada Gambar IV.9 dapat dilihat perbedaan pola elevasi dasar antara model 3D dari data leger jalan dan model 3D dari data TLS. Model 3D dari data leger jalan memiliki elevasi awal yang cenderung datar antara dari awal ruas hingga akhir ruas. Sedangkan pada model 3D dari TLS cenderung memiliki elevasi yang lebih rendah di tengah trase jalan sehingga cekungan pada tengah trase jalan lebih terlihat. Penulis telah mengkonfirmasi perbedaan pola tersebut kepada tim pengukuran dan penggambaran leger jalan. Dari hasil konfirmasi tersebut didapatkan bahwa elevasi dasar pada jalan tol layang AP Pettarani cenderung datar, sehingga data yang digunakan sebagai validasi koordinat adalah data dari leger jalan.



Gambar IV.9 Perbedaan elevasi dasar pemodelan 3D dan model 3D TLS

Pengukuran leger jalan memiliki referensi titik -titik *bench mark* yang disebut dengan patok LJ. Pada jalan tol layang AP Pettarani terdapat 2 patok LJ yang dapat dijadikan referensi koordinat. Perbedaan koordinat antara leger jalan dan model 3D TLS berkisar antara 0,4 m – 0,9 m seperti ditunjukkan pada Tabel IV.9. Namun apabila model 3D TLS tersebut dibawa ke koordinat leger jalan menggunakan titik LJ 1, maka perbedaan koordinat antara model 3D TLS dan leger jalan adalah senilai 0,614 m;-0,776 m. Penulis mengasumsikan kurangnya kontrol kualitas pada pengambilan data TLS dan leger jalan hingga menyebabkan adanya 2 versi data dari 1 objek yang sama.

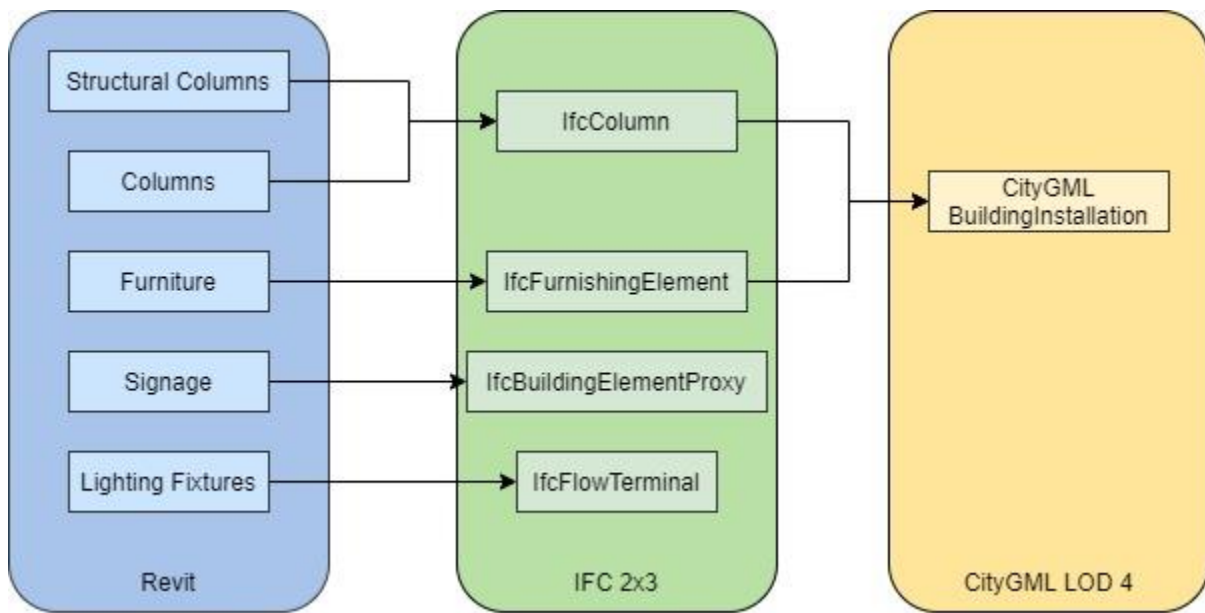


Tabel IV.9 Perbedaan titik referensi TLS dan Leger Jalan

| Titik | Leger Jalan | | | TLS | | | dX | dY |
|---------------------|-------------|-------------|-------|-------------|-------------|----------|-------|--------|
| | X | Y | Z | X | Y | Z | | |
| LJ1 | 770601.23 | 9432535.949 | 4.742 | 770600.7932 | 9432535.508 | 116.8759 | 0.437 | 0.441 |
| LJ2 | 769865.599 | 9428258.082 | 4.774 | 769864.661 | 9428258.502 | 115.639 | 0.938 | -0.420 |
| LJ 2 (TLS,Leger) | 769865.599 | 9428258.082 | 4.774 | 769864.985 | 9428258.858 | 3.4835 | 0.614 | -0.776 |

IV.4 Hasil Konversi Model 3D dari IFC ke CityGML

Model 3D yang terbentuk dari pemodelan menggunakan *software* Revit mengalami proses transformasi sebanyak dua kali sebelum terbentuk dalam format CityGML. Proses transformasi tersebut tentunya mengubah data semantik pada model 3D yang dihasilkan. Proses perubahan data semantik dari format data Revit ke CityGML digambarkan pada Gambar IV.10.

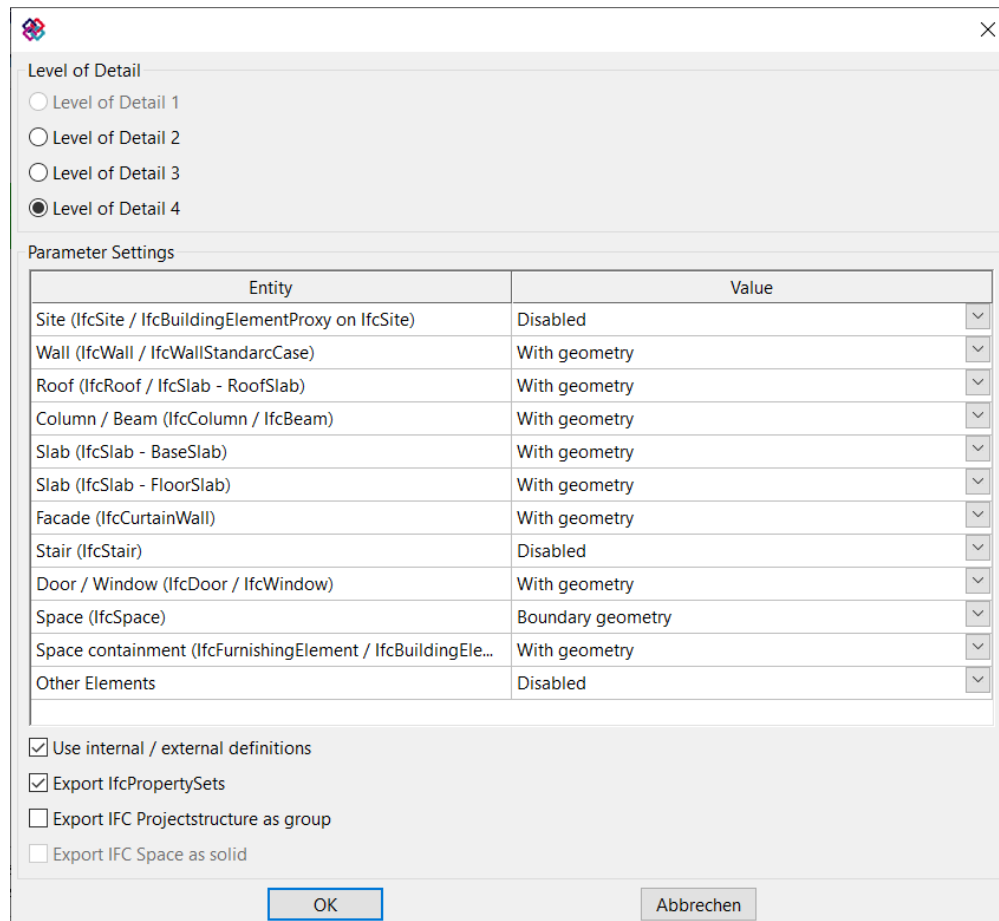


Gambar IV.10 Mapping konversi model 3D Revit, IFC dan CityGML

Penggunaan CityGML LOD4 dilakukan dengan pertimbangan bahwa *IfcColumn*, dan *IfcFurnishingElement* hanya dapat dilakukan konversi pada LOD4. Hal ini sesuai dengan Isikdag & Zlatanova (2009) yang mengungkapkan bahwa informasi yang didapatkan pada elemen *IfcBeam*, *IfcColumn*, *IfcStair*, *IfcRailing* serta *IfcRamp* hanya dapat direpresentasikan sebagai *IntBuildingInstallation* pada LOD4. Sedangkan *IfcFurnishingElement* dapat diubah menjadi *BuildingFurniture* pada LOD4.



Software FZKViewer mampu menampilkan *IfcBuildingElementProxy*, tetapi ketika elemen ini diubah ke format CityGML LOD4 tidak ada geometri yang terbentuk dari elemen tersebut. *IfcFlowTerminal* dianggap merupakan elemen lain sehingga dalam proses transformasinya diabaikan. Pengaturan *default* proses *export* dari IFC ke CityGML pada FZKViewer ditampilkan pada Gambar IV.11.

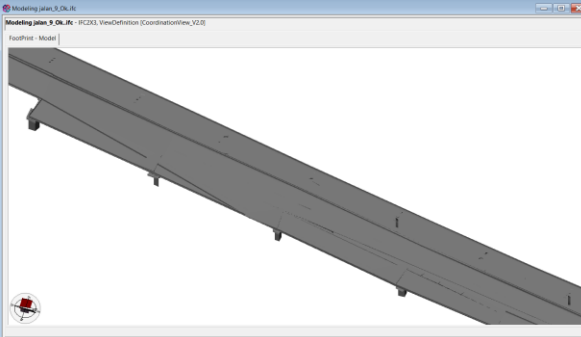
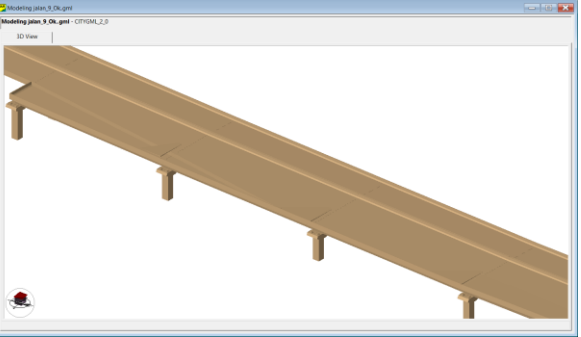
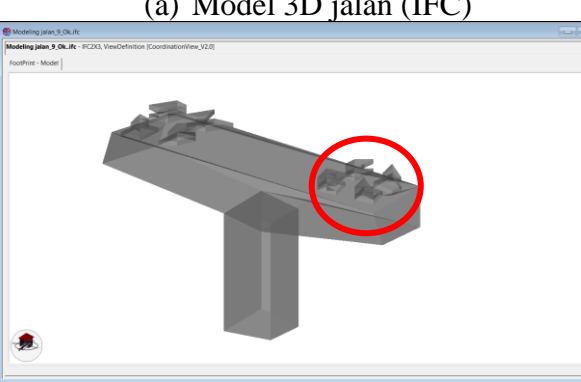
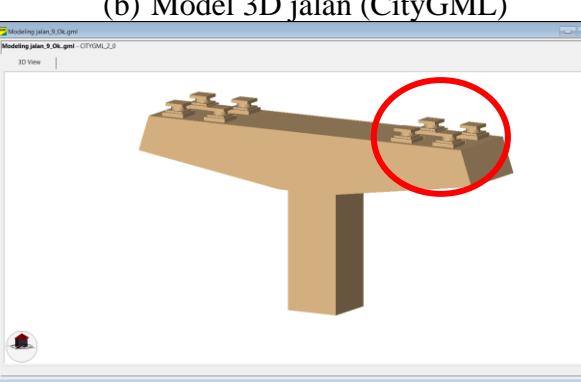
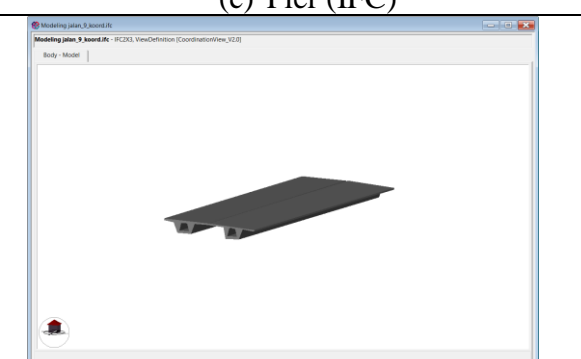
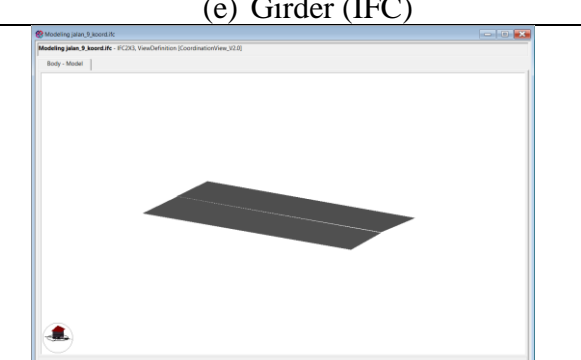


Gambar IV.11 Pengaturan *export* IFC ke CityGML pada FZKViewer

Transformasi yang dilakukan pada model 3D dalam format IFC hanya pada *entity IFCColumn*. Hal tersebut dilakukan karena pada pemodelan ini tidak terdapat *entity* lain seperti *IFCSpace* maupun *opening* seperti *IFCDoor* ataupun *IFCWindow*. Seperti telah dibahas pada subbab sebelumnya bahwa pemodelan 3D pada jalan tol layang AP Pettarani ini elemen pilar, *girder*, lapisan aspal serta dinding pengaman dimasukan dalam *family column* dan *structural column*, sehingga pada transformasinya ke dalam format IFC kedua jenis *family* ini dikategorikan menjadi *IFCColumn*. Elemen lainnya seperti lampu jalan serta rambu dikategorikan menjadi *IFCFurnishingElement*. Secara visual perbandingan elemen jalan hasil konversi antara format IFC dan format CityGML disajikan pada Tabel IV.10.



Tabel IV.10 Perbandingan hasil konversi elemen jalan IFC dan CityGML

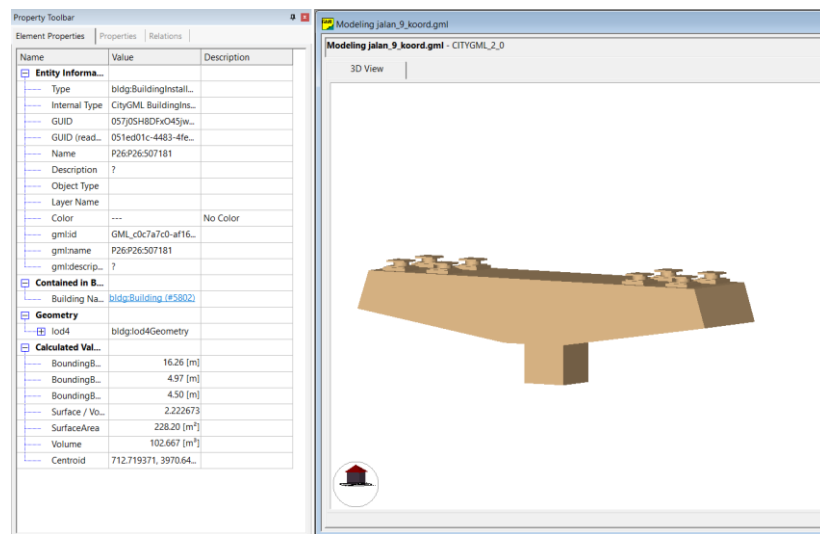
| <i>IFC</i> | <i>CityGML</i> |
|---|--|
|  |  |
| (a) Model 3D jalan (IFC) | (b) Model 3D jalan (CityGML) |
|  |  |
| (c) Pier (IFC) | (d) Pier (City GML) |
|  |  |
| (e) Girder (IFC) | (f) Girder (CityGML) |
|  |  |
| (g) Aspal (IFC) | (h) Aspal (CityGML) |

Model 3D jalan tol layang AP Pettarani dalam format CityGML secara visual memiliki bentuk yang tidak jauh berbeda dengan model 3D jalan tol layang dalam format IFC.



Namun, pada beberapa elemen jalan seperti *pier* menunjukkan perbedaan yang cukup signifikan (ditunjukkan pada bagian (c) dan (d) Tabel IV.10 Perbandingan hasil konversi elemen jalan IFC dan CityGMLPada FZKViewer format data CityGML terlihat lebih menyerupai bentuk awal model 3D dibandingkan dengan format IFC-nya. Hal ini dimungkinkan karena elemen *pier* tersusun dari beberapa geometri yang digabungkan sedangkan elemen lainnya hanya terdiri dari satu atau dua gabungan geometri saja. Pada model 3D jalan di Tabel IV.10 memperlihatkan bahwa elemen marka dan lampu tidak dimodelkan pada CityGML.

Model 3D jalan tol layang AP Pettarani dalam format CityGML membawa beberapa informasi dari format sebelumnya yaitu IFC. Beberapa data yang dapat dibawa ke dalam format City GML yaitu nama entitas serta nilai geometrinya seperti volume dan *surface area*. Beberapa data yang dibawa dapat ditampilkan kembali pada format CityGML tampilan pada Gambar IV.12. Beberapa elemen menunjukkan nilai volume yang sama antara CItyGML dan IFC, tetapi beberapa lainnya menunjukkan nilai volume yang berbeda.

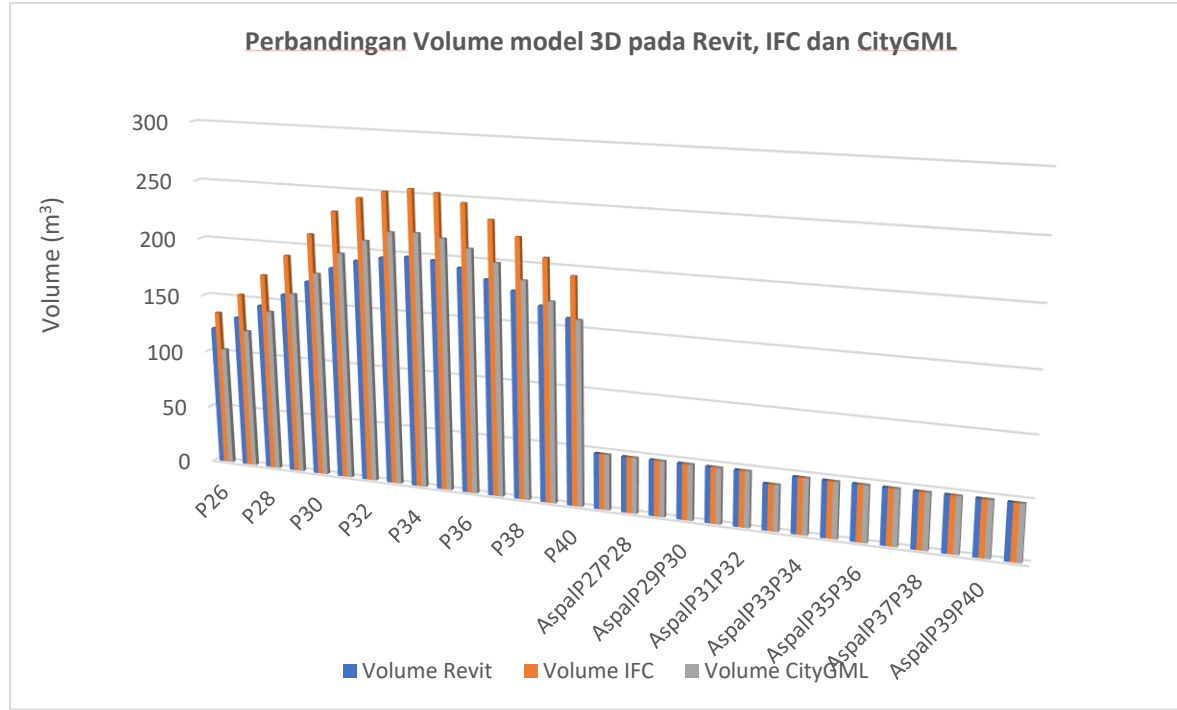


Gambar IV.12 Tampilan *properties* pada CityGML

Perbedaan volume elemen model 3D jalan tol layang AP Pettarani ditunjukkan pada Gambar IV.13. Dari gambar tersebut dapat dilihat kelompok data dimana satu kelompok data menunjukkan perbedaan nilai volume yang cukup signifikan antara ketiga model data 3D yang terbentuk dan kelompok lainnya menunjukkan nilai volume yang sama antara ketiga model 3D tersebut. Kelompok data yang menunjukkan nilai yang berbeda merupakan data-data pilar dimana bangunan pilar ini terdiri dari beberapa geometri yang disusun menjadi 1 sehingga membentuk suatu geometri yang baru. Sedangkan kelompok data yang menunjukkan nilai yang sama



merupakan data-data dari elemen lapisan aspal yang memiliki bentuk yang lebih sederhana daripada elemen pilar. Hal ini menunjukan bahwa semakin kompleks bentuk elemen 3D-nya maka akan semakin kecil kesuksesan transformasinya.



Gambar IV.13 Perbandingan volume model 3D pada Revit, IFC dan CityGML



BAB V

KESIMPULAN DAN SARAN

V.1 Kesimpulan

Berdasarkan penelitian ini dapat disimpulkan bahwa :

1. Model 3D yang terbentuk lebih merepresentasikan kondisi aktual di lapangan dan menyajikan data yang lebih lengkap dari pada model 2D seperti dimensi dan volume elemen bangunan. Model 3D jalan dapat diintegrasikan dengan teknologi BIM maupun 3D GIS dan dapat digunakan dalam kegiatan preservasi jalan khususnya inventarisasi jalan.
2. Pemodelan 3D menggunakan data leger jalan hanya cukup untuk jalan-jalan sederhana, sedangkan jalan-jalan yang lebih kompleks membutuhkan data-data yang lebih lengkap dan pengukuran yang lebih terperinci dimana data tersebut belum tercantum pada data leger jalan 2D.
3. Rata-rata perbedaan volume tiang pancang yang didapatkan dari pemodelan leger jalan volume tiang pancang pada model 3D hasil TLS adalah $0,002 \text{ m}^3$ dan selisih jumlah sampel volume aspal adalah senilai $0,23 \text{ m}^3$. Hasil RMSE koordinat pada pemodelan 3D adalah senilai $0,157 \text{ m}$ dengan asumsi adanya pergeseran koordinat horizontal pada titik acuan sebesar $0,118 \text{ m}$ pada sumbu X dan $0,085 \text{ m}$ pada sumbu Y. hal ini menunjukkan bahwa model 3D yang dibuat memiliki dimensi yang serupa dengan model 3D hasil TLS dan penempatan model 3D yang dibuat memiliki pergeseran yang kecil di dunia nyata. Dari hasil pengujian uji Z terhadap volume maupun koordinat model 3D yang dihasilkan menunjukkan bahwa model 3D yang dihasilkan tidak memiliki perbedaan yang signifikan baik dari sisi dimensi maupun lokasinya.
4. Model 3D yang dikonversi menjadi IFC kemudian CityGML mengalami beberapa penurunan informasi yang dikandung. Namun bentuk dan volume dari CityGML lebih menyerupai bentuk dasarnya daripada bentuk IFC-nya. Semakin kompleks bentuk geometri dari suatu elemen, maka tingkat kesuksesan transformasinya akan semakin kecil.



V.2 Saran

Berdasarkan kegiatan ini dapat, terdapat beberapa saran untuk kegiatan selanjutnya yaitu :

1. Pada kegiatan ini tidak menggambarkan *toposurface* dikarenakan persebaran data elevasi yang kurang baik. Pemodelan 3D selanjutnya dapat dilakukan dengan menambahkan data *toposurface* untuk mendapatkan informasi terhadap kontur khususnya pada pemodelan 3D jalan dan jembatan.
2. Pemodelan ini hanya menggunakan elemen *column (IFCColumn)*. Diperlukan lebih banyak variasi data untuk memodelkan bentuk IFC yang lainnya khususnya pada pemodelan jalan jembatan.
3. Pemodelan ini dilakukan sepanjang $\pm 4\text{km}$ yang berarti masih diasumsikan bahwa pada jarak tersebut kelengkungan bumi masih diabaikan. Pemodelan dengan jarak jalan yang lebih besar dapat dilakukan untuk melihat pengaruh kelengkungan bumi terhadap ketelitian model 3D yang dibentuk.



DAFTAR PUSTAKA

- Aditya, T., Laksono, D. P., Atunggal, D., & Susanta, F. F. (2021). 3D Modelling , Validation and Visualization of 3D Parcels in First Registration for 3D Cadastre - Indonesia Case 3D Modelling , Validation and Visualization of 3D Parcels in First Registration for 3D Cadastre - Indonesia Case. *7th International FIG Workshop on 3D Cadastres, October 2021*, 247–262. <https://doi.org/10.4233/uuid:6669b973-e44f-4009-8127-030d4bbf6696>
- Admin. (2023). *Ditjen Bina Marga Bahas Penerapan Building Information Modelling Sektor Jalan & Jembatan*. Direktorat Jenderal Bina Marga Kementerian Pekerjaan Umum dan Perumahan Rakyat. <https://binamarga.pu.go.id/index.php/berita/ditjen-bina-marga-bahas-penerapan-building-information-modelling-sektor-jalan-jembatan>
- Afzal, M., & Shafiq, M. T. (2021). Evaluating 4d-bim and vr for effective safety communication and training: A case study of multilingual construction job-site crew. *Buildings*, 11(8). <https://doi.org/10.3390/buildings11080319>
- Ahn, D., & Cha, H. (2014). Integration of Building Maintenance Data in Application of Building Information Modeling (BIM). *Journal of Building Construction and Planning Research*, 02(02), 166–172. <https://doi.org/10.4236/jbcpr.2014.22015>
- Akbarieh, A., Jayasinghe, L. B., Waldmann, D., & Teferle, F. N. (2020). BIM-based end-of-lifecycle decision making and digital deconstruction: Literature review. *Sustainability (Switzerland)*, 12(7). <https://doi.org/10.3390/su12072670>
- Azhar, S. (2011). Building information modeling (BIM): Trends, benefits, risks, and challenges for the AEC industry. *Leadership and Management in Engineering*, 11(3), 241–252. [https://doi.org/10.1061/\(ASCE\)LM.1943-5630.0000127](https://doi.org/10.1061/(ASCE)LM.1943-5630.0000127)
- Borrman, A., König, M., Koch, C., & Beetz, J. (2018). Building information modeling: Technology foundations and industry practice. *Building Information Modeling: Technology Foundations and Industry Practice*, September, 1–584. <https://doi.org/10.1007/978-3-319-92862-3>
- Boukara, A., & Naamane, & A. (2015). A Brief Introduction to Building Information Modeling (BIM) and its interoperability with TRNSYS. *Renewable Energy and Sustainable Development*, June, 126–130. <http://apc.aast.edu>
- Cahyono, A. B., & Ulinnuha, R. (2016). Analisa Ketelitian Dan Kesesuaian Pemodelan 3D Dengan Pendekatan Geometri Dan Teknik Structure From Motion (Sfm) Pada Obyek Bangunan. *Geoid*, 12(1), 75–82. <https://doi.org/10.12962/j24423998.v12i1.2399>
- de Laat, R., & van Berlo, L. (2011). *Integration of BIM and GIS: The Development of the CityGML GeoBIM Extension*. March 2011, 211–225. https://doi.org/10.1007/978-3-642-12670-3_13
- Deng, Y., Cheng, J. C. P., & Anumba, C. (2016). Mapping between BIM and 3D GIS in different levels of detail using schema mediation and instance comparison. *Automation in Construction*, 67, 1–21. <https://doi.org/10.1016/j.autcon.2016.03.006>
- Departemen Pekerjaan Umum Direktorat Bina Marga. (2008a). *Pedoman Leger Jalan Buku 1 Pedoman Pengadaan Leger*.
- Departemen Pekerjaan Umum Direktorat Bina Marga. (2008b). *Pedoman Leger Jalan Buku - 2 Pedoman Pelaksanaan Teknis Leger Jalan*.
- Departemen Pekerjaan Umum Direktorat Bina Marga. (2008c). *Pedoman Leger Jalan Buku - 3 Pedoman Pengisian Form Kartu Leger Jalan*.
- Direktorat Jenderal Bina Marga Kementerian PUPR. (2021). *Surat Edaran Direktur Jenderal Bina Marga Nomor 11/SE/Db/2021*.
- El-Mekawy, M., Östman, A., & Hijazi, I. (2012). A unified building model for 3D urban GIS. *ISPRS International Journal of Geo-Information*, 1(2), 120–145. <https://doi.org/10.3390/ijgi1020120>



- Estman, C., Teicholz, P., Sack, R., & Liston, K. (2011). BIM Handbook, a Guide to Building Information Modelling 2nd ed. In *John Wiley & Sons, Inc, Hoboken*.
- Fan, H. (2009). *Automatic Derivation of Different Levels of Detail for 3D Buildings Modeled By Citygml. April 2015*.
- Fosu, R., Suprabhas, K., Rathore, Z., & Cory, C. (2015). Integration of Building Information Modeling (BIM) and Geographic Information Systems (GIS) – a literature review and future needs. *Proc. of the 32nd CIB W78 Conference 2015, 27th-29th October 2015, Eindhoven, The Netherlands*, 196–204.
- Ghilani, C. D., & Wolf, P. R. (2016). *Adjustment Computations Spatial Data Analysis* (4th editio). John Wiley & Sons, Inc., Hoboken, New Jersey.
- Gröger, G., Kolbe, T. H., Nagel, C., & Häfele, K.-H. (2012). OpenGIS City Geography Markup Language (CityGML) Encoding Standard, Version 2.0.0. *OGC Document No. 12-019*, 344. https://portal.opengeospatial.org/files/?artifact_id=47842
- Gröger, G., & Plümer, L. (2012). CityGML - Interoperable semantic 3D city models. *ISPRS Journal of Photogrammetry and Remote Sensing*, 71, 12–33. <https://doi.org/10.1016/j.isprsjprs.2012.04.004>
- Guillen, A. J., Crespo, A., Gómez, J., González-Prida, V., Kobbacy, K., & Shariff, S. (2016). Building Information Modeling as Assest Management Tool. *IFAC-PapersOnLine*, 49(28), 191–196. <https://doi.org/10.1016/j.ifacol.2016.11.033>
- Guzman, G., & Ulloa, W. (2020). BIM application in the operation and maintenance management of a sports infrastructure. *IGLC 28 - 28th Annual Conference of the International Group for Lean Construction 2020, July*, 949–960. <https://doi.org/10.24928/2020/0015>
- Hendriatiningsih, S., Suwardhi, D., & Januragadi. (2015). 3D model based on terrestrial laser scanning (TLS) case study: The cangkuang temple, Garut district, West Java, Indonesia. *Journal of Engineering and Technological Sciences*, 47(1), 1–19. <https://doi.org/10.5614/j.eng.technol.sci.2015.47.1.1>
- Hijazi, I., Ehlers, M., Zlatanova, S., & Isikdag, U. (2009). IFC to CityGML transformation framework for geo-analysis: a water utility network case. *4th International Workshop on 3D Geo-Information*, 123–127. http://www.gdmc.nl/publications/2009/IFC_to_CityGML.pdf
- Isikdag, U., & Zlatanova, S. (2009). Towards defining a framework for automatic generation of buildings in citygml using building information models. *Lecture Notes in Geoinformation and Cartography, May 2014*, 79–96. https://doi.org/10.1007/978-3-540-87395-2_6
- Jian, S. (2020). The application of BIM technology in road and bridge construction management. *IOP Conference Series: Earth and Environmental Science*, 587(1). <https://doi.org/10.1088/1755-1315/587/1/012002>
- Johansson, M., & Roupé, M. (2019). BIM and Virtual Reality (VR) at the construction site. *Enabling digital technologies to sustain construction growth and efficiency*, 19(November 2019), 1–10.
- Jourdan, M., Meyer, F., & Bacher, J. P. (2019). Towards an integrated approach of building-data management through the convergence of Building Information Modelling and Internet of Things. *Journal of Physics: Conference Series*, 1343(1), 1–7. <https://doi.org/10.1088/1742-6596/1343/1/012135>
- Julin, A., Jaalama, K., Virtanen, J. P., Pouke, M., Ylipulli, J., Vaaja, M., Hyypä, J., & Hyypä, H. (2018). Characterizing 3d city modeling projects: Towards a harmonized interoperable system. *ISPRS International Journal of Geo-Information*, 7(2). <https://doi.org/10.3390/ijgi7020055>
- Kementerian Pekerjaan Umum. (2005). *Peraturan Menteri Pekerjaan Umum Nomor*



Kementerian Pekerjaan Umum dan Perumahan Rakyat. (2023). *Peraturan Menteri Pekerjaan Umum dan Perumahan Rakyat Republik Indonesia Nomor 5 Tahun 2023*.

Kementerian Pekerjaan Umum dan Perumahan Rakyat Direktorat Jenderal Bina Marga. (2021). *Pedoman Bidang Jalan dan Jembatan No 7/P/BM/2021 : Perencanaan dan pemrograman Pekerjaan Preservasi Jaringan Jalan (Bagian dari Manajemen Aset Prasarana Jalan)*.

Kieferle, J., & Woessner, U. (2015). BIM Interactive - About Combining BIM and Virtual Reality. *Real Time: Proceedings of the 33rd eCAADe Conference, Vienna, Austria.*, 1, 69–75. http://papers.cumincad.org/cgi-bin/works/paper/ecaade2015_329%0Ahttps://pdfs.semanticscholar.org/b0ee/68e29c8bb98c6022aaca25d48c1939575d83.pdf

Kocakaya, M. N., Namli, E., & Isikdag, U. (2019). Building Information Management (BIM), A New Approach to Project Management. *Journal of Sustainable Construction Materials and Technologies*, 4(1), 323–332. <https://doi.org/10.29187/jscmt.2019.36>

Lesparre, J., & Gorte, B. G. H. (2012). Simplified 3D City Models From Lidar. *The International Archives of the Photogrammetry, Remote Sensing and Spatial Information Sciences*, XXXIX-B2(September), 1–4. <https://doi.org/10.5194/isprsarchives-xxxix-b2-1-2012>

Lin, C. C., Hsu, L. Y., Tung, S. H., Gao, R. J., Wu, S. M., & Wang, K. C. (2020). Integrate BIM and virtual reality to assist construction visual marketing. *2nd IEEE International Conference on Architecture, Construction, Environment and Hydraulics 2020, ICACEH 2020*, 28–31. <https://doi.org/10.1109/ICACEH51803.2020.9366260>

Liu, X., Wang, X., Wright, G., Cheng, J. C. P., Li, X., & Liu, R. (2017). A state-of-the-art review on the integration of Building Information Modeling (BIM) and Geographic Information System (GIS). *ISPRS International Journal of Geo-Information*, 6(2), 1–22. <https://doi.org/10.3390/ijgi6020053>

Nagel, C. (2007). Conversion of IFC to CityGML. *Meeting of the OGC 3DIM Working Group*. http://spirit.bv.tu-berlin.de/igg/htdocs/fileadmin/user_upload/Nagel/ogc_paris_nagel.pdf

Nagel, C., Stadler, A., & Kolbe, T. H. (2009). Conceptual Requirements for the Automatic Reconstruction of Building Information Models from Uninterpreted 3D Models. *Proceedings of the Academic Track of the Geoweb 2009 - 3D Cityscapes Conference in Vancouver, Canada, 27-31 July 2009, January 2009*, 46–53. http://www.citygml.org/typo3-igg/fileadmin/user_upload/Stadler/Nagel_Stadler_Kolbe-Geoweb2009_final.pdf%5Cnhttp://www.isprs.org/proceedings/xxxviii/3_4-c3/paper_geow09/paper26_nagel_stadler_kolbe.pdf

Noardo, F., Arroyo Ohori, K., Biljecki, F., Krijnen, T., Ellul, C., Harrie, L., & Stoter, J. (2019). Geobim benchmark 2019: Design and initial results. *International Archives of the Photogrammetry, Remote Sensing and Spatial Information Sciences - ISPRS Archives*, 42(2/W13), 1339–1346. <https://doi.org/10.5194/isprs-archives-XLII-2-W13-1339-2019>

Nugrahini, F. C., & Permana, T. A. (2020). Building Information Modelling (BIM) dalam Tahapan Desain dan Konstruksi di Indonesia, Peluang Dan Tantangan : Studi Kasus Perluasan T1 Bandara Juanda Surabaya. *Agregat*, 5(2), 459–467. <https://doi.org/10.30651/ag.v5i2.6588.g3373>

Pemerintah Republik Indonesia. (2006). *Peraturan Pemerintah Republik Indonesia Nomor 34 Tahun 2006 Tentang Jalan*.

Putra, R. W. (2022). *Evaluasi Format Data CityGML Dan CityJSON Untuk Kadaster 3D Di*



Indonesia. Universitas Gadjah Mada.

- Qin, R., Gruen, A., & Huang, X. (2012). UAV project - Building a reality-based 3D model of the NUS (National University of Singapore) campus. *33rd Asian Conference on Remote Sensing 2012, ACRS 2012*, 2(January), 1252–1259.
- Raflis, R., Yuwono, B. E., & Rayshanda, R. (2019). Manfaat Penggunaan Building Information Modelling (Bim) Pada Proyek Konstruksi Sebagai Media Komunikasi Stakeholders. *Indonesian Journal of Construction Engineering and Sustainable Development (Cesd)*, 1(2), 62. <https://doi.org/10.25105/cesd.v1i2.4197>
- Rahman, A. A., & Pilouk, M. (2008). *Spatial modelling for 3D GIS*. <https://libgen.is/book/index.php?md5=9E92F230EC68B67C9BC5D9EA69489AAB>
- Rahmawati, N., Prasetyo, Y., & Hadi, F. (2021). PEMODELAN MODEL 3D MENGGUNAKAN METODE TLS (TERRESTRIAL LASER SCANNER). *Geodesi Undip*, 10, 224–232.
- Rayendra, B. W. S. (2014). Studi Aplikasi Teknologi Building Information Modeling Untuk Pra-Konstruksi. *Symposium Nasional RAPI XIII*, 14–21.
- Remondino, F., Barazzetti, L., Nex, F., Scaioni, M., & Sarazzi, D. (2012). Uav Photogrammetry for Mapping and 3D Modeling – Current Status and Future Perspectives. *The International Archives of the Photogrammetry, Remote Sensing and Spatial Information Sciences*, XXXVIII-1/(June 2014), 25–31. <https://doi.org/10.5194/isprsarchives-xxxviii-1-c22-25-2011>
- Tse, R., Gold, C., & Kidner, D. (2008). 3D city modelling from LIDAR data. *Lecture Notes in Geoinformation and Cartography*, 161–175. https://doi.org/10.1007/978-3-540-72135-2_10
- Valdepeñas, P., Pérez, M. D. E., Henche, C., Rodríguez-Escribano, R., Fernández, G., & López-Gutiérrez, J. S. (2020). Application of the BIM method in the management of the maintenance in port infrastructures. *Journal of Marine Science and Engineering*, 8(12), 1–22. <https://doi.org/10.3390/jmse8120981>
- Widjajanti, N. (2011). *Statistik dan Teori Kesalahan*. Universitas Gadjah Mada.
- Widjajanti, N., Sutanta, H., Lestari, D., & Yulaikhah. (2017). Statistik dan Teori Kesalahan. *Departemen Teknik Geodesi, Universitas Gadjah Mada*.
- Xu, X., Ma, L., & Ding, L. (2014). A framework for BIM-enabled life-cycle information management of construction project. *International Journal of Advanced Robotic Systems*, 11(1), 1–13. <https://doi.org/10.5772/58445>
- Zhao, L., Liu, Z., & Mbachu, J. (2019). Highway alignment optimization: An integrated BIM and GIS approach. *ISPRS International Journal of Geo-Information*, 8(4). <https://doi.org/10.3390/ijgi8040172>



LAMPIRAN



UNIVERSITAS
GADJAH MADA

Peningkatan Leger Jalan Dari Model 2D Menjadi Model 3d Untuk Kegiatan Preservasi Jalan
LUTHVIASARI ASTUDIRO, Prof. Ir. Trias Aditya K.M., S.T., M.Sc., Ph.D., IPU. 69
Universitas Gadjah Mada, 2023 | Diunduh dari <http://etd.repository.ugm.ac.id/>

LAMPIRAN A

DATA DIMENSI MODEL 3D JALAN TOL LAYANG AP PETTARANI BERDASARKAN DATA PADA KARTU LEGER JALAN DAN JEMBATAN

**Lampiran 1 Dimensi Pilar Model 3D Jalan Utama Tol Layang AP Pettarani**

| Nama Pilar | Elevasi dasar (mm) | Tinggi Tiang (mm) | Tebal Kepala Tiang (mm) | Tebal Bantalan (mm) | Tinggi Bangunan Atas (mm) | Tebal Aspal (mm) |
|---------------|--------------------|-------------------|-------------------------|---------------------|---------------------------|------------------|
| Pile slab P1 | 3628 | 0 | 0 | 0 | 350 | 50 |
| Pile slab P2 | 3734 | 0 | 0 | 0 | 350 | 50 |
| Pile slab P3 | 3664 | 0 | 175 | 0 | 350 | 50 |
| Pile slab P4 | 3594 | 0 | 350 | 0 | 350 | 50 |
| Pile slab P5 | 3699 | 0 | 350 | 0 | 350 | 50 |
| Pile slab P6 | 3630 | 0 | 525 | 0 | 350 | 50 |
| Pile slab P7 | 3560 | 0 | 700 | 0 | 350 | 50 |
| Pile slab P8 | 3665 | 0 | 700 | 0 | 350 | 50 |
| Pile slab P9 | 3665 | 0 | 700 | 0 | 350 | 50 |
| Pile slab P10 | 3924 | 0 | 700 | 0 | 350 | 50 |
| Pile slab P11 | 3983 | 200 | 700 | 0 | 350 | 50 |
| Pile slab P12 | 3942 | 500 | 700 | 0 | 350 | 50 |
| Pile slab P13 | 4028 | 750 | 700 | 0 | 350 | 50 |
| Pile slab P14 | 4013 | 1100 | 700 | 0 | 350 | 50 |
| Pile slab P15 | 4099 | 1350 | 700 | 0 | 350 | 50 |
| Pile slab P16 | 4134 | 1650 | 700 | 0 | 350 | 50 |
| Pile slab P17 | 4170 | 1950 | 700 | 0 | 350 | 50 |
| Pile slab P18 | 4274 | 2200 | 700 | 0 | 350 | 50 |
| Pile slab P19 | 4378 | 2450 | 700 | 0 | 350 | 50 |
| Pile slab P20 | 4431 | 2750 | 700 | 0 | 350 | 50 |
| Pile slab P21 | 4485 | 3050 | 700 | 0 | 350 | 50 |
| Pile slab P22 | 4185 | 3350 | 700 | 0 | 350 | 50 |
| Pile slab P23 | 4164 | 3600 | 700 | 0 | 350 | 50 |
| Pile slab P24 | 4094 | 3900 | 700 | 0 | 350 | 50 |
| Pile slab P25 | 4023 | 4200 | 700 | 0 | 350 | 50 |
| PA1 | 3923 | 0 | 5000 | 0 | 350 | 50 |
| PA1 | 3923 | 0 | 2750 | 0 | 2600 | 50 |
| P26 | 4246 | 1600 | 2500 | 400 | 2600 | 50 |
| P27 | 4419 | 3500 | 2500 | 400 | 2600 | 50 |
| P28 | 2469 | 5450 | 2500 | 400 | 2600 | 50 |
| P29 | 4422 | 7500 | 2500 | 400 | 2600 | 50 |
| P30 | 3926 | 9550 | 2500 | 500 | 2600 | 50 |
| P31 | 3430 | 11700 | 2500 | 500 | 2600 | 50 |
| P32 | 3345 | 13100 | 2500 | 500 | 2600 | 50 |
| P33 | 3960 | 13800 | 2500 | 500 | 2600 | 50 |
| P34 | 3131 | 14150 | 2500 | 500 | 2600 | 50 |
| P35 | 2851 | 13950 | 2500 | 500 | 2600 | 50 |
| P36 | 2842 | 13300 | 2500 | 500 | 2600 | 50 |
| P37 | 3482 | 12000 | 2500 | 500 | 2600 | 50 |
| P38 | 3424 | 10550 | 2500 | 500 | 2600 | 50 |
| P39 | 3365 | 9100 | 2500 | 500 | 2600 | 50 |
| P40 | 3223 | 7800 | 2500 | 500 | 2600 | 50 |
| P41 | 3081 | 6500 | 2500 | 500 | 2600 | 50 |



| Nama Pilar | Elevasi dasar (mm) | Tinggi Tiang (mm) | Tebal Kepala Tiang (mm) | Tebal Bantalan (mm) | Tinggi Bangunan Atas (mm) | Tebal Aspal (mm) |
|------------|--------------------|-------------------|-------------------------|---------------------|---------------------------|------------------|
| P42 | 3030 | 5700 | 2500 | 500 | 2600 | 50 |
| P43 | 2829 | 5050 | 2500 | 500 | 2600 | 50 |
| P44 | 3098 | 4800 | 2500 | 500 | 2600 | 50 |
| P45 | 3067 | 4850 | 2500 | 500 | 2600 | 50 |
| P46 | 2867 | 5050 | 2500 | 500 | 2600 | 50 |
| P47 | 3014 | 5100 | 2500 | 500 | 2600 | 50 |
| P48 | 3014 | 5100 | 2500 | 500 | 2600 | 50 |
| P49 | 3603 | 5250 | 2500 | 500 | 2600 | 50 |
| P50 | 3403 | 5450 | 2500 | 500 | 2600 | 50 |
| P51 | 3199 | 5600 | 2500 | 500 | 2600 | 50 |
| P52 | 3099 | 5700 | 2500 | 500 | 2600 | 50 |
| P53 | 3528 | 5900 | 2500 | 500 | 2600 | 50 |
| P54 | 3428 | 6000 | 2500 | 500 | 2600 | 50 |
| P55 | 3321 | 6000 | 2500 | 500 | 2600 | 50 |
| P56 | 3171 | 6150 | 2500 | 500 | 2600 | 50 |
| P57 | 3472 | 6250 | 2500 | 500 | 2600 | 50 |
| P58 | 3422 | 6300 | 2500 | 500 | 2600 | 50 |
| P59 | 3344 | 6450 | 2500 | 500 | 2600 | 50 |
| P60 | 3144 | 6650 | 2500 | 500 | 2600 | 50 |
| P61 | 3486 | 6800 | 2500 | 500 | 2600 | 50 |
| P62 | 3336 | 6900 | 2500 | 550 | 2600 | 50 |
| P63 | 3463 | 7000 | 2500 | 550 | 2600 | 50 |
| P64 | 3363 | 7100 | 2500 | 550 | 2600 | 50 |
| P65 | 3604 | 7250 | 2500 | 550 | 2600 | 50 |
| P66 | 3354 | 7500 | 2500 | 550 | 2600 | 50 |
| P67 | 3408 | 7650 | 2500 | 550 | 2600 | 50 |
| P68 | 3458 | 7600 | 2500 | 550 | 2600 | 50 |
| P69 | 3267 | 7600 | 2500 | 550 | 2600 | 50 |
| P70 | 3417 | 7450 | 2500 | 550 | 2600 | 50 |
| P71 | 3192 | 7300 | 2500 | 550 | 2600 | 50 |
| P72 | 3442 | 7050 | 2500 | 550 | 2600 | 50 |
| P73 | 3263 | 6900 | 2500 | 550 | 2600 | 50 |
| P74 | 3563 | 6600 | 2500 | 550 | 2600 | 50 |
| P75 | 3425 | 6500 | 2500 | 550 | 2600 | 50 |
| P76 | 3625 | 6300 | 2500 | 550 | 2600 | 50 |
| P77 | 3569 | 6000 | 2500 | 550 | 2600 | 50 |
| P78 | 3819 | 5750 | 2500 | 550 | 2600 | 50 |
| P79 | 3881 | 5450 | 2500 | 550 | 2600 | 50 |
| P80 | 3692 | 5400 | 2500 | 550 | 2600 | 50 |
| P81 | 3853 | 5250 | 2500 | 550 | 2600 | 50 |
| P82 | 3913 | 5200 | 2500 | 550 | 2600 | 50 |
| P83 | 4009 | 5200 | 2500 | 550 | 2600 | 50 |
| P84 | 4105 | 5200 | 2500 | 550 | 2600 | 50 |



| Nama Pilar | Elevasi dasar (mm) | Tinggi Tiang (mm) | Tebal Kepala Tiang (mm) | Tebal Bantalan (mm) | Tinggi Bangunan Atas (mm) | Tebal Aspal (mm) |
|------------|--------------------|-------------------|-------------------------|---------------------|---------------------------|------------------|
| P85 | 4187 | 5300 | 2500 | 550 | 2600 | 50 |
| P86 | 4169 | 5500 | 2500 | 550 | 2600 | 50 |
| P87 | 4217 | 5600 | 2500 | 550 | 2600 | 50 |
| P88 | 4265 | 5700 | 2500 | 550 | 2600 | 50 |
| P89 | 4187 | 5900 | 2500 | 550 | 2600 | 50 |
| P90 | 4109 | 6100 | 2500 | 550 | 2600 | 50 |
| P91 | 4009 | 6200 | 2500 | 550 | 2600 | 50 |
| P92 | 3951 | 6450 | 2500 | 550 | 2600 | 50 |
| P93 | 3951 | 6450 | 2500 | 550 | 2600 | 50 |
| P94 | 3999 | 6500 | 2500 | 550 | 2600 | 50 |
| P95 | 3999 | 6500 | 2500 | 550 | 2600 | 50 |
| P96 | 3818 | 6350 | 2500 | 550 | 2600 | 50 |
| P97 | 3818 | 6350 | 2500 | 550 | 2600 | 50 |
| P98 | 3761 | 6200 | 2500 | 550 | 2600 | 50 |
| P99 | 3753 | 6000 | 2500 | 550 | 2600 | 50 |

**Lampiran 2. Dimensi Pilar Model 3D Ramp On Boulevard**

| Nama Pilar | Elevasi dasar (mm) | Tinggi Tiang (mm) | Tebal Kepala Tiang (mm) | Tebal Bantalan (mm) | Tinggi Bangunan Atas (mm) | Tebal Aspal (mm) |
|------------|--------------------|-------------------|-------------------------|---------------------|---------------------------|------------------|
| RN-Bou P1 | 3673 | 8500 | 1500 | 350 | 2600 | 50 |
| RN-Bou P2 | 3531 | 7200 | 1500 | 350 | 2600 | 50 |
| RN-Bou P3 | 3430 | 6450 | 1500 | 350 | 2600 | 50 |
| RN-Bou P4 | 3079 | 5900 | 1500 | 400 | 2600 | 50 |
| RN-Bou P5 | 3248 | 5700 | 1500 | 450 | 2600 | 50 |
| RN-Bou P6 | 3067 | 5700 | 1500 | 450 | 2600 | 50 |
| RN-Bou P6 | 3067 | 5700 | 2450 | 450 | 1650 | 50 |
| RN-Bou P7 | 2967 | 6950 | 1500 | 350 | 1650 | 50 |
| RN-Bou P8 | 2867 | 6650 | 1500 | 450 | 1650 | 50 |
| RN-Bou P9 | 2941 | 6250 | 1500 | 450 | 1650 | 50 |
| RN-Bou P10 | 3014 | 5500 | 1500 | 450 | 1650 | 50 |
| RN-Bou P11 | 3014 | 4450 | 1500 | 450 | 1650 | 50 |
| RN-Bou P12 | 3014 | 3400 | 1500 | 450 | 1650 | 50 |
| RN-Bou P13 | 3309 | 2600 | 1500 | 450 | 1650 | 50 |
| RN-Bou P14 | 3603 | 1450 | 1500 | 450 | 1650 | 50 |
| RN-Bou P15 | 3503 | 500 | 1500 | 400 | 1650 | 50 |
| RN-Bou PA1 | 3403 | 0 | 1050 | 400 | 1650 | 50 |
| RN-Bou PA1 | 3403 | 0 | 2750 | 0 | 350 | 50 |
| RN-Bou P16 | 3374 | 1500 | 700 | 0 | 350 | 50 |
| RN-Bou P17 | 3345 | 1250 | 700 | 0 | 350 | 50 |
| RN-Bou P18 | 3316 | 900 | 700 | 0 | 350 | 50 |
| RN-Bou P19 | 3286 | 450 | 700 | 0 | 350 | 50 |
| RN-Bou P20 | 3257 | 250 | 700 | 0 | 350 | 50 |
| RN-Bou P21 | 3228 | 0 | 700 | 0 | 350 | 50 |
| RN-Bou P22 | 3199 | 0 | 550 | 0 | 350 | 50 |
| RN-Bou P23 | 3199 | 0 | 350 | 0 | 350 | 50 |
| RN-Bou PA2 | 3149 | 0 | 0 | 0 | 350 | 50 |



Lampiran 3. Dimensi Pilar Model 3D Ramp Off Boulevard

| Nama Pilar | Elevasi dasar (mm) | Tinggi Tiang (mm) | Tebal Kepala Tiang (mm) | Tebal Bantalan (mm) | Tinggi Bangunan Atas (mm) | Tebal Aspal (mm) |
|------------|--------------------|-------------------|-------------------------|---------------------|---------------------------|------------------|
| RF-Bou P1 | 3171 | 7200 | 1500 | 450 | 2600 | 50 |
| RF-Bou P2 | 3672 | 7200 | 1500 | 350 | 2600 | 50 |
| RF-Bou P3 | 3672 | 7200 | 1500 | 350 | 2600 | 50 |
| RF-Bou P4 | 3694 | 7250 | 1500 | 350 | 2600 | 50 |
| RF-Bou P5 | 3144 | 6950 | 1500 | 350 | 2600 | 50 |
| RF-Bou P5 | 3144 | 6950 | 2400 | 400 | 1650 | 50 |
| RF-Bou P6 | 3315 | 7700 | 1500 | 450 | 1650 | 50 |
| RF-Bou P7 | 3486 | 7450 | 1500 | 450 | 1650 | 50 |
| RF-Bou P8 | 3411 | 6350 | 1500 | 450 | 1650 | 50 |
| RF-Bou P9 | 3336 | 5400 | 1500 | 450 | 1650 | 50 |
| RF-Bou P10 | 3400 | 4400 | 1500 | 450 | 1650 | 50 |
| RF-Bou P11 | 3463 | 3350 | 1500 | 450 | 1650 | 50 |
| RF-Bou P12 | 3413 | 2350 | 1500 | 450 | 1650 | 50 |
| RF-Bou P13 | 3363 | 1350 | 1500 | 450 | 1650 | 50 |
| RF-Bou P14 | 3484 | 400 | 1500 | 450 | 1650 | 50 |
| RF-Bou A1 | 3604 | 0 | 1000 | 400 | 1650 | 50 |
| RF-Bou A1 | 3604 | 0 | 2700 | 0 | 350 | 50 |
| RF-Bou P15 | 3562 | 1250 | 700 | 0 | 350 | 50 |
| RF-Bou P16 | 3521 | 950 | 700 | 0 | 350 | 50 |
| RF-Bou P17 | 3479 | 650 | 700 | 0 | 350 | 50 |
| RF-Bou P18 | 3437 | 350 | 700 | 0 | 350 | 50 |
| RF-Bou P19 | 3396 | 0 | 700 | 0 | 350 | 50 |
| RF-Bou P20 | 3354 | 0 | 550 | 0 | 350 | 50 |
| RF-Bou P21 | 3354 | 0 | 200 | 0 | 350 | 50 |
| RF-Bou P22 | 3503 | 0 | 0 | 0 | 350 | 50 |

**Lampiran 4. Dimensi Pilar Model 3D Ramp On Allaудин**

| Nama Pilar | Elevasi dasar (mm) | Tinggi Tiang (mm) | Tebal Kepala Tiang (mm) | Tebal Bantalan (mm) | Tinggi Bangunan Atas (mm) | Tebal Aspal (mm) |
|------------|--------------------|-------------------|-------------------------|---------------------|---------------------------|------------------|
| RN-Ala P1 | 3653 | 6550 | 1500 | 450 | 2600 | 50 |
| RN-Ala P2 | 3663 | 6550 | 1500 | 450 | 2600 | 50 |
| RN-Ala P3 | 3759 | 6550 | 1500 | 450 | 2600 | 50 |
| RN-Ala P4 | 4255 | 6150 | 1500 | 450 | 2600 | 50 |
| RN-Ala P5 | 4387 | 6200 | 1500 | 450 | 2600 | 50 |
| RN-Ala P5 | 4387 | 6200 | 2450 | 450 | 1650 | 50 |
| RN-Ala P6 | 4278 | 7500 | 1500 | 450 | 1650 | 50 |
| RN-Ala P7 | 4169 | 7550 | 1500 | 450 | 1650 | 50 |
| RN-Ala P8 | 4193 | 7250 | 1500 | 450 | 1650 | 50 |
| RN-Ala P9 | 4217 | 6500 | 1500 | 450 | 1650 | 50 |
| RN-Ala P10 | 4241 | 5400 | 1500 | 450 | 1650 | 50 |
| RN-Ala P11 | 4265 | 4300 | 1500 | 450 | 1650 | 50 |
| RN-Ala P12 | 4226 | 3300 | 1500 | 450 | 1650 | 50 |
| RN-Ala P13 | 4187 | 2400 | 1500 | 450 | 1650 | 50 |
| RN-Ala P14 | 4148 | 1200 | 1500 | 450 | 1650 | 50 |
| RN-Ala A1 | 4109 | 0 | 2200 | 400 | 1650 | 50 |
| RN-Ala A1 | 4109 | 0 | 3900 | 0 | 350 | 50 |
| RN-Ala P15 | 4109 | 1900 | 700 | 0 | 350 | 50 |
| RN-Ala P16 | 4109 | 1500 | 700 | 0 | 350 | 50 |
| RN-Ala P17 | 4076 | 1150 | 700 | 0 | 350 | 50 |
| RN-Ala P18 | 4042 | 800 | 700 | 0 | 350 | 50 |
| RN-Ala P19 | 4009 | 500 | 700 | 0 | 350 | 50 |
| RN-Ala P20 | 3999 | 200 | 700 | 0 | 350 | 50 |
| RN-Ala P21 | 3990 | 0 | 700 | 0 | 350 | 50 |
| RN-Ala P22 | 3980 | 0 | 550 | 0 | 350 | 50 |
| RN-Ala P23 | 3970 | 0 | 50 | 0 | 350 | 50 |
| RN-Ala A2 | 3961 | 0 | 0 | 0 | 350 | 50 |

**Lampiran 5. Dimensi Pilar Model 3D Ramp Off Allaudin**

| Nama Pilar | Elevasi dasar (mm) | Tinggi Tiang (mm) | Tebal Kepala Tiang (mm) | Tebal Bantalan (mm) | Tinggi Bangunan Atas (mm) | Tebal Aspal (mm) |
|------------|--------------------|-------------------|-------------------------|---------------------|---------------------------|------------------|
| RF-Ala P1 | 3891 | 7427 | 1500 | 400 | 2600 | 50 |
| RF-Ala P2 | 3946 | 7322 | 1500 | 450 | 2600 | 50 |
| RF-Ala P3 | 3854 | 7207 | 1500 | 450 | 2600 | 50 |
| RF-Ala P4 | 3951 | 6902 | 1500 | 450 | 2600 | 50 |
| RF-Ala P4 | 3971 | 6902 | 2450 | 450 | 1650 | 50 |
| RF-Ala P5 | 3991 | 6750 | 1500 | 450 | 1650 | 50 |
| RF-Ala P6 | 4010 | 5850 | 1500 | 450 | 1650 | 50 |
| RF-Ala P7 | 4030 | 5200 | 1500 | 450 | 1650 | 50 |
| RF-Ala P8 | 4050 | 4300 | 1500 | 450 | 1650 | 50 |
| RF-Ala P9 | 3982 | 3400 | 1500 | 450 | 1650 | 50 |
| RF-Ala P10 | 3915 | 2300 | 1500 | 450 | 1650 | 50 |
| RF-Ala P11 | 3847 | 1250 | 1500 | 450 | 1650 | 50 |
| RF-Ala P12 | 3779 | 100 | 1500 | 400 | 1650 | 50 |
| RF-Ala A1 | 3798 | 0 | 1200 | 400 | 1650 | 50 |
| RF-Ala A1 | 3798 | 0 | 2900 | 0 | 350 | 50 |
| RF-Ala P13 | 3817 | 1100 | 700 | 0 | 350 | 50 |
| RF-Ala P14 | 3836 | 400 | 700 | 0 | 350 | 50 |
| RF-Ala P15 | 3854 | 200 | 700 | 0 | 350 | 50 |
| RF-Ala P16 | 3873 | 0 | 700 | 0 | 350 | 50 |
| RF-Ala P17 | 3892 | 0 | 350 | 0 | 350 | 50 |
| RF-Ala A2 | 3911 | 0 | 0 | 0 | 0 | 50 |



UNIVERSITAS
GADJAH MADA

Peningkatan Leger Jalan Dari Model 2D Menjadi Model 3d Untuk Kegiatan Preservasi Jalan
LUTHVIASARI ASTUDIRO, Prof. Ir. Trias Aditya K.M., S.T., M.Sc., Ph.D., IPU. 77
Universitas Gadjah Mada, 2023 | Diunduh dari <http://etd.repository.ugm.ac.id/>

LAMPIRAN B

DATA VOLUME DAN DIMENSI MODEL 3D JALAN TOL LAYANG AP PETTARANI HASIL PENGUKURAN TLS

**Lampiran 6. Volume Pilar Model 3D Pengukuran TLS**

| Daftar Volume Tiang Pancang | | | |
|-----------------------------|-----------------------|---------------|-------------|
| Family | Volume | Description | Lokasi |
| PIER-01 | 120.84 m ³ | Tiang Pancang | Jalan Utama |
| PIER-02 | 132.30 m ³ | Tiang Pancang | Jalan Utama |
| PIER-03 | 144.71 m ³ | Tiang Pancang | Jalan Utama |
| PIER-04 | 156.45 m ³ | Tiang Pancang | Jalan Utama |
| PIER-05 | 169.58 m ³ | Tiang Pancang | Jalan Utama |
| PIER-06 | 183.10 m ³ | Tiang Pancang | Jalan Utama |
| PIER-07 | 191.14 m ³ | Tiang Pancang | Jalan Utama |
| PIER-08 | 195.57 m ³ | Tiang Pancang | Jalan Utama |
| PIER-09 | 198.05 m ³ | Tiang Pancang | Jalan Utama |
| PIER-10 | 196.80 m ³ | Tiang Pancang | Jalan Utama |
| PIER-11 | 192.27 m ³ | Tiang Pancang | Jalan Utama |
| PIER-12 | 184.56 m ³ | Tiang Pancang | Jalan Utama |
| PIER-13 | 86.61 m ³ | Tiang Pancang | Jalan Utama |
| PIER-14 | 166.64 m ³ | Tiang Pancang | Jalan Utama |
| PIER-15 | 158.32 m ³ | Tiang Pancang | Jalan Utama |
| PIER-16 | 151.43 m ³ | Tiang Pancang | Jalan Utama |
| PIER-17 | 144.71 m ³ | Tiang Pancang | Jalan Utama |
| PIER-18 | 140.84 m ³ | Tiang Pancang | Jalan Utama |
| PIER-19 | 139.57 m ³ | Tiang Pancang | Jalan Utama |
| PIER-20 | 140.76 m ³ | Tiang Pancang | Jalan Utama |
| PIER-21 | 142.42 m ³ | Tiang Pancang | Jalan Utama |
| PIER-22 | 142.16 m ³ | Tiang Pancang | Jalan Utama |
| PIER-23 | 141.94 m ³ | Tiang Pancang | Jalan Utama |
| PIER-24 | 142.95 m ³ | Tiang Pancang | Jalan Utama |
| PIER-25 | 144.43 m ³ | Tiang Pancang | Jalan Utama |
| PIER-26 | 144.93 m ³ | Tiang Pancang | Jalan Utama |
| PIER-27 | 146.66 m ³ | Tiang Pancang | Jalan Utama |
| PIER-28 | 147.60 m ³ | Tiang Pancang | Jalan Utama |
| PIER-29 | 146.26 m ³ | Tiang Pancang | Jalan Utama |
| PIER-30 | 147.98 m ³ | Tiang Pancang | Jalan Utama |
| PIER-31 | 148.17 m ³ | Tiang Pancang | Jalan Utama |
| PIER-32 | 148.79 m ³ | Tiang Pancang | Jalan Utama |
| PIER-33 | 149.49 m ³ | Tiang Pancang | Jalan Utama |
| PIER-34 | 150.14 m ³ | Tiang Pancang | Jalan Utama |
| PIER-35 | 151.02 m ³ | Tiang Pancang | Jalan Utama |
| PIER-36 | 151.65 m ³ | Tiang Pancang | Jalan Utama |
| PIER-37 | 152.54 m ³ | Tiang Pancang | Jalan Utama |



| Daftar Volume Tiang Pancang | | | |
|-----------------------------|-----------------------|---------------|-------------|
| Family | Volume | Description | Lokasi |
| PIER-38 | 153.21 m ³ | Tiang Pancang | Jalan Utama |
| PIER-39 | 153.88 m ³ | Tiang Pancang | Jalan Utama |
| PIER-40 | 154.98 m ³ | Tiang Pancang | Jalan Utama |
| PIER-41 | 156.40 m ³ | Tiang Pancang | Jalan Utama |
| PIER-42 | 156.10 m ³ | Tiang Pancang | Jalan Utama |
| PIER-43 | 157.72 m ³ | Tiang Pancang | Jalan Utama |
| PIER-44 | 157.42 m ³ | Tiang Pancang | Jalan Utama |
| PIER-45 | 156.56 m ³ | Tiang Pancang | Jalan Utama |
| PIER-46 | 155.43 m ³ | Tiang Pancang | Jalan Utama |
| PIER-47 | 154.22 m ³ | Tiang Pancang | Jalan Utama |
| PIER-48 | 153.26 m ³ | Tiang Pancang | Jalan Utama |
| PIER-49 | 152.30 m ³ | Tiang Pancang | Jalan Utama |
| PIER-50 | 151.00 m ³ | Tiang Pancang | Jalan Utama |
| PIER-51 | 150.27 m ³ | Tiang Pancang | Jalan Utama |
| PIER-52 | 148.58 m ³ | Tiang Pancang | Jalan Utama |
| PIER-53 | 146.57 m ³ | Tiang Pancang | Jalan Utama |
| PIER-54 | 144.61 m ³ | Tiang Pancang | Jalan Utama |
| PIER-55 | 143.61 m ³ | Tiang Pancang | Jalan Utama |
| PIER-56 | 143.77 m ³ | Tiang Pancang | Jalan Utama |
| PIER-57 | 143.23 m ³ | Tiang Pancang | Jalan Utama |
| PIER-58 | 143.60 m ³ | Tiang Pancang | Jalan Utama |
| PIER-59 | 143.99 m ³ | Tiang Pancang | Jalan Utama |
| PIER-60 | 144.28 m ³ | Tiang Pancang | Jalan Utama |
| PIER-61 | 145.54 m ³ | Tiang Pancang | Jalan Utama |
| PIER-62 | 146.00 m ³ | Tiang Pancang | Jalan Utama |
| PIER-63 | 146.62 m ³ | Tiang Pancang | Jalan Utama |
| PIER-64 | 148.14 m ³ | Tiang Pancang | Jalan Utama |
| PIER-65 | 149.06 m ³ | Tiang Pancang | Jalan Utama |
| PIER-66 | 149.61 m ³ | Tiang Pancang | Jalan Utama |
| PIER-67 | 151.20 m ³ | Tiang Pancang | Jalan Utama |
| PIER-68 | 151.05 m ³ | Tiang Pancang | Jalan Utama |
| PIER-69 | 151.61 m ³ | Tiang Pancang | Jalan Utama |
| PIER-70 | 151.19 m ³ | Tiang Pancang | Jalan Utama |
| PIER-71 | 150.22 m ³ | Tiang Pancang | Jalan Utama |
| PIER-72 | 149.66 m ³ | Tiang Pancang | Jalan Utama |
| PIER-73 | 149.35 m ³ | Tiang Pancang | Jalan Utama |
| PIER-74 | 147.47 m ³ | Tiang Pancang | Jalan Utama |



| Daftar Volume Tiang Pancang | | | |
|-----------------------------|----------------------|---------------|---------------------------|
| Family | Volume | Description | Lokasi |
| PIER-PB015-REV | 52.61 m ³ | Tiang Pancang | <i>Ramp on Boulevard</i> |
| PIER-PB014-REV | 47.82 m ³ | Tiang Pancang | <i>Ramp on Boulevard</i> |
| PIER-PB013-REV | 44.36 m ³ | Tiang Pancang | <i>Ramp on Boulevard</i> |
| PIER-PB012-REV | 42.54 m ³ | Tiang Pancang | <i>Ramp on Boulevard</i> |
| PIER-PB011-REV | 42.10 m ³ | Tiang Pancang | <i>Ramp on Boulevard</i> |
| PIER-PB010-REV | 48.69 m ³ | Tiang Pancang | <i>Ramp on Boulevard</i> |
| PIER-PB009-REV | 40.09 m ³ | Tiang Pancang | <i>Ramp on Boulevard</i> |
| PIER-PB008-REV | 39.17 m ³ | Tiang Pancang | <i>Ramp on Boulevard</i> |
| PIER-PB007-REV | 37.11 m ³ | Tiang Pancang | <i>Ramp on Boulevard</i> |
| PIER-PB006-REV | 35.16 m ³ | Tiang Pancang | <i>Ramp on Boulevard</i> |
| PIER-PB005-REV | 31.32 m ³ | Tiang Pancang | <i>Ramp on Boulevard</i> |
| PIER-PB004-REV | 28.13 m ³ | Tiang Pancang | <i>Ramp on Boulevard</i> |
| PIER-PB003-REV | 24.64 m ³ | Tiang Pancang | <i>Ramp on Boulevard</i> |
| PIER-PB002-REV | 21.33 m ³ | Tiang Pancang | <i>Ramp on Boulevard</i> |
| PIER-PB001-REV | 17.86 m ³ | Tiang Pancang | <i>Ramp on Boulevard</i> |
| PIER-PBF14-REV | 47.24 m ³ | Tiang Pancang | <i>Ramp off Boulevard</i> |
| PIER-PBF13-REV | 47.66 m ³ | Tiang Pancang | <i>Ramp off Boulevard</i> |
| PIER-PBF12-REV | 48.27 m ³ | Tiang Pancang | <i>Ramp off Boulevard</i> |
| PIER-PBF11-REV | 47.84 m ³ | Tiang Pancang | <i>Ramp off Boulevard</i> |
| PIER-PBF10-REV | 53.67 m ³ | Tiang Pancang | <i>Ramp off Boulevard</i> |
| PIER-PBF09-REV | 43.92 m ³ | Tiang Pancang | <i>Ramp off Boulevard</i> |
| PIER-PBF08-REV | 41.29 m ³ | Tiang Pancang | <i>Ramp off Boulevard</i> |
| PIER-PBF07-REV | 37.87 m ³ | Tiang Pancang | <i>Ramp off Boulevard</i> |
| PIER-PBF06-REV | 34.42 m ³ | Tiang Pancang | <i>Ramp off Boulevard</i> |
| PIER-PBF05-REV | 31.31 m ³ | Tiang Pancang | <i>Ramp off Boulevard</i> |
| PIER-PBF04-REV | 27.81 m ³ | Tiang Pancang | <i>Ramp off Boulevard</i> |
| PIER-PBF03-REV | 24.74 m ³ | Tiang Pancang | <i>Ramp off Boulevard</i> |
| PIER-PBF02-REV | 20.94 m ³ | Tiang Pancang | <i>Ramp off Boulevard</i> |
| PIER-PBF01-REV | 17.03 m ³ | Tiang Pancang | <i>Ramp off Boulevard</i> |
| PIER-PA014-REV | 43.83 m ³ | Tiang Pancang | <i>Ramp on Alauddin</i> |
| PIER-PA013-REV | 43.92 m ³ | Tiang Pancang | <i>Ramp on Alauddin</i> |
| PIER-PA012-REV | 44.02 m ³ | Tiang Pancang | <i>Ramp on Alauddin</i> |
| PIER-PA011-REV | 44.19 m ³ | Tiang Pancang | <i>Ramp on Alauddin</i> |
| PIER-PA010-REV | 50.43 m ³ | Tiang Pancang | <i>Ramp on Alauddin</i> |
| PIER-PA009-REV | 42.52 m ³ | Tiang Pancang | <i>Ramp on Alauddin</i> |
| PIER-PA008-REV | 42.88 m ³ | Tiang Pancang | <i>Ramp on Alauddin</i> |
| PIER-PA007-REV | 41.73 m ³ | Tiang Pancang | <i>Ramp on Alauddin</i> |

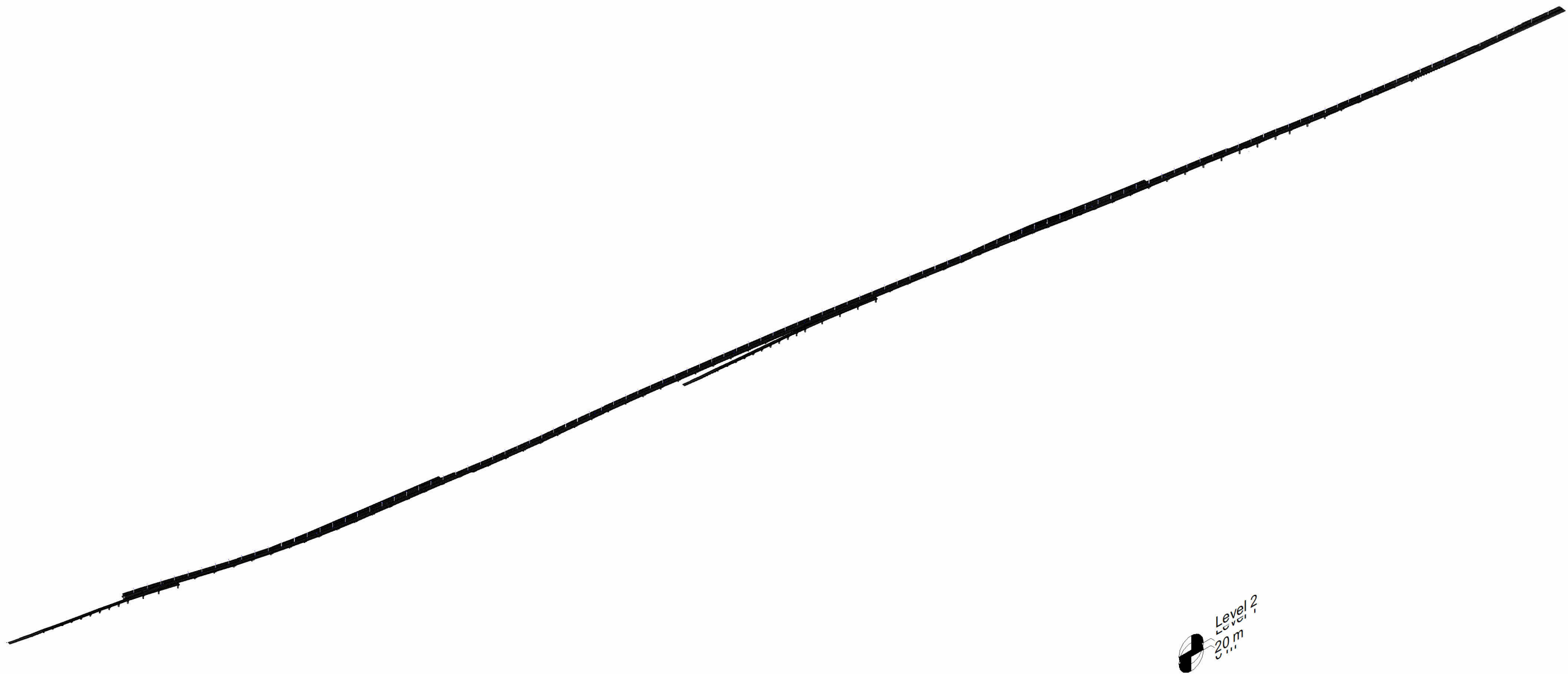


| Daftar Volume Tiang Pancang | | | |
|-----------------------------|----------------------|---------------|--------------------------|
| Family | Volume | Description | Lokasi |
| PIER-PA06-REV | 39.10 m ³ | Tiang Pancang | <i>Ramp on</i> Alauddin |
| PIER-PA05-REV | 34.96 m ³ | Tiang Pancang | <i>Ramp on</i> Alauddin |
| PIER-PA04-REV | 61.51 m ³ | Tiang Pancang | <i>Ramp on</i> Alauddin |
| PIER-PA03-REV | 27.09 m ³ | Tiang Pancang | <i>Ramp on</i> Alauddin |
| PIER-PA02-REV | 23.95 m ³ | Tiang Pancang | <i>Ramp on</i> Alauddin |
| PIER-PA01-REV | 20.03 m ³ | Tiang Pancang | <i>Ramp on</i> Alauddin |
| PIER-PAF12-REV | 47.85 m ³ | Tiang Pancang | <i>Ramp off</i> Alauddin |
| PIER-PAF11-REV | 47.31 m ³ | Tiang Pancang | <i>Ramp off</i> Alauddin |
| PIER-PAF10-REV | 47.07 m ³ | Tiang Pancang | <i>Ramp off</i> Alauddin |
| PIER-PAF09-REV | 52.78 m ³ | Tiang Pancang | <i>Ramp off</i> Alauddin |
| PIER-PAF08-REV | 42.97 m ³ | Tiang Pancang | <i>Ramp off</i> Alauddin |
| PIER-PAF07-REV | 39.74 m ³ | Tiang Pancang | <i>Ramp off</i> Alauddin |
| PIER-PAF06-REV | 35.78 m ³ | Tiang Pancang | <i>Ramp off</i> Alauddin |
| PIER-PAF05-REV | 31.83 m ³ | Tiang Pancang | <i>Ramp off</i> Alauddin |
| PIER-PAF04-REV | 27.81 m ³ | Tiang Pancang | <i>Ramp off</i> Alauddin |
| PIER-PAF03-REV | 23.88 m ³ | Tiang Pancang | <i>Ramp off</i> Alauddin |
| PIER-PAF02-REV | 19.94 m ³ | Tiang Pancang | <i>Ramp off</i> Alauddin |
| PIER-PAF01-REV | 15.30 m ³ | Tiang Pancang | <i>Ramp off</i> Alauddin |



LAMPIRAN C
MODEL 3D JALAN TOL UJUNG PANDANG SEKSI 3 (TOL LAYANG AP
PETTARANI)





0 Tol Layang AP Pettarani

Digambar oleh :
Luthviasari Astudiro
20/467411/PTK/13472
TAHUN 2023



PRODI MAGISTER TEKNIK GEOMATIKA
DEPARTEMEN TEKNIK GEODESI
FAKULTAS TEKNIK
UNIVERSITAS GADJAH MADA

Jalan Tol Layang AP Pettarani
MKS KM 5+075 - KM 9+106



Digambar oleh :

Luthviasari Astudiro
20/467411/PTK/13472

TAHUN 2023

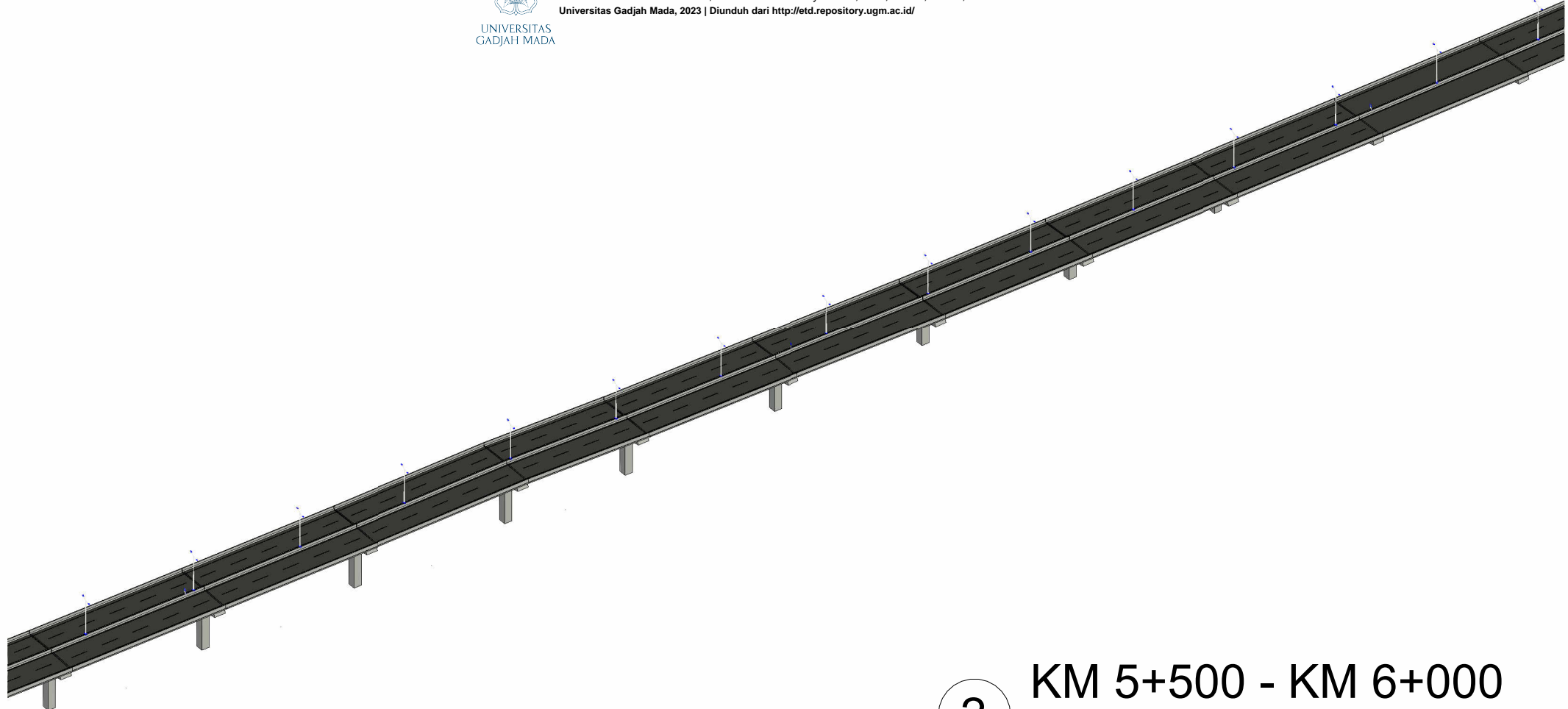


PRODI MAGISTER TEKNIK GEOMATIKA
DEPARTEMEN TEKNIK GEODESI
FAKULTAS TEKNIK
UNIVERSITAS GADJAH MADA

Model 3D Jalan Tol Layang
AP Pettarani

Bagian 1

SKALA 1 : 1500



2

KM 5+500 - KM 6+000

Digambar oleh :

Luthviasari Astudio
20/467411/PTK/13472

TAHUN 2023

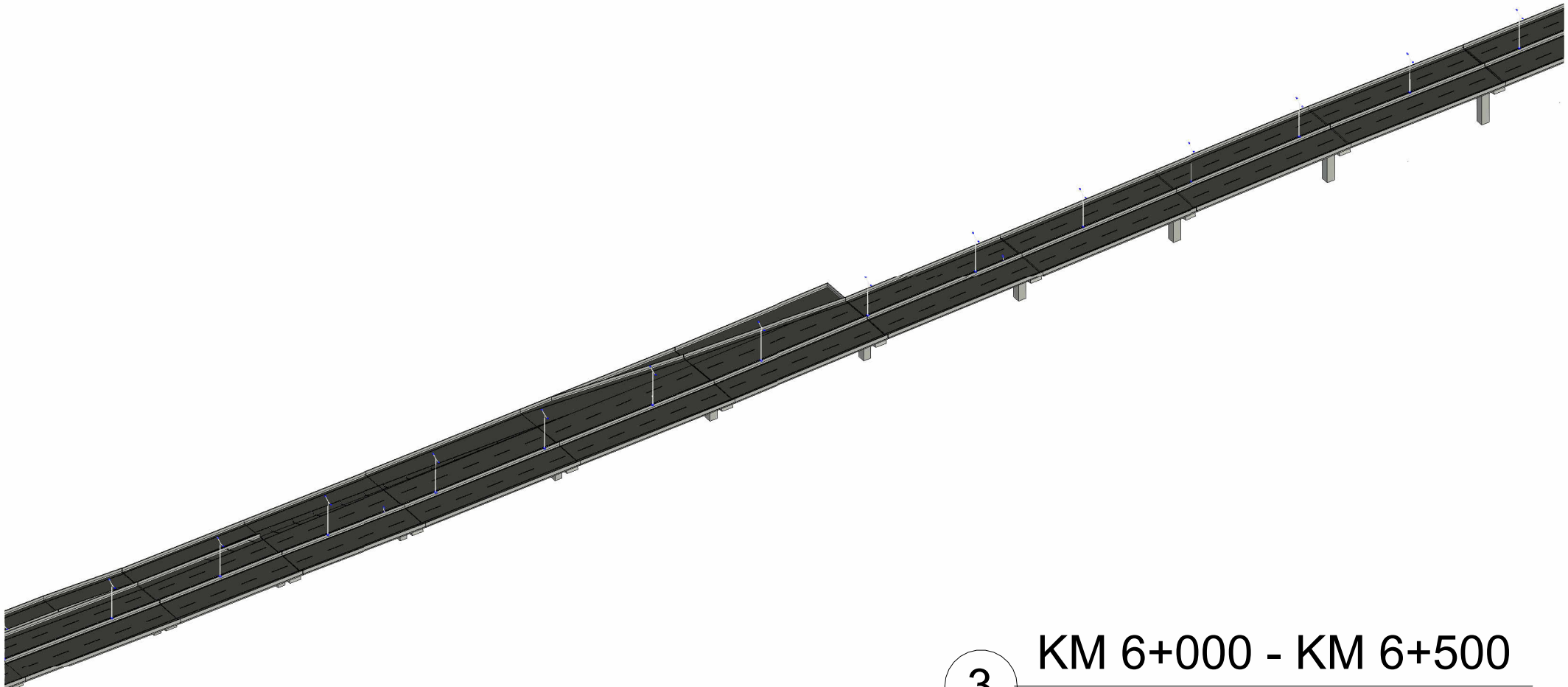


PRODI MAGISTER TEKNIK GEOMATIKA
DEPARTEMEN TEKNIK GEODESI
FAKULTAS TEKNIK
UNIVERSITAS GADJAH MADA

Model 3D Jalan Tol Layang
AP Pettarani

Bagian 2

SKALA 1 : 1500



3

KM 6+000 - KM 6+500

Digambar oleh :

Luthviasari Astudio
20/467411/PTK/13472

TAHUN 2023

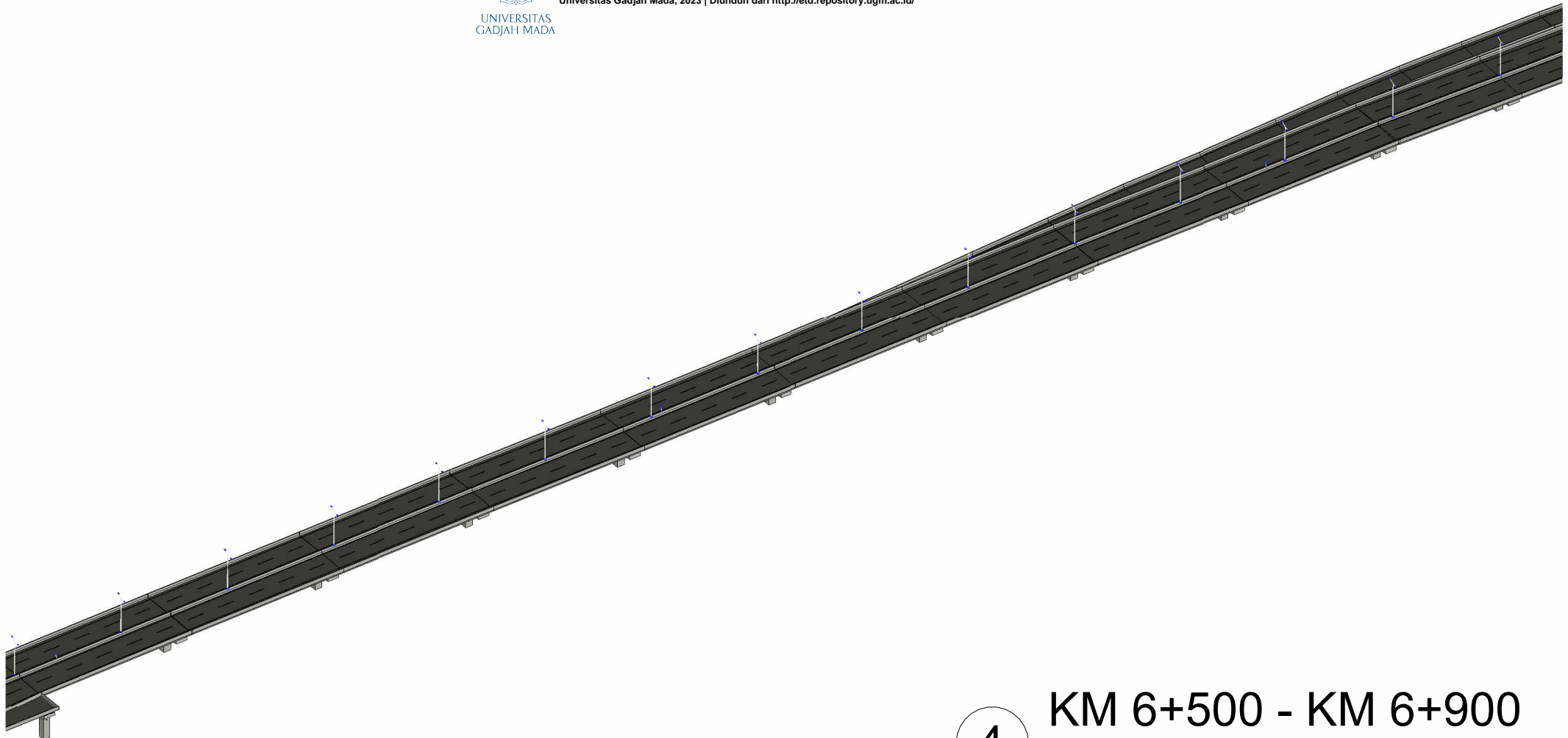


PRODI MAGISTER TEKNIK GEOMATIKA
DEPARTEMEN TEKNIK GEODESI
FAKULTAS TEKNIK
UNIVERSITAS GADJAH MADA

Model 3D Jalan Tol Layang
AP Pettarani

Bagian 3

SKALA 1 : 1500



4

KM 6+500 - KM 6+900

Digambar oleh :

Luthviasari Astudio
20/467411/PTK/13472

TAHUN 2023

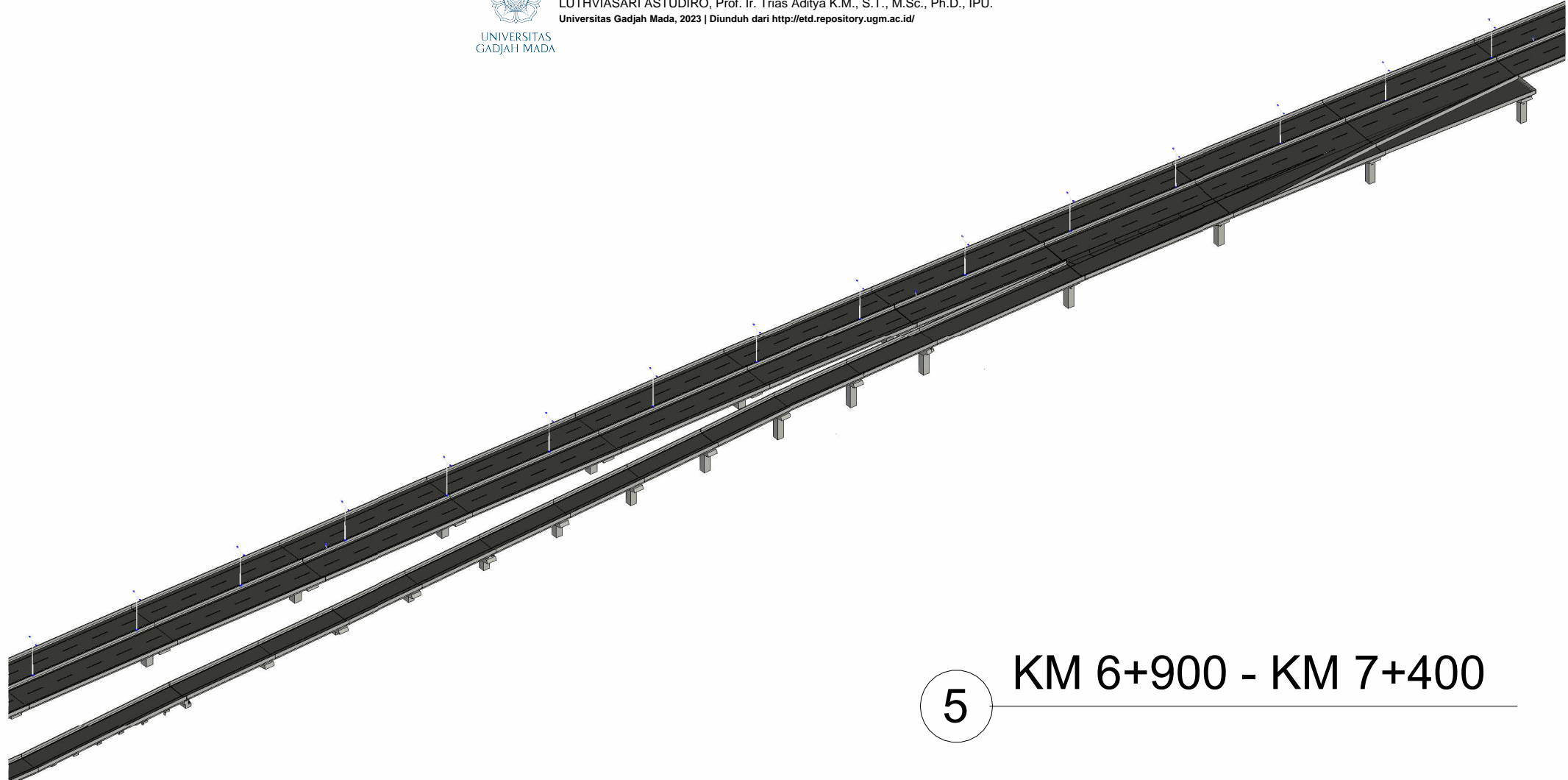


PRODI MAGISTER TEKNIK GEOMATIKA
DEPARTEMEN TEKNIK GEODESI
FAKULTAS TEKNIK
UNIVERSITAS GADJAH MADA

Model 3D Jalan Tol Layang
AP Pettarani

Bagian 4

SKALA 1 : 1500



5

KM 6+900 - KM 7+400

Digambar oleh :

Luthviasari Astudio
20/467411/PTK/13472

TAHUN 2023



PRODI MAGISTER TEKNIK GEOMATIKA
DEPARTEMEN TEKNIK GEODESI
FAKULTAS TEKNIK
UNIVERSITAS GADJAH MADA

Model 3D Jalan Tol Layang
AP Pettarani

Bagian 5

SKALA 1 : 1500



6

KM 7+400 - KM 7+900

Digambar oleh :

Luthviasari Astudiro
20/467411/PTK/13472

TAHUN 2023

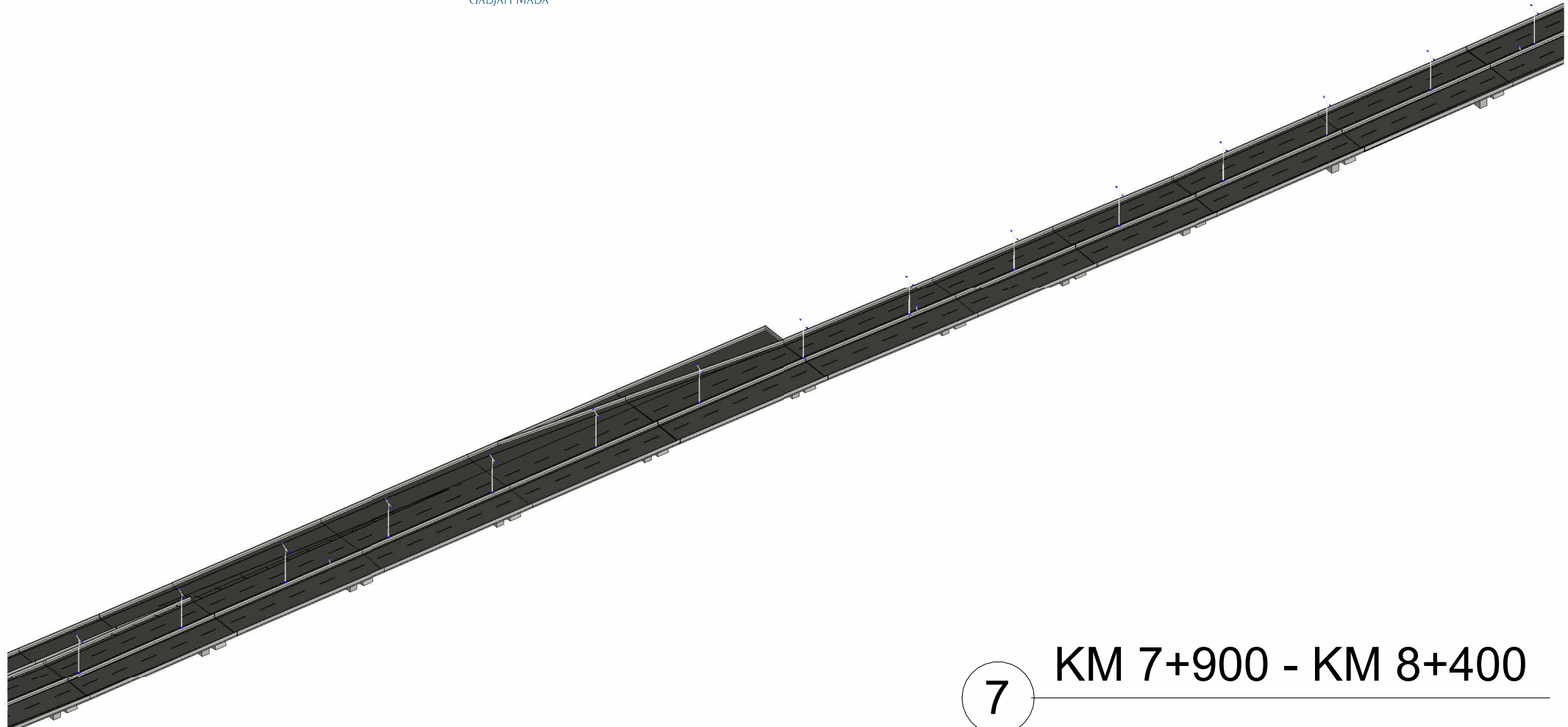


PRODI MAGISTER TEKNIK GEOMATIKA
DEPARTEMEN TEKNIK GEODESI
FAKULTAS TEKNIK
UNIVERSITAS GADJAH MADA

Model 3D Jalan Tol Layang
AP Pettarani

Bagian 6

SKALA 1 : 1500



7

KM 7+900 - KM 8+400

Digambar oleh :

Luthviasari Astudio
20/467411/PTK/13472

TAHUN 2023



PRODI MAGISTER TEKNIK GEOMATIKA
DEPARTEMEN TEKNIK GEODESI
FAKULTAS TEKNIK
UNIVERSITAS GADJAH MADA

Model 3D Jalan Tol Layang
AP Pettarani

Bagian 7

SKALA 1 : 1500



8

KM 8+400 - KM 8+900

Digambar oleh :

Luthviasari Astudio
20/467411/PTK/13472

TAHUN 2023



PRODI MAGISTER TEKNIK GEOMATIKA
DEPARTEMEN TEKNIK GEODESI
FAKULTAS TEKNIK
UNIVERSITAS GADJAH MADA

Model 3D Jalan Tol Layang
AP Pettarani

Bagian 8

SKALA 1 : 1500



9

KM 8+900 - Akhir Ruas

Digambar oleh :

Luthviasari Astudiro
20/467411/PTK/13472

TAHUN 2023

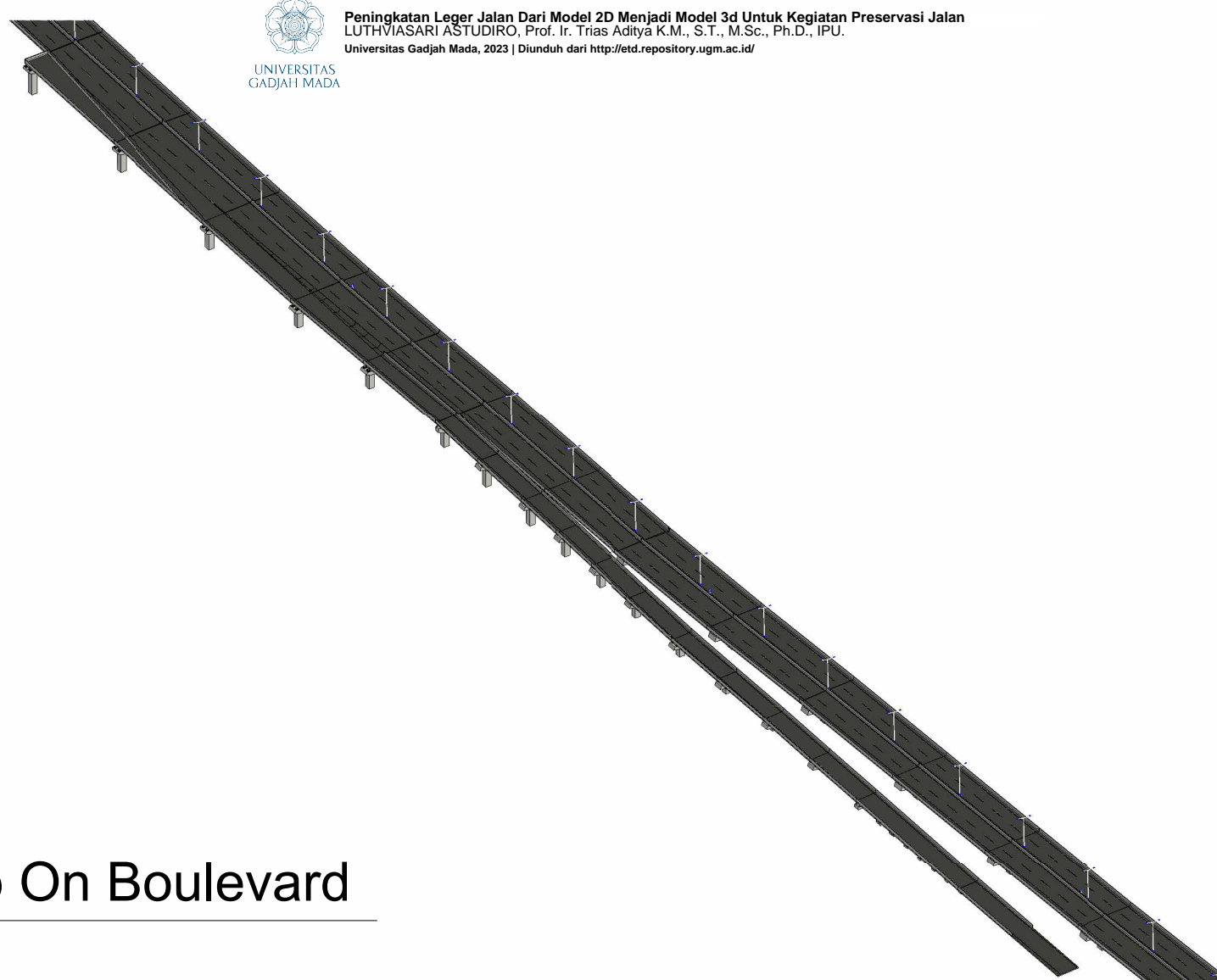


PRODI MAGISTER TEKNIK GEOMATIKA
DEPARTEMEN TEKNIK GEODESI
FAKULTAS TEKNIK
UNIVERSITAS GADJAH MADA

Model 3D Jalan Tol Layang
AP Pettarani

Bagian 9

SKALA 1 : 1500



10

Ramp On Boulevard

Digambar oleh :

Luthviasari Astudiro
20/467411/PTK/13472

TAHUN 2023

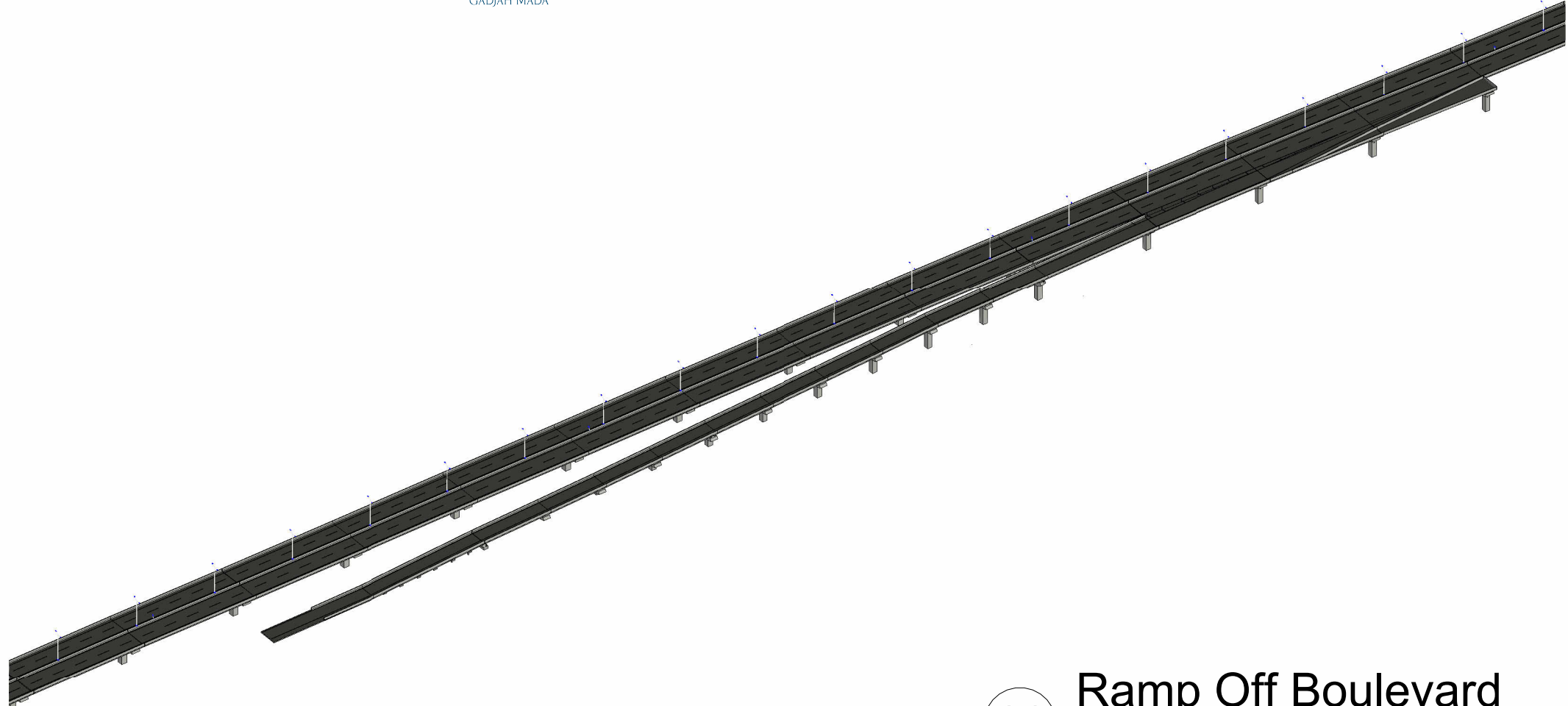


PRODI MAGISTER TEKNIK GEOMATIKA
DEPARTEMEN TEKNIK GEODESI
FAKULTAS TEKNIK
UNIVERSITAS GADJAH MADA

Model 3D Jalan Tol Layang
AP Pettarani

Bagian 10

SKALA 1 : 2000



11

Ramp Off Boulevard

Digambar oleh :

Luthviasari Astudiro
20/467411/PTK/13472

TAHUN 2023

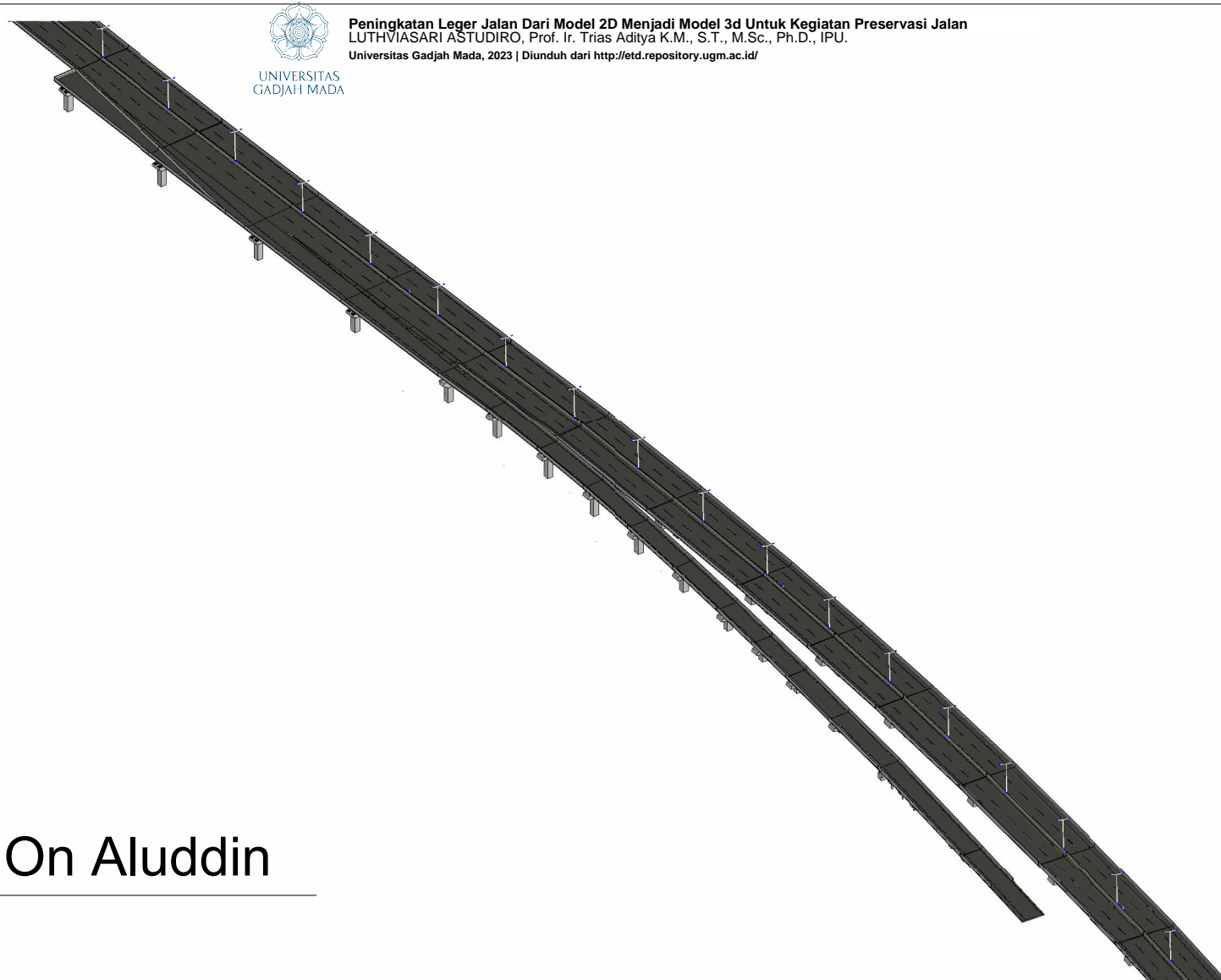


PRODI MAGISTER TEKNIK GEOMATIKA
DEPARTEMEN TEKNIK GEODESI
FAKULTAS TEKNIK
UNIVERSITAS GADJAH MADA

Model 3D Jalan Tol Layang
AP Pettarani

Bagian 11

SKALA 1 : 2000



12

Ramp On Aluddin

Digambar oleh :

Luthviasari Astudiro
20/467411/PTK/13472

TAHUN 2023



PRODI MAGISTER TEKNIK GEOMATIKA
DEPARTEMEN TEKNIK GEODESI
FAKULTAS TEKNIK
UNIVERSITAS GADJAH MADA

Model 3D Jalan Tol Layang
AP Pettarani

Bagian 12

SKALA 1 : 2000



13

Ramp Off Aluddin

Digambar oleh :

Luthviasari Astudiro
20/467411/PTK/13472

TAHUN 2023



PRODI MAGISTER TEKNIK GEOMATIKA
DEPARTEMEN TEKNIK GEODESI
FAKULTAS TEKNIK
UNIVERSITAS GADJAH MADA

Model 3D Jalan Tol Layang
AP Pettarani

Bagian 13

SKALA 1 : 2000



UNIVERSITAS
GADJAH MADA

Peningkatan Leger Jalan Dari Model 2D Menjadi Model 3d Untuk Kegiatan Preservasi Jalan
LUTHVIASARI ASTUDIRO, Prof. Ir. Trias Aditya K.M., S.T., M.Sc., Ph.D., IPU. 84
Universitas Gadjah Mada, 2023 | Diunduh dari <http://etd.repository.ugm.ac.id/>

LAMPIRAN D

**TABEL PARAMETER HASIL MODELING 3D JALAN TOL LAYANG AP
PETTARANI**



Lampiran 8. Tabel Parameter Model 3D Tiang Pancang

| Structural Column Schedule | | | | |
|----------------------------|-------------|----------------------|----------|---------|
| Family | Description | Volume | Material | Kondisi |
| P26 | Pier | 120.84m ³ | Beton | Baik |
| P27 | Pier | 132.3m ³ | Beton | Baik |
| P28 | Pier | 144.7m ³ | Beton | Baik |
| P29 | Pier | 156.46m ³ | Beton | Baik |
| P30 | Pier | 169.58m ³ | Beton | Baik |
| P31 | Pier | 183.09m ³ | Beton | Baik |
| P32 | Pier | 191.15m ³ | Beton | Baik |
| P33 | Pier | 195.54m ³ | Beton | Baik |
| P34 | Pier | 198.03m ³ | Beton | Baik |
| P35 | Pier | 196.81m ³ | Beton | Baik |
| P36 | Pier | 192.29m ³ | Beton | Baik |
| P37 | Pier | 184.57m ³ | Beton | Baik |
| P38 | Pier | 177.02m ³ | Beton | Baik |
| P39 | Pier | 166.64m ³ | Beton | Baik |
| P40 | Pier | 158.33m ³ | Beton | Baik |
| P41 | Pier | 151.42m ³ | Beton | Baik |
| P42 | Pier | 144.7m ³ | Beton | Baik |
| P43 | Pier | 140.85m ³ | Beton | Baik |
| P44 | Pier | 139.57m ³ | Beton | Baik |
| P45 | Pier | 140.76m ³ | Beton | Baik |
| P46 | Pier | 142.42m ³ | Beton | Baik |
| P47 | Pier | 142.17m ³ | Beton | Baik |
| P48 | Pier | 141.94m ³ | Beton | Baik |
| P49 | Pier | 142.95m ³ | Beton | Baik |
| P50 | Pier | 144.44m ³ | Beton | Baik |
| P51 | Pier | 144.93m ³ | Beton | Baik |
| P52 | Pier | 146.67m ³ | Beton | Baik |
| P53 | Pier | 147.6m ³ | Beton | Baik |
| P54 | Pier | 146.25m ³ | Beton | Baik |
| P55 | Pier | 147.97m ³ | Beton | Baik |
| P56 | Pier | 148.17m ³ | Beton | Baik |
| P57 | Pier | 148.8m ³ | Beton | Baik |
| P58 | Pier | 149.5m ³ | Beton | Baik |
| P59 | Pier | 150.14m ³ | Beton | Baik |
| P60 | Pier | 151.01m ³ | Beton | Baik |
| P61 | Pier | 151.64m ³ | Beton | Baik |
| P62 | Pier | 152.54m ³ | Beton | Baik |
| P63 | Pier | 153.22m ³ | Beton | Baik |
| P64 | Pier | 153.87m ³ | Beton | Baik |
| P65 | Pier | 155m ³ | Beton | Baik |



| Structural Column Schedule | | | | |
|----------------------------|-------------|----------------------|----------|---------|
| Family | Description | Volume | Material | Kondisi |
| P66 | Pier | 156.39m ³ | Beton | Baik |
| P67 | Pier | 156.11m ³ | Beton | Baik |
| P68 | Pier | 157.74m ³ | Beton | Baik |
| P69 | Pier | 157.42m ³ | Beton | Baik |
| P70 | Pier | 156.58m ³ | Beton | Baik |
| P71 | Pier | 155.43m ³ | Beton | Baik |
| P72 | Pier | 154.23m ³ | Beton | Baik |
| P73 | Pier | 153.27m ³ | Beton | Baik |
| P74 | Pier | 152.31m ³ | Beton | Baik |
| P75 | Pier | 150.99m ³ | Beton | Baik |
| P76 | Pier | 150.27m ³ | Beton | Baik |
| P77 | Pier | 148.58m ³ | Beton | Baik |
| P78 | Pier | 146.56m ³ | Beton | Baik |
| P79 | Pier | 144.62m ³ | Beton | Baik |
| P80 | Pier | 143.61m ³ | Beton | Baik |
| P81 | Pier | 143.78m ³ | Beton | Baik |
| P82 | Pier | 143.24m ³ | Beton | Baik |
| P83 | Pier | 143.61m ³ | Beton | Baik |
| P84 | Pier | 144m ³ | Beton | Baik |
| P85 | Pier | 144.28m ³ | Beton | Baik |
| P86 | Pier | 145.53m ³ | Beton | Baik |
| P87 | Pier | 146.01m ³ | Beton | Baik |
| P88 | Pier | 146.61m ³ | Beton | Baik |
| P89 | Pier | 148.14m ³ | Beton | Baik |
| P90 | Pier | 149.06m ³ | Beton | Baik |
| P91 | Pier | 149.6m ³ | Beton | Baik |
| P92 | Pier | 151.2m ³ | Beton | Baik |
| P93 | Pier | 151.05m ³ | Beton | Baik |
| P94 | Pier | 151.62m ³ | Beton | Baik |
| P95 | Pier | 151.2m ³ | Beton | Baik |
| P96 | Pier | 150.22m ³ | Beton | Baik |
| P97 | Pier | 149.67m ³ | Beton | Baik |
| P98 | Pier | 149.34m ³ | Beton | Baik |
| P99 | Pier | 147.48m ³ | Beton | Baik |
| PA1 | Pier | 230.24m ³ | Beton | Baik |
| Pile Slab P3 | Pile Slab | 8.75m ³ | Beton | Baik |
| Pile Slab P4 | Pile Slab | 17.5m ³ | Beton | Baik |
| Pile Slab P5 | Pile Slab | 17.5m ³ | Beton | Baik |
| Pile Slab P6 | Pile Slab | 26.25m ³ | Beton | Baik |
| Pile Slab P7 | Pile Slab | 35m ³ | Beton | Baik |
| Pile Slab P8 | Pile Slab | 35m ³ | Beton | Baik |



| Structural Column Schedule | | | | |
|----------------------------|-------------|---------------------|----------|---------|
| Family | Description | Volume | Material | Kondisi |
| Pile Slab P9 | Pile Slab | 35m ³ | Beton | Baik |
| Pile Slab P10 | Pile Slab | 35m ³ | Beton | Baik |
| Pile Slab P11 | Pile Slab | 35.87m ³ | Beton | Baik |
| Pile Slab P12 | Pile Slab | 36.26m ³ | Beton | Baik |
| Pile Slab P13 | Pile Slab | 36.88m ³ | Beton | Baik |
| Pile Slab P14 | Pile Slab | 37.76m ³ | Beton | Baik |
| Pile Slab P15 | Pile Slab | 38.39m ³ | Beton | Baik |
| Pile Slab P16 | Pile Slab | 39.15m ³ | Beton | Baik |
| Pile Slab P17 | Pile Slab | 39.9m ³ | Beton | Baik |
| Pile Slab P18 | Pile Slab | 40.53m ³ | Beton | Baik |
| Pile Slab P19 | Pile Slab | 41.16m ³ | Beton | Baik |
| Pile Slab P20 | Pile Slab | 41.91m ³ | Beton | Baik |
| Pile Slab P21 | Pile Slab | 42.67m ³ | Beton | Baik |
| Pile Slab P22 | Pile Slab | 43.42m ³ | Beton | Baik |
| Pile Slab P23 | Pile Slab | 30.05m ³ | Beton | Baik |
| Pile Slab P24 | Pile Slab | 44.8m ³ | Beton | Baik |
| Pile Slab P25 | Pile Slab | 45.56m ³ | Beton | Baik |
| RFAla-P1 | Pier | 52.35m ³ | Beton | Baik |
| RFAla-P2 | Pier | 52.04m ³ | Beton | Baik |
| RFAla-P3 | Pier | 51.58m ³ | Beton | Baik |
| RFAla-P4 | Pier | 56.94m ³ | Beton | Baik |
| RFAla-P5 | Pier | 54.35m ³ | Beton | Baik |
| RFAla-P6 | Pier | 50.75m ³ | Beton | Baik |
| RFAla-P7 | Pier | 48.15m ³ | Beton | Baik |
| RFAla-P8 | Pier | 44.55m ³ | Beton | Baik |
| RFAla-P9 | Pier | 40.95m ³ | Beton | Baik |
| RFAla-P10 | Pier | 36.55m ³ | Beton | Baik |
| RFAla-P11 | Pier | 32.35m ³ | Beton | Baik |
| RFAla-P12 | Pier | 27.63m ³ | Beton | Baik |
| RFAla-PA1 | Pier | 33.22m ³ | Beton | Baik |
| RFAla-Pile Slab P13 | Pile Slab | 7.91m ³ | Beton | Baik |
| RFAla-Pile Slab P14 | Pile Slab | 7.74m ³ | Beton | Baik |
| RFAla-Pile Slab P15 | Pile Slab | 7.5m ³ | Beton | Baik |
| RFAla-Pile Slab P16 | Pile Slab | 7.28m ³ | Beton | Baik |
| RFBou-P1 | Pier | 51.55m ³ | Beton | Baik |
| RFBou-P2 | Pier | 51.29m ³ | Beton | Baik |
| RFBou-P3 | Pier | 51.29m ³ | Beton | Baik |
| RFBou-P4 | Pier | 51.49m ³ | Beton | Baik |
| RFBou-P5 | Pier | 56.51m ³ | Beton | Baik |
| RFBou-P6 | Pier | 58.15m ³ | Beton | Baik |
| RFBou-P7 | Pier | 57.15m ³ | Beton | Baik |



| Structural Column Schedule | | | | |
|----------------------------|-------------|---------------------|----------|---------|
| Family | Description | Volume | Material | Kondisi |
| RFBou-P8 | Pier | 52.75m ³ | Beton | Baik |
| RFBou-P9 | Pier | 48.95m ³ | Beton | Baik |
| RFBou-P10 | Pier | 44.95m ³ | Beton | Baik |
| RFBou-P11 | Pier | 40.75m ³ | Beton | Baik |
| RFBou-P12 | Pier | 36.75m ³ | Beton | Baik |
| RFBou-P13 | Pier | 32.75m ³ | Beton | Baik |
| RFBou-P14 | Pier | 28.95m ³ | Beton | Baik |
| RFBou-PA1 | Pier | 29.72m ³ | Beton | Baik |
| RFBou-Pile Slab P15 | Pile Slab | 7.9m ³ | Beton | Baik |
| RFBou-Pile Slab P16 | Pile Slab | 7.75m ³ | Beton | Baik |
| RFBou-Pile Slab P17 | Pile Slab | 7.6m ³ | Beton | Baik |
| RFBou-Pile Slab P18 | Pile Slab | 7.45m ³ | Beton | Baik |
| RFBou-Pile Slab P19 | Pile Slab | 7.28m ³ | Beton | Baik |
| RFBou-Pile Slab P20 | Pile Slab | 5.52m ³ | Beton | Baik |
| RFBou-Pile Slab P21 | Pile Slab | 1.43m ³ | Beton | Baik |
| RNAla-P1 | Pier | 48.95m ³ | Beton | Baik |
| RNAla-P2 | Pier | 48.95m ³ | Beton | Baik |
| RNAla-P3 | Pier | 48.95m ³ | Beton | Baik |
| RNAla-P4 | Pier | 47.35m ³ | Beton | Baik |
| RNAla-P5 | Pier | 58.84m ³ | Beton | Baik |
| RNAla-P6 | Pier | 57.35m ³ | Beton | Baik |
| RNAla-P7 | Pier | 57.55m ³ | Beton | Baik |
| RNAla-P8 | Pier | 56.35m ³ | Beton | Baik |
| RNAla-P9 | Pier | 53.35m ³ | Beton | Baik |
| RNAla-P10 | Pier | 48.95m ³ | Beton | Baik |
| RNAla-P11 | Pier | 42.83m ³ | Beton | Baik |
| RNAla-P12 | Pier | 40.55m ³ | Beton | Baik |
| RNAla-P13 | Pier | 36.95m ³ | Beton | Baik |
| RNAla-P14 | Pier | 32.15m ³ | Beton | Baik |
| RNAla-PA1 | Pier | 50.27m ³ | Beton | Baik |
| RNAla-Pile Slab P15 | Pile Slab | 8.37m ³ | Beton | Baik |
| RNAla-Pile Slab P16 | Pile Slab | 8.2m ³ | Beton | Baik |
| RNAla-Pile Slab P17 | Pile Slab | 8.02m ³ | Beton | Baik |
| RNAla-Pile Slab P18 | Pile Slab | 7.84m ³ | Beton | Baik |
| RNAla-Pile Slab P19 | Pile Slab | 7.64m ³ | Beton | Baik |
| RNAla-Pile Slab P20 | Pile Slab | 7.36m ³ | Beton | Baik |
| RNAla-Pile Slab P21 | Pile Slab | 7.28m ³ | Beton | Baik |
| RNBou-P1 | Pier | 56.49m ³ | Beton | Baik |
| RNBou-P2 | Pier | 51.29m ³ | Beton | Baik |
| RNBou-P3 | Pier | 48.29m ³ | Beton | Baik |
| RNBou-P4 | Pier | 45.58m ³ | Beton | Baik |



| Structural Column Schedule | | | | |
|----------------------------|-------------|---------------------|----------|---------|
| Family | Description | Volume | Material | Kondisi |
| RNBou-P5 | Pier | 44.9m ³ | Beton | Baik |
| RNBou-P6 | Pier | 53.19m ³ | Beton | Baik |
| RNBou-P7 | Pier | 54.88m ³ | Beton | Baik |
| RNBou-P8 | Pier | 53.95m ³ | Beton | Baik |
| RNBou-P9 | Pier | 52.35m ³ | Beton | Baik |
| RNBou-P10 | Pier | 49.35m ³ | Beton | Baik |
| RNBou-P11 | Pier | 45.15m ³ | Beton | Baik |
| RNBou-P12 | Pier | 40.95m ³ | Beton | Baik |
| RNBou-P13 | Pier | 37.75m ³ | Beton | Baik |
| RNBou-P14 | Pier | 33.15m ³ | Beton | Baik |
| RNBou-P15 | Pier | 29.23m ³ | Beton | Baik |
| RNBou-PA1 | Pier | 31.26m ³ | Beton | Baik |
| RNBou-Pile Slab P16 | Pile Slab | 7.87m ³ | Beton | Baik |
| RNBou-Pile Slab P17 | Pile Slab | 7.77m ³ | Beton | Baik |
| RNBou-Pile Slab P18 | Pile Slab | 7.63m ³ | Beton | Baik |
| RNBou-Pile Slab P19 | Pile Slab | 7.45m ³ | Beton | Baik |
| RNBou-Pile Slab P20 | Pile Slab | 7.38m ³ | Beton | Baik |
| RNBou-Pile Slab P21 | Pile Slab | 7.28m ³ | Beton | Baik |
| RNBou-Pile Slab P22 | Pile Slab | 5.52m ³ | Beton | Baik |

**Lampiran 9. Tabel Parameter Model 3D Girder**

| Structural Column Schedule | | | | |
|----------------------------|-------------|-----------------------|----------|---------|
| Family | Description | Volume | Material | Kondisi |
| Box P26P27 | Box Girder | 970.92m ³ | Beton | Baik |
| Box P27P28 | Box Girder | 958.19m ³ | Beton | Baik |
| Box P28P29 | Box Girder | 962.02m ³ | Beton | Baik |
| Box P29P30 | Box Girder | 1071.41m ³ | Beton | Baik |
| Box P30P31 | Box Girder | 963.98m ³ | Beton | Baik |
| Box P31P32 | Box Girder | 958.19m ³ | Beton | Baik |
| Box P32P33 | Box Girder | 766.55m ³ | Beton | Baik |
| Box P33P34 | Box Girder | 979.53m ³ | Beton | Baik |
| Box P34P35 | Box Girder | 962.73m ³ | Beton | Baik |
| Box P35P36 | Box Girder | 963.8m ³ | Beton | Baik |
| Box P36P37 | Box Girder | 958.19m ³ | Beton | Baik |
| Box P37P38 | Box Girder | 967.58m ³ | Beton | Baik |
| Box P38P39 | Box Girder | 958.19m ³ | Beton | Baik |
| Box P39P40 | Box Girder | 979.23m ³ | Beton | Baik |
| Box P40P41 | Box Girder | 958.19m ³ | Beton | Baik |
| Box P41P42 | Box Girder | 967.62m ³ | Beton | Baik |
| Box P42P43 | Box Girder | 978.1m ³ | Beton | Baik |
| Box P43P44 | Box Girder | 766.55m ³ | Beton | Baik |
| Box P44P45 | Box Girder | 766.55m ³ | Beton | Baik |
| Box P45P46 | Box Girder | 991.94m ³ | Beton | Baik |
| Box P47P48 | Box Girder | 988.04m ³ | Beton | Baik |
| Box P48P49 | Box Girder | 968.2m ³ | Beton | Baik |
| Box P49P50 | Box Girder | 965.95m ³ | Beton | Baik |
| Box P50P51 | Box Girder | 958.23m ³ | Beton | Baik |
| Box P51P52 | Box Girder | 963.34m ³ | Beton | Baik |
| Box P52P53 | Box Girder | 961.94m ³ | Beton | Baik |
| Box P53P54 | Box Girder | 964.42m ³ | Beton | Baik |
| Box P54P55 | Box Girder | 958.99m ³ | Beton | Baik |
| Box P55P56 | Box Girder | 974.77m ³ | Beton | Baik |
| Box P56P57 | Box Girder | 958.19m ³ | Beton | Baik |
| Box P57P58 | Box Girder | 969.51m ³ | Beton | Baik |
| Box P58P59 | Box Girder | 958.19m ³ | Beton | Baik |
| Box P59P60 | Box Girder | 966.84m ³ | Beton | Baik |
| Box P60P61 | Box Girder | 948.32m ³ | Beton | Baik |
| Box P61P62 | Box Girder | 958.19m ³ | Beton | Baik |
| Box P62P63 | Box Girder | 968.66m ³ | Beton | Baik |
| Box P63P64 | Box Girder | 965.48m ³ | Beton | Baik |
| Box P64P65 | Box Girder | 958.19m ³ | Beton | Baik |
| Box P65P66 | Box Girder | 965.07m ³ | Beton | Baik |
| Box P66P67 | Box Girder | 960.84m ³ | Beton | Baik |



| Structural Column Schedule | | | | |
|----------------------------|-------------|-----------------------|----------|---------|
| Family | Description | Volume | Material | Kondisi |
| Box P67P68 | Box Girder | 964.73m ³ | Beton | Baik |
| Box P68P69 | Box Girder | 958.19m ³ | Beton | Baik |
| Box P69P70 | Box Girder | 969.13m ³ | Beton | Baik |
| Box P70P71 | Box Girder | 961.97m ³ | Beton | Baik |
| Box P71P72 | Box Girder | 963.15m ³ | Beton | Baik |
| Box P72P73 | Box Girder | 958.97m ³ | Beton | Baik |
| Box P73P74 | Box Girder | 963.77m ³ | Beton | Baik |
| Box P74P75 | Box Girder | 961.12m ³ | Beton | Baik |
| Box P75P76 | Box Girder | 963.89m ³ | Beton | Baik |
| Box P76P77 | Box Girder | 958.28m ³ | Beton | Baik |
| Box P77P78 | Box Girder | 968.51m ³ | Beton | Baik |
| Box P78P79 | Box Girder | 766.55m ³ | Beton | Baik |
| Box P79P80 | Box Girder | 772m ³ | Beton | Baik |
| Box P80P81 | Box Girder | 964.32m ³ | Beton | Baik |
| Box P81P82 | Box Girder | 961.27m ³ | Beton | Baik |
| Box P82P83 | Box Girder | 962.98m ³ | Beton | Baik |
| Box P83P84 | Box Girder | 962.19m ³ | Beton | Baik |
| Box P84P85 | Box Girder | 962.3m ³ | Beton | Baik |
| Box P85P86 | Box Girder | 962.22m ³ | Beton | Baik |
| Box P86P87 | Box Girder | 959.5m ³ | Beton | Baik |
| Box P87P88 | Box Girder | 958.19m ³ | Beton | Baik |
| Box P88P89 | Box Girder | 779.97m ³ | Beton | Baik |
| Box P89P90 | Box Girder | 767.12m ³ | Beton | Baik |
| Box P90P91 | Box Girder | 969.46m ³ | Beton | Baik |
| Box P91P92 | Box Girder | 958.19m ³ | Beton | Baik |
| Box P92P93 | Box Girder | 964.6m ³ | Beton | Baik |
| Box P93P94 | Box Girder | 958.19m ³ | Beton | Baik |
| Box P94P95 | Box Girder | 975.03m ³ | Beton | Baik |
| Box P95P96 | Box Girder | 1071.62m ³ | Beton | Baik |
| Box P96P97 | Box Girder | 989.32m ³ | Beton | Baik |
| Box P97P98 | Box Girder | 766.55m ³ | Beton | Baik |
| Box P98P99 | Box Girder | 905.37m ³ | Beton | Baik |
| Box P4647 | Box Girder | 766.55m ³ | Beton | Baik |
| Box PA1P26 | Box Girder | 1070.76m ³ | Beton | Baik |
| Box RF-Ala P1P2 | Box Girder | 453.69m ³ | Beton | Baik |
| Box RF-Ala P2P3 | Box Girder | 364.41m ³ | Beton | Baik |
| Box RF-Ala P3P4 | Box Girder | 375.56m ³ | Beton | Baik |
| Box RF-Ala P4P5 | Box Girder | 153.94m ³ | Beton | Baik |
| Box RF-Ala P5P6 | PC-U Girder | 153.53m ³ | Beton | Baik |
| Box RF-Ala P6P7 | PC-U Girder | 153.7m ³ | Beton | Baik |
| Box RF-Ala P7P8 | PC-U Girder | 156.53m ³ | Beton | Baik |



| Structural Column Schedule | | | | |
|----------------------------|-------------|----------------------|----------|---------|
| Family | Description | Volume | Material | Kondisi |
| Box RF-Ala P8P9 | PC-U Girder | 154.57m ³ | Beton | Baik |
| Box RF-Ala P9P10 | PC-U Girder | 154.57m ³ | Beton | Baik |
| Box RF-Ala P10P11 | PC-U Girder | 153.36m ³ | Beton | Baik |
| Box RF-Ala P11P12 | PC-U Girder | 170.09m ³ | Beton | Baik |
| Box RF-Ala P12PA1 | PC-U Girder | 155.1m ³ | Beton | Baik |
| Box RF-Bou P1P2 | Box Girder | 455.52m ³ | Beton | Baik |
| Box RF-Bou P2P3 | Box Girder | 455.52m ³ | Beton | Baik |
| Box RF-Bou P3P4 | Box Girder | 468.4m ³ | Beton | Baik |
| Box RF-Bou P4P5 | Box Girder | 460.13m ³ | Beton | Baik |
| Box RF-Bou P5P6 | PC-U Girder | 154.49m ³ | Beton | Baik |
| Box RF-Bou P6P7 | PC-U Girder | 154.63m ³ | Beton | Baik |
| Box RF-Bou P7P8 | PC-U Girder | 153.75m ³ | Beton | Baik |
| Box RF-Bou P8P9 | PC-U Girder | 154.06m ³ | Beton | Baik |
| Box RF-Bou P9P10 | PC-U Girder | 154.1m ³ | Beton | Baik |
| Box RF-Bou P10P11 | PC-U Girder | 154.88m ³ | Beton | Baik |
| Box RF-Bou P11P12 | PC-U Girder | 154.88m ³ | Beton | Baik |
| Box RF-Bou P12P13 | PC-U Girder | 154.75m ³ | Beton | Baik |
| Box RF-Bou P13P14 | PC-U Girder | 154.1m ³ | Beton | Baik |
| Box RF-Bou P14PA1 | PC-U Girder | 192.26m ³ | Beton | Baik |
| Box Rn-Ala P1P2 | Box Girder | 457.05m ³ | Beton | Baik |
| Box Rn-Ala P2P3 | Box Girder | 458.48m ³ | Beton | Baik |
| Box Rn-Ala P3P4 | Box Girder | 457.52m ³ | Beton | Baik |
| Box Rn-Ala P4P5 | Box Girder | 457.57m ³ | Beton | Baik |
| Box Rn-Ala P5P6 | PC-U Girder | 157.03m ³ | Beton | Baik |
| Box Rn-Ala P6P7 | PC-U Girder | 168.1m ³ | Beton | Baik |
| Box Rn-Ala P7P8 | PC-U Girder | 158.18m ³ | Beton | Baik |
| Box Rn-Ala P8P9 | PC-U Girder | 154.57m ³ | Beton | Baik |
| Box Rn-Ala P9P10 | PC-U Girder | 153.82m ³ | Beton | Baik |
| Box Rn-Ala P10P11 | PC-U Girder | 152.82m ³ | Beton | Baik |
| Box Rn-Ala P11P12 | PC-U Girder | 124.9m ³ | Beton | Baik |
| Box Rn-Ala P12P13 | PC-U Girder | 122.26m ³ | Beton | Baik |
| Box Rn-Ala P13P14 | PC-U Girder | 155.06m ³ | Beton | Baik |
| Box Rn-Ala P14PA1 | PC-U Girder | 191.55m ³ | Beton | Baik |
| Box RN-BOU P1P2 | Box Girder | 521.69m ³ | Beton | Baik |
| Box RN-BOU P2P3 | Box Girder | 526.4m ³ | Beton | Baik |
| Box RN-Bou P3P4 | Box Girder | 534.68m ³ | Beton | Baik |
| Box RN-Bou P4P5 | Box Girder | 413.04m ³ | Beton | Baik |
| Box RN-Bou P5P6 | Box Girder | 344.68m ³ | Beton | Baik |
| Box RN-Bou P6P7 | PC-U Girder | 160.01m ³ | Beton | Baik |
| Box RN-Bou P7P8 | PC-U Girder | 143.6m ³ | Beton | Baik |
| Box RN-Bou P8P9 | PC-U Girder | 128.3m ³ | Beton | Baik |



| Structural Column Schedule | | | | |
|----------------------------|-------------|----------------------|----------|---------|
| Family | Description | Volume | Material | Kondisi |
| Box RN-Bou P9P10 | PC-U Girder | 125.43m ³ | Beton | Baik |
| Box RN-Bou P10P11 | PC-U Girder | 122.26m ³ | Beton | Baik |
| Box RN-Bou P11P12 | PC-U Girder | 156.52m ³ | Beton | Baik |
| Box RN-Bou P12P13 | PC-U Girder | 155.02m ³ | Beton | Baik |
| Box RN-Bou P13P14 | PC-U Girder | 152.82m ³ | Beton | Baik |
| Box RN-Bou P14P15 | PC-U Girder | 156.56m ³ | Beton | Baik |
| Box RN-Bou P15PA1 | PC-U Girder | 154.67m ³ | Beton | Baik |
| Plat KM5+300 | Plat Girder | 421.16m ³ | Beton | Baik |
| Plat P5P12 | Plat Girder | 467.95m ³ | Beton | Baik |
| Plat P12P19 | Plat Girder | 514.74m ³ | Beton | Baik |
| Plat P19A1 | Plat Girder | 467.95m ³ | Beton | Baik |
| Plat RF-Ala P16 | Plat Girder | 163.76m ³ | Beton | Baik |
| Plat RF-Ala PA1P16 | Plat Girder | 81.88m ³ | Beton | Baik |
| Plat RF-Bou P21 | Plat Girder | 122.85m ³ | Beton | Baik |
| Plat RF-Bou PA1P21 | Plat Girder | 136.5m ³ | Beton | Baik |
| Plat RN-Ala P21 | Plat Girder | 109.18m ³ | Beton | Baik |
| Plat RN-Ala PA1P21 | Plat Girder | 136.47m ³ | Beton | Baik |
| Plat RN-Bou P22PA2 | Plat Girder | 150.14m ³ | Beton | Baik |
| Plat RN-Bou PA1P22 | Plat Girder | 150.14m ³ | Beton | Baik |



Lampiran 10. Tabel Parameter Model 3D Lapisan Aspal

| Structural Column Schedule | | | | |
|----------------------------|-------------|----------------------|----------|---------|
| Family | Description | Volume | Material | Kondisi |
| Aspal Ka Awal | Aspal | 128.75m ³ | Aspal | Baik |
| Aspal Ki Awal | Aspal | 128.75m ³ | Aspal | Baik |
| Aspal KM5+300 | Aspal | 46.8m ³ | Aspal | Baik |
| Aspal P5P12 | Aspal | 52m ³ | Aspal | Baik |
| Aspal P12P19 | Aspal | 57.2m ³ | Aspal | Baik |
| Aspal P19A1 | Aspal | 52m ³ | Aspal | Baik |
| Aspal P26P27 | Aspal | 47.49m ³ | Aspal | Baik |
| Aspal P27P28 | Aspal | 47.49m ³ | Aspal | Baik |
| Aspal P28P29 | Aspal | 47.49m ³ | Aspal | Baik |
| Aspal P29P30 | Aspal | 47.49m ³ | Aspal | Baik |
| Aspal P30P31 | Aspal | 47.49m ³ | Aspal | Baik |
| Aspal P31P32 | Aspal | 47.49m ³ | Aspal | Baik |
| Aspal P32P33 | Aspal | 39.06m ³ | Aspal | Baik |
| Aspal P33P34 | Aspal | 47.49m ³ | Aspal | Baik |
| Aspal P34P35 | Aspal | 47.49m ³ | Aspal | Baik |
| Aspal P35P36 | Aspal | 47.49m ³ | Aspal | Baik |
| Aspal P36P37 | Aspal | 47.49m ³ | Aspal | Baik |
| Aspal P37P38 | Aspal | 47.49m ³ | Aspal | Baik |
| Aspal P38P39 | Aspal | 47.49m ³ | Aspal | Baik |
| Aspal P39P40 | Aspal | 47.49m ³ | Aspal | Baik |
| Aspal P40P41 | Aspal | 72.5m ³ | Aspal | Baik |
| Aspal P41P42 | Aspal | 72.5m ³ | Aspal | Baik |
| Aspal P42P43 | Aspal | 72.5m ³ | Aspal | Baik |
| Aspal P43P44 | Aspal | 57.4m ³ | Aspal | Baik |
| Aspal P44P45 | Aspal | 39.06m ³ | Aspal | Baik |
| Aspal P45P46 | Aspal | 47.49m ³ | Aspal | Baik |
| Aspal P46P47 | Aspal | 39.06m ³ | Aspal | Baik |
| Aspal P47P48 | Aspal | 47.49m ³ | Aspal | Baik |
| Aspal P48P49 | Aspal | 47.49m ³ | Aspal | Baik |
| Aspal P49P50 | Aspal | 47.49m ³ | Aspal | Baik |
| Aspal P50P51 | Aspal | 47.49m ³ | Aspal | Baik |
| Aspal P51P52 | Aspal | 47.49m ³ | Aspal | Baik |
| Aspal P52P53 | Aspal | 47.49m ³ | Aspal | Baik |
| Aspal P53P54 | Aspal | 47.49m ³ | Aspal | Baik |
| Aspal P54P55 | Aspal | 47.49m ³ | Aspal | Baik |
| Aspal P55P56 | Aspal | 47.49m ³ | Aspal | Baik |
| Aspal P56P57 | Aspal | 72m ³ | Aspal | Baik |
| Aspal P57P58 | Aspal | 72m ³ | Aspal | Baik |
| Aspal P58P59 | Aspal | 72.5m ³ | Aspal | Baik |
| Aspal P59P60 | Aspal | 47.49m ³ | Aspal | Baik |



| Structural Column Schedule | | | | |
|----------------------------|-------------|---------------------|----------|---------|
| Family | Description | Volume | Material | Kondisi |
| Aspal P60P61 | Aspal | 47.49m ³ | Aspal | Baik |
| Aspal P61P62 | Aspal | 47.49m ³ | Aspal | Baik |
| Aspal P62P63 | Aspal | 47.49m ³ | Aspal | Baik |
| Aspal P63P64 | Aspal | 47.49m ³ | Aspal | Baik |
| Aspal P64P65 | Aspal | 47.49m ³ | Aspal | Baik |
| Aspal P65P66 | Aspal | 47.49m ³ | Aspal | Baik |
| Aspal P66P67 | Aspal | 47.49m ³ | Aspal | Baik |
| Aspal P67P68 | Aspal | 47.49m ³ | Aspal | Baik |
| Aspal P68P69 | Aspal | 47.49m ³ | Aspal | Baik |
| Aspal P69P70 | Aspal | 47.49m ³ | Aspal | Baik |
| Aspal P70P71 | Aspal | 47.49m ³ | Aspal | Baik |
| Aspal P71P72 | Aspal | 47.49m ³ | Aspal | Baik |
| Aspal P72P73 | Aspal | 47.49m ³ | Aspal | Baik |
| Aspal P73P74 | Aspal | 47.49m ³ | Aspal | Baik |
| Aspal P74P75 | Aspal | 47.49m ³ | Aspal | Baik |
| Aspal P75P76 | Aspal | 47.49m ³ | Aspal | Baik |
| Aspal P76P77 | Aspal | 47.49m ³ | Aspal | Baik |
| Aspal P77P78 | Aspal | 47.49m ³ | Aspal | Baik |
| Aspal P78P79 | Aspal | 39.06m ³ | Aspal | Baik |
| Aspal P79P80 | Aspal | 39.06m ³ | Aspal | Baik |
| Aspal P80P81 | Aspal | 47.49m ³ | Aspal | Baik |
| Aspal P81P82 | Aspal | 72m ³ | Aspal | Baik |
| Aspal P82P83 | Aspal | 72m ³ | Aspal | Baik |
| Aspal P83P84 | Aspal | 72m ³ | Aspal | Baik |
| Aspal P84P85 | Aspal | 72m ³ | Aspal | Baik |
| Aspal P85P86 | Aspal | 47.49m ³ | Aspal | Baik |
| Aspal P86P87 | Aspal | 47.49m ³ | Aspal | Baik |
| Aspal P87P88 | Aspal | 47.49m ³ | Aspal | Baik |
| Aspal P88P89 | Aspal | 39.06m ³ | Aspal | Baik |
| Aspal P89P90 | Aspal | 39.06m ³ | Aspal | Baik |
| Aspal P90P91 | Aspal | 47.49m ³ | Aspal | Baik |
| Aspal P91P92 | Aspal | 47.49m ³ | Aspal | Baik |
| Aspal P92P93 | Aspal | 47.49m ³ | Aspal | Baik |
| Aspal P93P94 | Aspal | 47.49m ³ | Aspal | Baik |
| Aspal P94P95 | Aspal | 47.49m ³ | Aspal | Baik |
| Aspal P95P96 | Aspal | 56.65m ³ | Aspal | Baik |
| Aspal P96P97 | Aspal | 72m ³ | Aspal | Baik |
| Aspal P97P98 | Aspal | 57.6m ³ | Aspal | Baik |
| Aspal P98P99 | Aspal | 46.35m ³ | Aspal | Baik |
| Aspal PA1P26 | Aspal | 47.49m ³ | Aspal | Baik |
| Aspal RF-Ala P3P4 | Aspal | 16.4m ³ | Aspal | Baik |



Structural Column Schedule

| Family | Description | Volume | Material | Kondisi |
|---------------------|-------------|---------------------|----------|---------|
| Aspal RF-Ala P4P5 | Aspal | 10m ³ | Aspal | Baik |
| Aspal RF-Ala P5P6 | Aspal | 9.75m ³ | Aspal | Baik |
| Aspal RF-Ala P6P7 | Aspal | 9.75m ³ | Aspal | Baik |
| Aspal RF-Ala P7P8 | Aspal | 9.75m ³ | Aspal | Baik |
| Aspal RF-Ala P8P9 | Aspal | 9.75m ³ | Aspal | Baik |
| Aspal RF-Ala P9P10 | Aspal | 9.75m ³ | Aspal | Baik |
| Aspal RF-Ala P10P11 | Aspal | 9.75m ³ | Aspal | Baik |
| Aspal RF-Ala P11P12 | Aspal | 10.53m ³ | Aspal | Baik |
| Aspal RF-Ala P12PA1 | Aspal | 9.75m ³ | Aspal | Baik |
| Aspal RF-Ala P16 | Aspal | 23.4m ³ | Aspal | Baik |
| Aspal RF-Ala PA1P16 | Aspal | 11.7m ³ | Aspal | Baik |
| Aspal RF-Bou P4P5 | Aspal | 20.5m ³ | Aspal | Baik |
| Aspal RF-Bou P5P6 | Aspal | 9.75m ³ | Aspal | Baik |
| Aspal RF-Bou P6P7 | Aspal | 9.75m ³ | Aspal | Baik |
| Aspal RF-Bou P7P8 | Aspal | 9.75m ³ | Aspal | Baik |
| Aspal RF-Bou P8P9 | Aspal | 9.75m ³ | Aspal | Baik |
| Aspal RF-Bou P9P10 | Aspal | 9.75m ³ | Aspal | Baik |
| Aspal RF-Bou P10P11 | Aspal | 9.75m ³ | Aspal | Baik |
| Aspal RF-Bou P11P12 | Aspal | 9.75m ³ | Aspal | Baik |
| Aspal RF-Bou P12P13 | Aspal | 9.75m ³ | Aspal | Baik |
| Aspal RF-Bou P13P14 | Aspal | 9.75m ³ | Aspal | Baik |
| Aspal RF-Bou P14PA1 | Aspal | 11.7m ³ | Aspal | Baik |
| Aspal RF-Bou P21 | Aspal | 17.55m ³ | Aspal | Baik |
| Aspal RF-Bou PA1P21 | Aspal | 19.5m ³ | Aspal | Baik |
| Aspal RN-Ala P5P6 | Aspal | 10m ³ | Aspal | Baik |
| Aspal RN-Ala P6P7 | Aspal | 10.53m ³ | Aspal | Baik |
| Aspal RN-Ala P7P8 | Aspal | 9.75m ³ | Aspal | Baik |
| Aspal RN-Ala P8P9 | Aspal | 9.75m ³ | Aspal | Baik |
| Aspal RN-Ala P9P10 | Aspal | 9.75m ³ | Aspal | Baik |
| Aspal RN-Ala P10P11 | Aspal | 9.75m ³ | Aspal | Baik |
| Aspal RN-Ala P11P12 | Aspal | 7.8m ³ | Aspal | Baik |
| Aspal RN-Ala P12P13 | Aspal | 7.8m ³ | Aspal | Baik |
| Aspal RN-Ala P13P14 | Aspal | 9.75m ³ | Aspal | Baik |
| Aspal RN-Ala P14PA1 | Aspal | 11.7m ³ | Aspal | Baik |
| Aspal RN-Ala P21 | Aspal | 15.6m ³ | Aspal | Baik |
| Aspal RN-Ala PA1P21 | Aspal | 19.5m ³ | Aspal | Baik |
| Aspal RN-Bou P5P6 | Aspal | 15.6m ³ | Aspal | Baik |
| Aspal RN-Bou P6P7 | Aspal | 9.75m ³ | Aspal | Baik |
| Aspal RN-Bou P7P8 | Aspal | 9.75m ³ | Aspal | Baik |
| Aspal RN-Bou P8P9 | Aspal | 7.8m ³ | Aspal | Baik |
| Aspal RN-Bou P9P10 | Aspal | 7.8m ³ | Aspal | Baik |



| Structural Column Schedule | | | | |
|----------------------------|-------------|---------------------|----------|---------|
| Family | Description | Volume | Material | Kondisi |
| Aspal RN-Bou P10P11 | Aspal | 7.8m ³ | Aspal | Baik |
| Aspal RN-Bou P11P12 | Aspal | 9.75m ³ | Aspal | Baik |
| Aspal RN-Bou P12P13 | Aspal | 9.75m ³ | Aspal | Baik |
| Aspal RN-Bou P13P14 | Aspal | 9.75m ³ | Aspal | Baik |
| Aspal RN-Bou P14P15 | Aspal | 9.75m ³ | Aspal | Baik |
| Aspal RN-Bou P15PA1 | Aspal | 9.75m ³ | Aspal | Baik |
| Aspal RN-Bou P22PA2 | Aspal | 21.45m ³ | Aspal | Baik |
| Aspal RN-Bou PA1P22 | Aspal | 21.45m ³ | Aspal | Baik |



UNIVERSITAS
GADJAH MADA

Peningkatan Leger Jalan Dari Model 2D Menjadi Model 3d Untuk Kegiatan Preservasi Jalan
LUTHVIASARI ASTUDIRO, Prof. Ir. Trias Aditya K.M., S.T., M.Sc., Ph.D., IPU. 93
Universitas Gadjah Mada, 2023 | Diunduh dari <http://etd.repository.ugm.ac.id/>

LAMPIRAN E

HASIL UJI KUALITAS PEMODELAN 3D



Lampiran 11 Perbandingan Volume dan Perhitungan RMSE

| Perbandingan Volume Pier | | | | | | |
|--------------------------|-----------------------------|-----------|-----------------------------|-------------------------|--------------------------|---------------------------------|
| Model 3D | | Model TLS | | dV (m ³) | dV2 (m ³) | σ^2 (m ³) |
| Nama | Volume (m ³) | Nama | Volume (m ³) | | | |
| P26 | 120.84 | PIER-01 | 120.84 | 0 | 0.000 | 0.000 |
| P27 | 132.3 | PIER-02 | 132.3 | 0 | 0.000 | 0.000 |
| P28 | 144.7 | PIER-03 | 144.71 | -0.01 | 0.000 | 0.000 |
| P29 | 156.46 | PIER-04 | 156.45 | 0.01 | 0.000 | 0.000 |
| P30 | 169.58 | PIER-05 | 169.58 | 0 | 0.000 | 0.000 |
| P31 | 183.09 | PIER-06 | 183.1 | -0.01 | 0.000 | 0.000 |
| P32 | 191.15 | PIER-07 | 191.14 | 0.01 | 0.000 | 0.000 |
| P33 | 195.54 | PIER-08 | 195.57 | -0.03 | 0.001 | 0.001 |
| P34 | 198.03 | PIER-09 | 198.05 | -0.02 | 0.000 | 0.000 |
| P35 | 196.81 | PIER-10 | 196.8 | 0.01 | 0.000 | 0.000 |
| P36 | 192.29 | PIER-11 | 192.27 | 0.02 | 0.000 | 0.000 |
| P37 | 184.57 | PIER-12 | 184.56 | 0.01 | 0.000 | 0.000 |
| P39 | 166.64 | PIER-14 | 166.64 | 0 | 0.000 | 0.000 |
| P40 | 158.33 | PIER-15 | 158.32 | 0.01 | 0.000 | 0.000 |
| P41 | 151.42 | PIER-16 | 151.43 | -0.01 | 0.000 | 0.000 |
| P42 | 144.7 | PIER-17 | 144.71 | -0.01 | 0.000 | 0.000 |
| P43 | 140.85 | PIER-18 | 140.84 | 0.01 | 0.000 | 0.000 |
| P44 | 139.57 | PIER-19 | 139.57 | 0 | 0.000 | 0.000 |
| P45 | 140.76 | PIER-20 | 140.76 | 0 | 0.000 | 0.000 |
| P46 | 142.42 | PIER-21 | 142.42 | 0 | 0.000 | 0.000 |
| P47 | 142.17 | PIER-22 | 142.16 | 0.01 | 0.000 | 0.000 |
| P48 | 141.94 | PIER-23 | 141.94 | 0 | 0.000 | 0.000 |
| P49 | 142.95 | PIER-24 | 142.95 | 0 | 0.000 | 0.000 |
| P50 | 144.44 | PIER-25 | 144.43 | 0.01 | 0.000 | 0.000 |
| P51 | 144.93 | PIER-26 | 144.93 | 0 | 0.000 | 0.000 |
| P52 | 146.67 | PIER-27 | 146.66 | 0.01 | 0.000 | 0.000 |
| P53 | 147.6 | PIER-28 | 147.6 | 0 | 0.000 | 0.000 |
| P54 | 146.25 | PIER-29 | 146.26 | -0.01 | 0.000 | 0.000 |
| P55 | 147.97 | PIER-30 | 147.98 | -0.01 | 0.000 | 0.000 |
| P56 | 148.17 | PIER-31 | 148.17 | 0 | 0.000 | 0.000 |
| P57 | 148.8 | PIER-32 | 148.79 | 0.01 | 0.000 | 0.000 |
| P58 | 149.5 | PIER-33 | 149.49 | 0.01 | 0.000 | 0.000 |
| P59 | 150.14 | PIER-34 | 150.14 | 0 | 0.000 | 0.000 |
| P60 | 151.01 | PIER-35 | 151.02 | -0.01 | 0.000 | 0.000 |
| P61 | 151.64 | PIER-36 | 151.65 | -0.01 | 0.000 | 0.000 |
| P62 | 152.54 | PIER-37 | 152.54 | 0 | 0.000 | 0.000 |
| P63 | 153.22 | PIER-38 | 153.21 | 0.01 | 0.000 | 0.000 |
| P64 | 153.87 | PIER-39 | 153.88 | -0.01 | 0.000 | 0.000 |



| Perbandingan Volume Pier | | | | | | |
|--------------------------|-----------------------------|--------------------|-----------------------------|-------------------------|--------------------------|---------------------------------|
| Model 3D | | Model TLS | | dV (m ³) | dV2 (m ³) | σ^2 (m ³) |
| Nama | Volume (m ³) | Nama | Volume (m ³) | | | |
| P65 | 155 | PIER-40 | 154.98 | 0.02 | 0.000 | 0.000 |
| P66 | 156.39 | PIER-41 | 156.4 | -0.01 | 0.000 | 0.000 |
| P68 | 157.74 | PIER-43 | 157.72 | 0.02 | 0.000 | 0.000 |
| P69 | 157.42 | PIER-44 | 157.42 | 0 | 0.000 | 0.000 |
| P70 | 156.58 | PIER-45 | 156.56 | 0.02 | 0.000 | 0.000 |
| P71 | 155.43 | PIER-46 | 155.43 | 0 | 0.000 | 0.000 |
| P72 | 154.23 | PIER-47 | 154.22 | 0.01 | 0.000 | 0.000 |
| P73 | 153.27 | PIER-48 | 153.26 | 0.01 | 0.000 | 0.000 |
| P74 | 152.31 | PIER-49 | 152.3 | 0.01 | 0.000 | 0.000 |
| P75 | 150.99 | PIER-50 | 151 | -0.01 | 0.000 | 0.000 |
| P76 | 150.27 | PIER-51 | 150.27 | 0 | 0.000 | 0.000 |
| P77 | 148.58 | PIER-52 | 148.58 | 0 | 0.000 | 0.000 |
| P78 | 146.56 | PIER-53 | 146.57 | -0.01 | 0.000 | 0.000 |
| P79 | 144.62 | PIER-54 | 144.61 | 0.01 | 0.000 | 0.000 |
| P80 | 143.61 | PIER-55 | 143.61 | 0 | 0.000 | 0.000 |
| P81 | 143.78 | PIER-56 | 143.77 | 0.01 | 0.000 | 0.000 |
| P82 | 143.24 | PIER-57 | 143.23 | 0.01 | 0.000 | 0.000 |
| P83 | 143.61 | PIER-58 | 143.6 | 0.01 | 0.000 | 0.000 |
| P84 | 144 | PIER-59 | 143.99 | 0.01 | 0.000 | 0.000 |
| P85 | 144.28 | PIER-60 | 144.28 | 0 | 0.000 | 0.000 |
| P86 | 145.53 | PIER-61 | 145.54 | -0.01 | 0.000 | 0.000 |
| P87 | 146.01 | PIER-62 | 146 | 0.01 | 0.000 | 0.000 |
| P88 | 146.61 | PIER-63 | 146.62 | -0.01 | 0.000 | 0.000 |
| P89 | 148.14 | PIER-64 | 148.14 | 0 | 0.000 | 0.000 |
| P90 | 149.06 | PIER-65 | 149.06 | 0 | 0.000 | 0.000 |
| P91 | 149.6 | PIER-66 | 149.61 | -0.01 | 0.000 | 0.000 |
| P92 | 151.2 | PIER-67 | 151.2 | 0 | 0.000 | 0.000 |
| P93 | 151.05 | PIER-68 | 151.05 | 0 | 0.000 | 0.000 |
| P94 | 151.62 | PIER-69 | 151.61 | 0.01 | 0.000 | 0.000 |
| P95 | 151.2 | PIER-70 | 151.19 | 0.01 | 0.000 | 0.000 |
| P96 | 150.22 | PIER-71 | 150.22 | 0 | 0.000 | 0.000 |
| P97 | 149.67 | PIER-72 | 149.66 | 0.01 | 0.000 | 0.000 |
| P98 | 149.34 | PIER-73 | 149.35 | -0.01 | 0.000 | 0.000 |
| P99 | 147.48 | PIER-74 | 147.47 | 0.01 | 0.000 | 0.000 |
| 147.48 | | jumlah | | 0.13 | 0.007 | 0.007 |
| | | rata-rata | | 0.002 | | |
| | | RMSE Volume | | 0.010 | m³ | |
| | | Simp. Baku | | 0.010 | m³ | |



Lampiran 12 Perbandingan Volume Aspal

| Perbandingan Volume Aspal | | | | |
|---------------------------|-----------------------------|------------|-----------------------------|------------------------------|
| Model 3D | | Model TLS | | Selisih (m ³) |
| Nama | Volume (m ³) | Nama | Volume (m ³) | |
| AspalP26P27 | 47.49 | ASPHALT-01 | 47.71 | -0.22 |
| AspalP27P28 | 47.49 | ASPHALT-02 | 47.48 | 0.01 |
| AspalP28P29 | 47.49 | ASPHALT-03 | 47.27 | 0.22 |
| AspalP29P30 | 47.49 | ASPHALT-04 | 47.86 | -0.37 |
| AspalP30P31 | 47.49 | ASPHALT-05 | 47.71 | -0.22 |
| AspalP31P32 | 47.49 | ASPHALT-06 | 46.91 | 0.58 |
| AspalP33P34 | 47.49 | ASPHALT-08 | 47.48 | 0.01 |
| AspalP34P35 | 47.49 | ASPHALT-09 | 47.41 | 0.08 |
| AspalP35P36 | 47.49 | ASPHALT-10 | 47.5 | -0.01 |
| AspalP36P37 | 47.49 | ASPHALT-11 | 47.49 | 0 |
| AspalP37P38 | 47.49 | ASPHALT-12 | 47.59 | -0.1 |
| AspalP38P39 | 47.49 | ASPHALT-13 | 47.21 | 0.28 |
| AspalP44P45 | 39.06 | ASPHALT-19 | 39.66 | -0.6 |
| AspalP45P46 | 47.49 | ASPHALT-20 | 47.12 | 0.37 |
| AspalP47P48 | 47.49 | ASPHALT-22 | 47.56 | -0.07 |
| AspalP48P49 | 47.49 | ASPHALT-23 | 47.27 | 0.22 |
| AspalP49P50 | 47.49 | ASPHALT-24 | 47.68 | -0.19 |
| AspalP50P51 | 47.49 | ASPHALT-25 | 47.4 | 0.09 |
| AspalP51P52 | 47.49 | ASPHALT-26 | 47.48 | 0.01 |
| AspalP52P53 | 47.49 | ASPHALT-27 | 47.03 | 0.46 |
| AspalP53P54 | 47.49 | ASPHALT-28 | 46.93 | 0.56 |
| AspalP54P55 | 47.49 | ASPHALT-29 | 47.87 | -0.38 |
| AspalP55P56 | 47.49 | ASPHALT-30 | 48.12 | -0.63 |
| AspalP59P60 | 47.49 | ASPHALT-34 | 47.05 | 0.44 |
| AspalP60P61 | 47.49 | ASPHALT-35 | 47.24 | 0.25 |
| AspalP61P62 | 47.49 | ASPHALT-36 | 47.63 | -0.14 |
| AspalP62P63 | 47.49 | ASPHALT-37 | 47.63 | -0.14 |
| AspalP63P64 | 47.49 | ASPHALT-38 | 47.67 | -0.18 |
| AspalP64P65 | 47.49 | ASPHALT-39 | 47.62 | -0.13 |
| AspalP65P66 | 47.49 | ASPHALT-40 | 47.66 | -0.17 |
| AspalP66P67 | 47.49 | ASPHALT-41 | 47.08 | 0.41 |
| AspalP67P68 | 47.49 | ASPHALT-42 | 47.22 | 0.27 |
| AspalP68P69 | 47.49 | ASPHALT-43 | 47.65 | -0.16 |
| AspalP69P70 | 47.49 | ASPHALT-44 | 47.72 | -0.23 |
| AspalP70P71 | 47.49 | ASPHALT-45 | 47.64 | -0.15 |
| AspalP71P72 | 47.49 | ASPHALT-46 | 47.63 | -0.14 |



| Perbandingan Volume Aspal | | | | |
|---------------------------|-----------------------------|------------|-----------------------------|------------------------------|
| Model 3D | | Model TLS | | Selisih (m ³) |
| Nama | Volume (m ³) | Nama | Volume (m ³) | |
| AspalP72P73 | 47.49 | ASPHALT-47 | 47.65 | -0.16 |
| AspalP73P74 | 47.49 | ASPHALT-48 | 47.34 | 0.15 |
| AspalP75P76 | 47.49 | ASPHALT-50 | 47.33 | 0.16 |
| AspalP76P77 | 47.49 | ASPHALT-51 | 47.61 | -0.12 |
| AspalP78P79 | 39.06 | ASPHALT-53 | 38.08 | 0.98 |
| AspalP85P86 | 47.49 | ASPHALT-60 | 47.66 | -0.17 |
| AspalP86P87 | 47.49 | ASPHALT-61 | 47.66 | -0.17 |
| AspalP87P88 | 47.49 | ASPHALT-62 | 47.02 | 0.47 |
| AspalP89P90 | 39.06 | ASPHALT-64 | 39.85 | -0.79 |
| AspalP90P91 | 47.49 | ASPHALT-65 | 47.65 | -0.16 |
| AspalP91P92 | 47.49 | ASPHALT-66 | 47.67 | -0.18 |
| AspalP92P93 | 47.49 | ASPHALT-67 | 47.64 | -0.15 |
| AspalP93P94 | 47.49 | ASPHALT-68 | 47.61 | -0.12 |
| AspalP94P95 | 47.49 | ASPHALT-69 | 47.03 | 0.46 |
| Jumlah | 2349.21 | | 2348.98 | 0.23 |

Lampiran 13 Perbandingan Koordinat Hasil Modeling 3D dan Data Leger Jalan

| Perbandingan Koordinat | | | | | | | | | | | | |
|------------------------|-------------|-------------|--------|------------|-------------|--------|--------|--------|--------|-------------|-------------|-------------|
| Model 3D | | | | | | | dX | dY | dZ | $\sigma X2$ | $\sigma Y2$ | $\sigma Z2$ |
| Titik | X | Y | Z | X | Y | Z | | | | | | |
| KM 5100 | 770603.4365 | 9432510.826 | 3.914 | 770603.621 | 9432510.847 | 3.914 | -0.185 | -0.021 | 0.000 | 0.018 | 0.001 | 0.000 |
| KM 5200 | 770586.7072 | 9432412.262 | 4.063 | 770586.515 | 9432412.06 | 4.063 | 0.192 | 0.202 | 0.000 | 0.058 | 0.064 | 0.000 |
| KM 5300 | 770576.4135 | 9432312.649 | 3.923 | 770576.284 | 9432312.421 | 3.923 | 0.130 | 0.227 | 0.000 | 0.032 | 0.078 | 0.000 |
| KM 5400 | 770565.8389 | 9432213.411 | 5.542 | 770565.811 | 9432213.357 | 5.542 | 0.028 | 0.054 | 0.000 | 0.006 | 0.011 | 0.000 |
| KM 5500 | 770560.4642 | 9432113.36 | 9.323 | 770560.582 | 9432113.445 | 9.323 | -0.118 | -0.085 | 0.000 | 0.005 | 0.001 | 0.000 |
| KM 5600 | 770544.6419 | 9432014.402 | 13.469 | 770544.493 | 9432014.467 | 13.469 | 0.149 | -0.065 | 0.000 | 0.039 | 0.000 | 0.000 |
| KM 5700 | 770532.9762 | 9431915.07 | 17.472 | 770533.094 | 9431915.155 | 17.472 | -0.118 | -0.085 | 0.000 | 0.005 | 0.001 | 0.000 |
| KM 5800 | 770520.1193 | 9431817.841 | 20.780 | 770520.069 | 9431817.969 | 20.78 | 0.050 | -0.128 | 0.000 | 0.010 | 0.006 | 0.000 |
| KM 5900 | 770500.4682 | 9431718.047 | 23.41 | 770500.586 | 9431718.132 | 23.41 | -0.118 | -0.085 | 0.000 | 0.005 | 0.001 | 0.000 |
| KM 6000 | 770487.4602 | 9431620.489 | 22.451 | 770487.578 | 9431620.574 | 22.451 | -0.118 | -0.085 | 0.000 | 0.005 | 0.001 | 0.000 |
| KM 6100 | 770467.5642 | 9431520.601 | 21.132 | 770467.682 | 9431520.686 | 21.132 | -0.118 | -0.085 | 0.000 | 0.005 | 0.001 | 0.000 |
| KM 6200 | 770448.6481 | 9431423.505 | 18.115 | 770448.587 | 9431423.527 | 18.115 | 0.061 | -0.022 | 0.000 | 0.012 | 0.001 | 0.000 |
| KM 6300 | 770428.3892 | 9431324.395 | 15.231 | 770428.507 | 9431324.48 | 15.231 | -0.118 | -0.085 | 0.000 | 0.005 | 0.001 | 0.000 |
| KM 6400 | 770409.6187 | 9431227.008 | 13.529 | 770409.446 | 9431227.154 | 13.529 | 0.173 | -0.146 | 0.000 | 0.049 | 0.009 | 0.000 |
| KM 6500 | 770389.0922 | 9431128.331 | 13.558 | 770389.21 | 9431128.416 | 13.567 | -0.118 | -0.085 | -0.009 | 0.005 | 0.001 | 0.000 |
| KM 6600 | 770371.8096 | 9431030.615 | 13.764 | 770371.664 | 9431030.808 | 13.764 | 0.146 | -0.193 | 0.000 | 0.038 | 0.020 | 0.000 |
| KM 6700 | 770358.8702 | 9430930.866 | 14.503 | 770358.988 | 9430930.951 | 14.503 | -0.118 | -0.085 | 0.000 | 0.005 | 0.001 | 0.000 |
| KM 6800 | 770337.1842 | 9430832.978 | 14.449 | 770337.302 | 9430833.063 | 14.449 | -0.118 | -0.085 | 0.000 | 0.005 | 0.001 | 0.000 |
| KM 6900 | 770325.3032 | 9430733.415 | 15.078 | 770325.421 | 9430733.5 | 15.078 | -0.118 | -0.085 | 0.000 | 0.005 | 0.001 | 0.000 |
| KM 7000 | 770304.2652 | 9430636.554 | 14.971 | 770304.383 | 9430636.637 | 14.971 | -0.118 | -0.083 | 0.000 | 0.005 | 0.001 | 0.000 |
| KM 7100 | 770286.8422 | 9430537.216 | 15.372 | 770286.96 | 9430537.301 | 15.372 | -0.118 | -0.085 | 0.000 | 0.005 | 0.001 | 0.000 |
| KM 7200 | 770270.1302 | 9430434.371 | 15.444 | 770270.22 | 9430434.276 | 15.444 | -0.090 | 0.095 | 0.000 | 0.002 | 0.022 | 0.000 |
| KM 7300 | 770256.2652 | 9430339.504 | 15.936 | 770256.383 | 9430339.589 | 15.936 | -0.118 | -0.085 | 0.000 | 0.005 | 0.001 | 0.000 |



Perbandingan Koordinat

| Model 3D | | | | | | | dX | dY | dZ | $\sigma X2$ | $\sigma Y2$ | $\sigma Z2$ |
|-------------|-------------|-------------|--------|------------|-------------|--------|--------|--------|-------|-------------|-------------|-------------|
| Titik | X | Y | Z | X | Y | Z | | | | | | |
| KM 7400 | 770242.3236 | 9430237.041 | 16.163 | 770242.38 | 9430237.013 | 16.163 | -0.056 | 0.028 | 0.000 | 0.000 | 0.006 | 0.000 |
| KM 7500 | 770228.2972 | 9430141.183 | 16.554 | 770228.415 | 9430141.268 | 16.554 | -0.118 | -0.085 | 0.000 | 0.005 | 0.001 | 0.000 |
| KM 7600 | 770214.4952 | 9430042.138 | 16.758 | 770214.613 | 9430042.223 | 16.758 | -0.118 | -0.085 | 0.000 | 0.005 | 0.001 | 0.000 |
| KM 7700 | 770200.4502 | 9429943.2 | 16.567 | 770200.568 | 9429943.285 | 16.567 | -0.118 | -0.085 | 0.000 | 0.005 | 0.001 | 0.000 |
| KM 7800 | 770187.3667 | 9429840.061 | 16.192 | 770187.313 | 9429840.235 | 16.192 | 0.054 | -0.174 | 0.000 | 0.011 | 0.015 | 0.000 |
| KM 7900 | 770176.2602 | 9429744.743 | 15.863 | 770176.378 | 9429744.828 | 15.863 | -0.118 | -0.085 | 0.000 | 0.005 | 0.001 | 0.000 |
| KM 8000 | 770170.2401 | 9429644.85 | 15.625 | 770170.056 | 9429644.671 | 15.625 | 0.184 | 0.179 | 0.000 | 0.054 | 0.053 | 0.000 |
| KM 8100 | 770155.5492 | 9429545.341 | 15.269 | 770155.667 | 9429545.426 | 15.269 | -0.118 | -0.085 | 0.000 | 0.005 | 0.001 | 0.000 |
| KM 8200 | 770135.3934 | 9429445.349 | 14.792 | 770135.273 | 9429445.347 | 14.792 | 0.120 | 0.002 | 0.000 | 0.029 | 0.003 | 0.000 |
| KM 8300 | 770120.2672 | 9429348.568 | 14.813 | 770120.385 | 9429348.653 | 14.813 | -0.118 | -0.085 | 0.000 | 0.005 | 0.001 | 0.000 |
| KM 8400 | 770106.5732 | 9429249.238 | 15.005 | 770106.691 | 9429249.323 | 15.005 | -0.118 | -0.085 | 0.000 | 0.005 | 0.001 | 0.000 |
| KM 8500 | 770097.4992 | 9429149.429 | 15.369 | 770097.617 | 9429149.514 | 15.369 | -0.118 | -0.085 | 0.000 | 0.005 | 0.001 | 0.000 |
| KM 8600 | 770080.1192 | 9429050.888 | 15.665 | 770080.237 | 9429050.973 | 15.665 | -0.118 | -0.085 | 0.000 | 0.005 | 0.001 | 0.000 |
| KM 8700 | 770053.4492 | 9428953.966 | 15.909 | 770053.567 | 9428954.051 | 15.909 | -0.118 | -0.085 | 0.000 | 0.005 | 0.001 | 0.000 |
| KM 8800 | 770027.3689 | 9428854.216 | 16.101 | 770027.426 | 9428854.106 | 16.101 | -0.057 | 0.110 | 0.000 | 0.000 | 0.026 | 0.000 |
| KM 8900 | 769998.1362 | 9428761.742 | 16.199 | 769998.254 | 9428761.827 | 16.199 | -0.118 | -0.085 | 0.000 | 0.005 | 0.001 | 0.000 |
| KM 9000 | 769967.0622 | 9428663.453 | 15.868 | 769967.082 | 9428663.65 | 15.868 | -0.020 | -0.197 | 0.000 | 0.001 | 0.021 | 0.000 |
| Aakhir ruas | 769942.4429 | 9428565.849 | 15.453 | 769942.561 | 9428565.934 | 15.406 | -0.118 | -0.085 | 0.047 | 0.005 | 0.001 | 0.002 |
| LJ2 | 769865.6058 | 9428258.069 | 4.774 | 769865.599 | 9428258.082 | 4.774 | 0.007 | -0.013 | 0.000 | 0.003 | 0.001 | 0.000 |
| | | | | Jumlah | | | -2.060 | -2.184 | 0.038 | 0.483 | 0.368 | 0.002 |
| | | | | Rata2 | | | -0.049 | -0.052 | 0.001 | | | |

| | |
|-----------------|-------|
| RMSE Koord | 0.157 |
| Simp Baku Koord | 0.141 |